

Satellittkommunikasjon

Odd Gutteberg

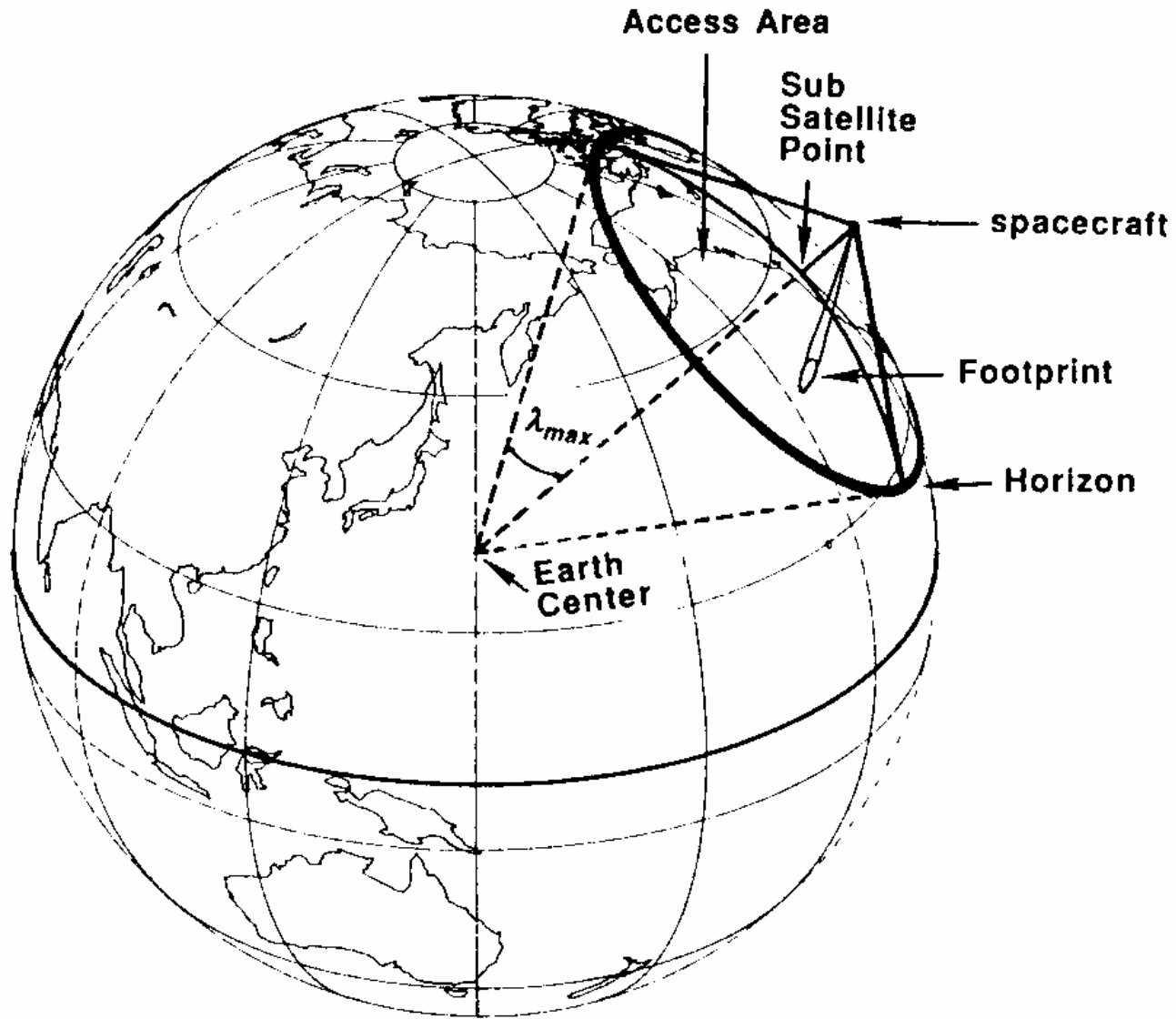
Odd.Gutteberg@iet.ntnu.no

NTNU

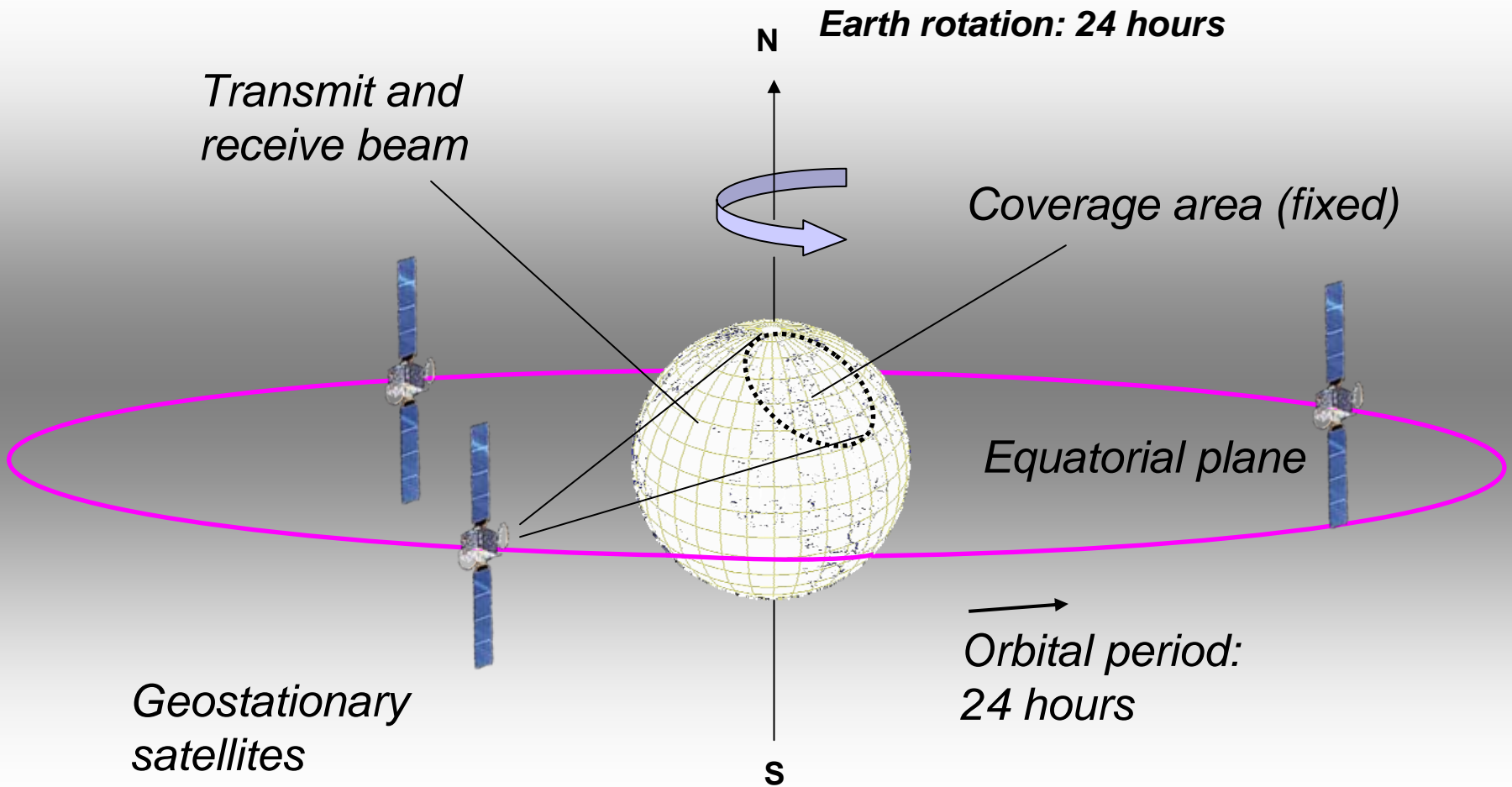


- Fundamentale prinsipper
- Satellitt/Nyttelast
- Støy/Linkbudsjett
- Atmosfærens innvirkning på radiosignalene
- Modulasjon/Koding
- Aksessmetoder
- Jordstasjoner
- Nye systemer

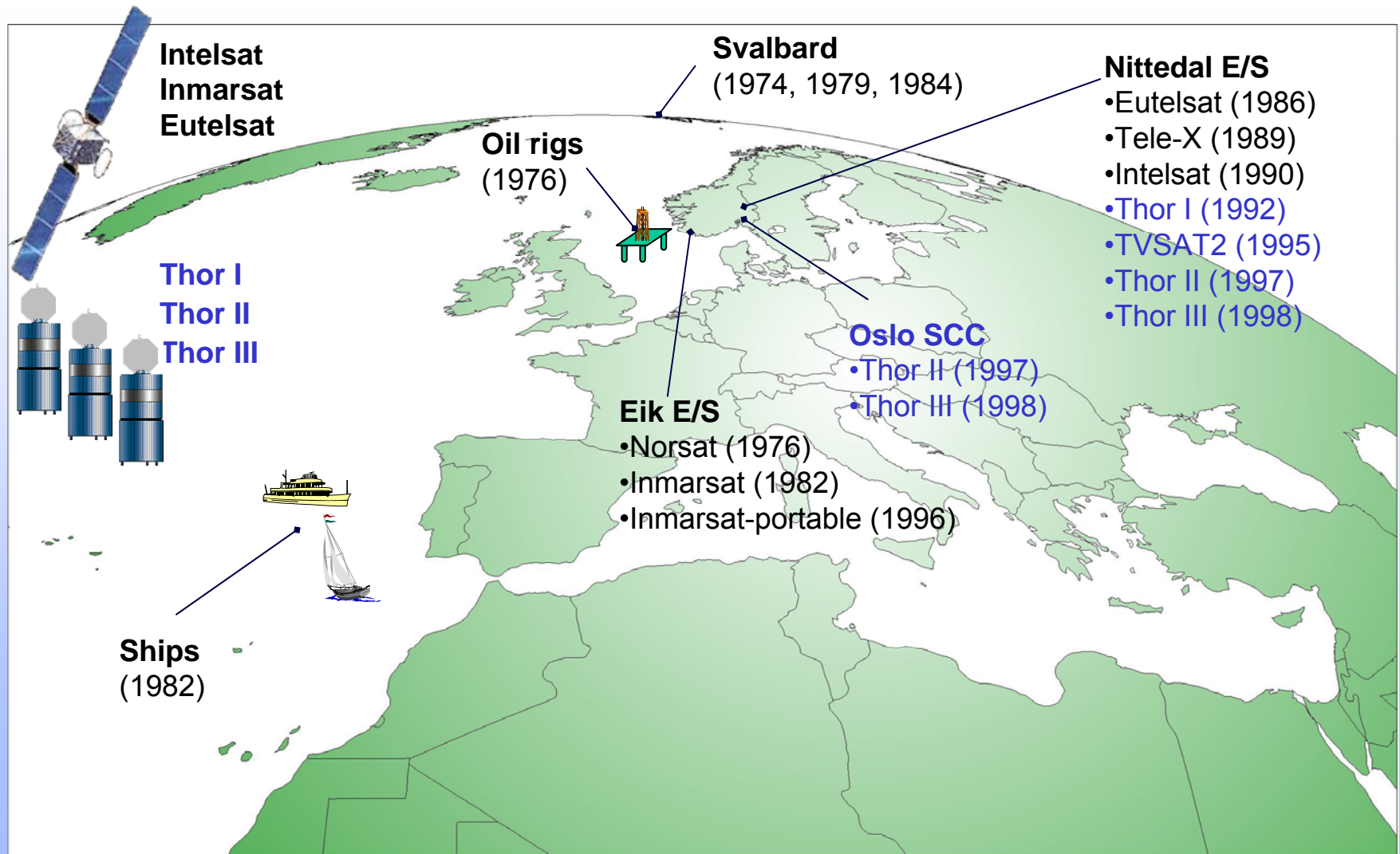
SATELLITTGEOMETRI



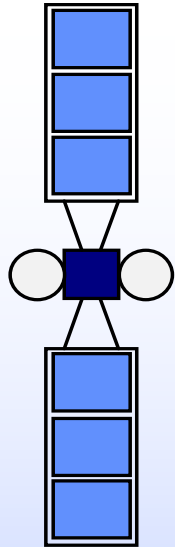
Fundamentals of GEO satellite communications



Norwegian communication satellite history



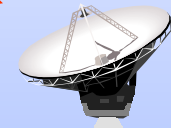
Satellittkommunikasjonens problemområder



- lav vekt
- min effektbehov
- høy pålitelighet
- nøyaktig retnings- og banekontroll

- begrenset frekvensspektrum
- bare en geostasjonær bane

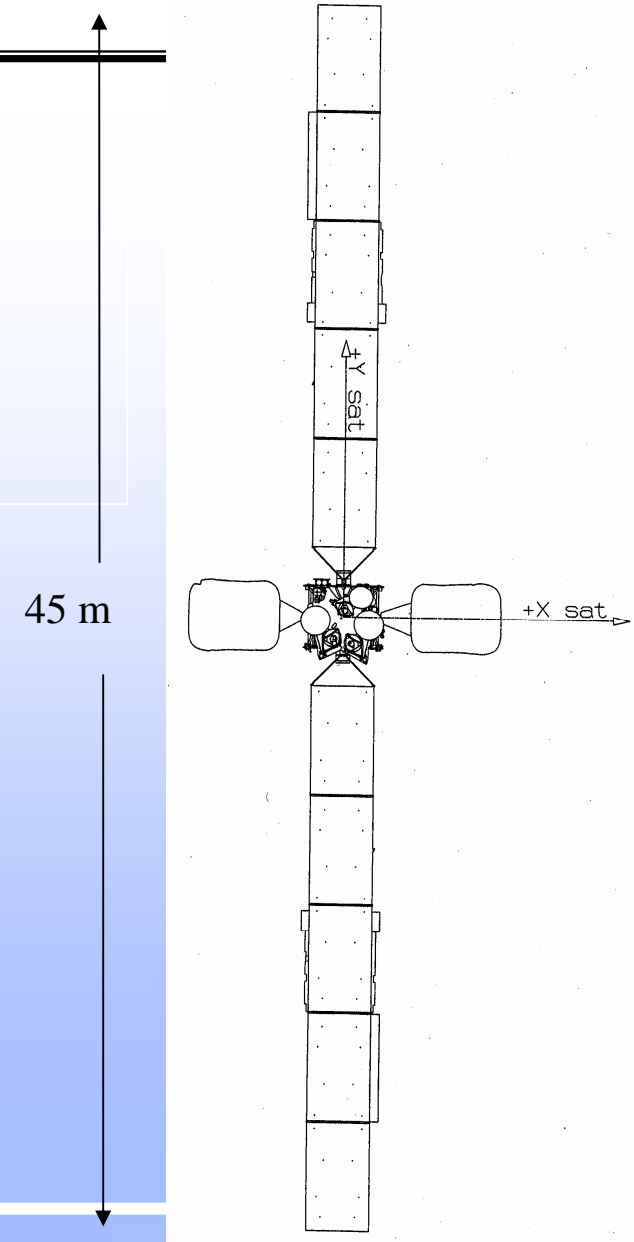
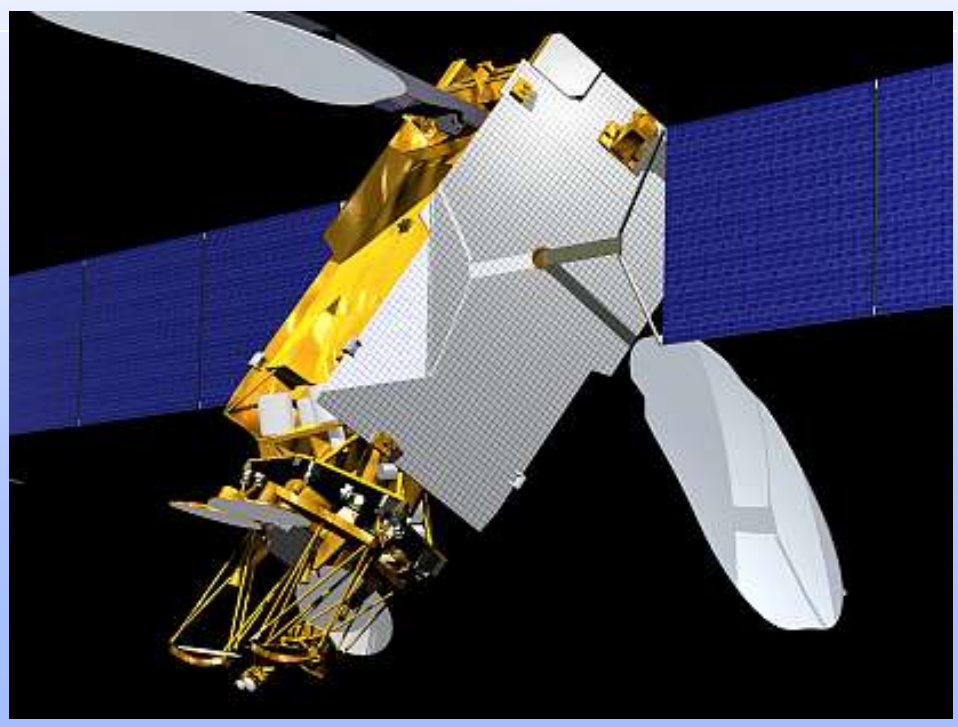
- stor avstand, dvs store krav til antenne/mottaker
- innvirkning av atmosfæren
- robust modulasjon/koding pga støy



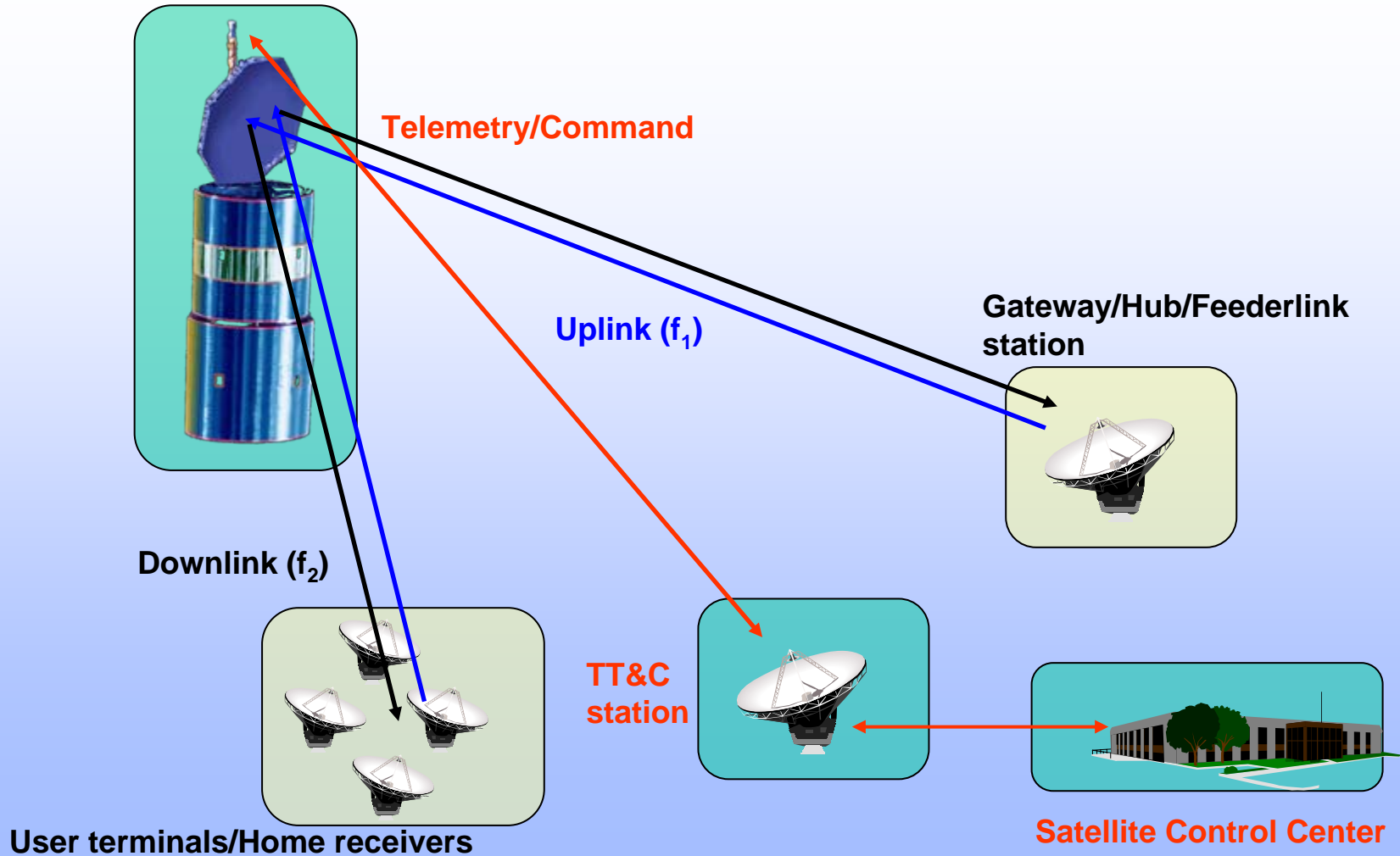
- billige jordstasjoner/terminaler
- tilfredstille reguleringsbestemmelsene (sidetråling etc)

Intelsat 10-02

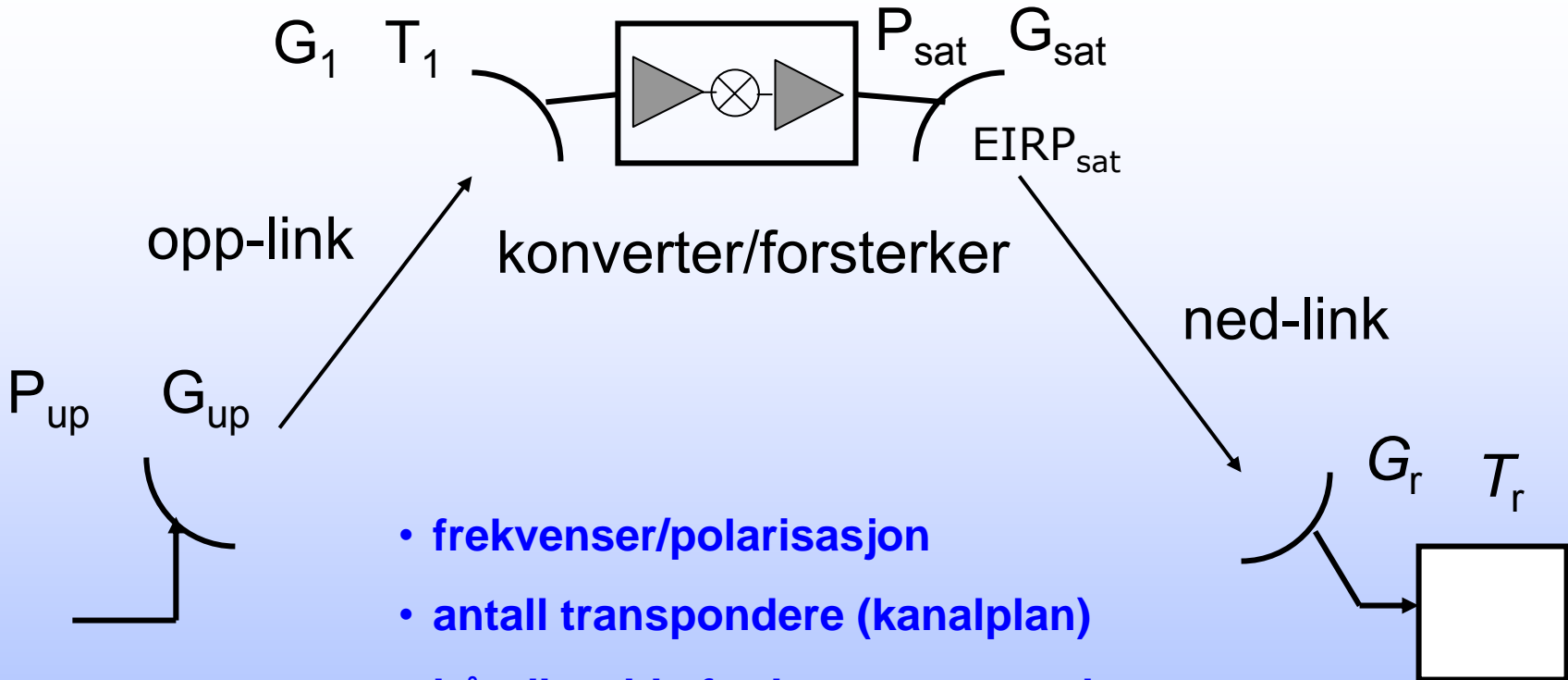
- Dry mass: approx 3000 kg
- Payload mass: approx 1000 kg
- Size: approx 7.5 m tall and 3.5 m wide
- Required power: 11.5 kW
- Lifetime: 13 years



Components in satellite communication systems

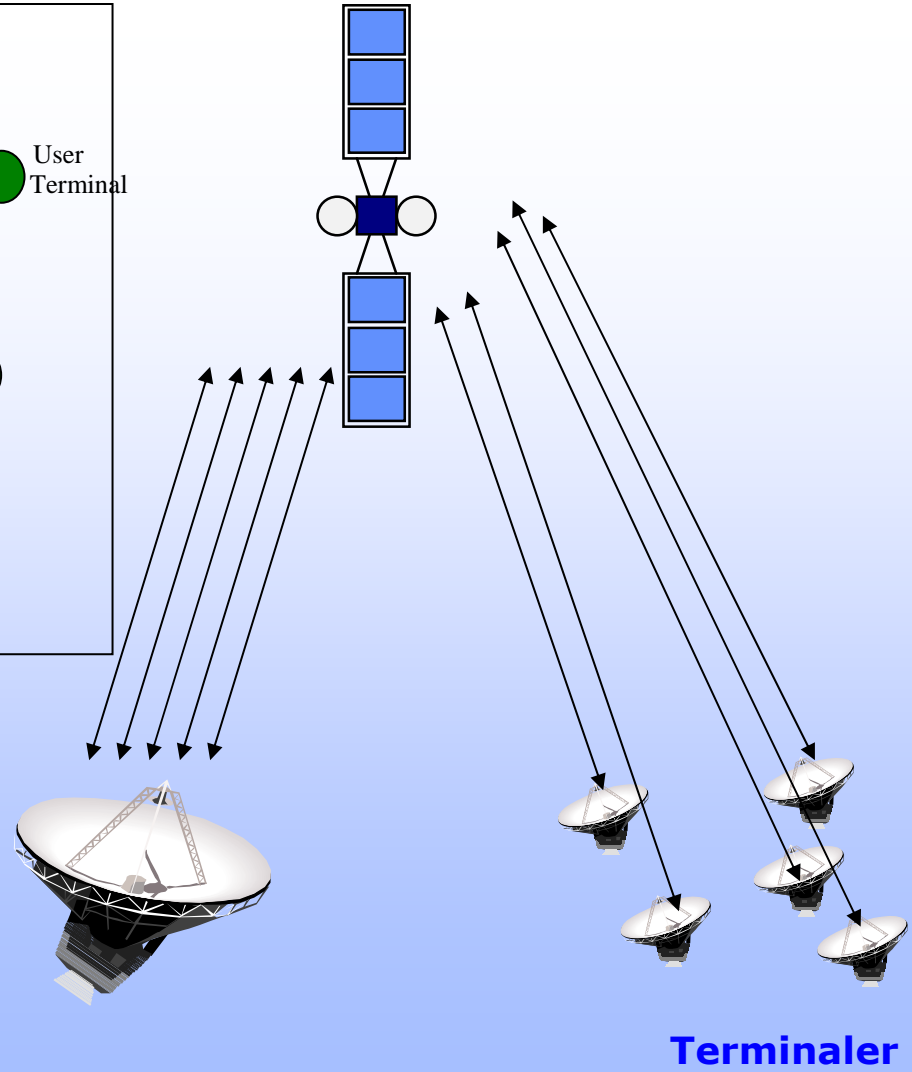
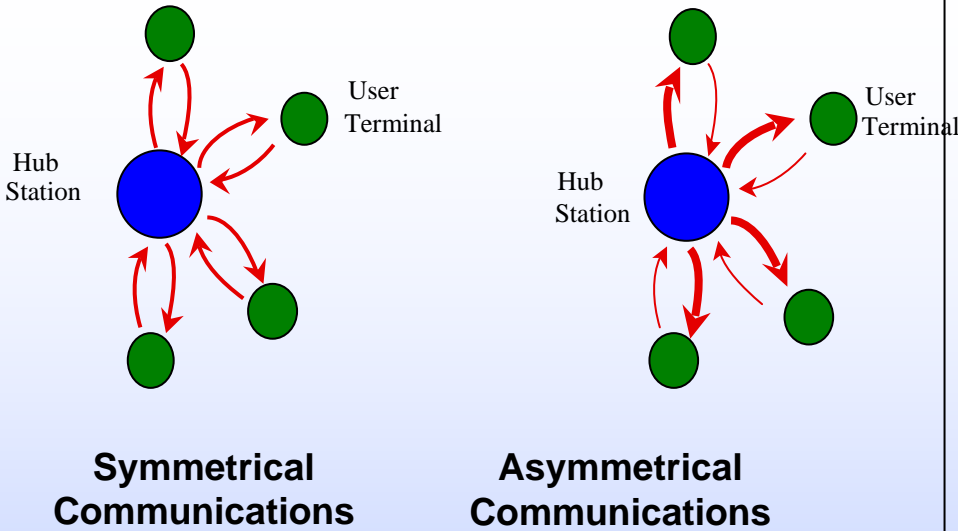


Satellitt-link, "bent pipe" transponder

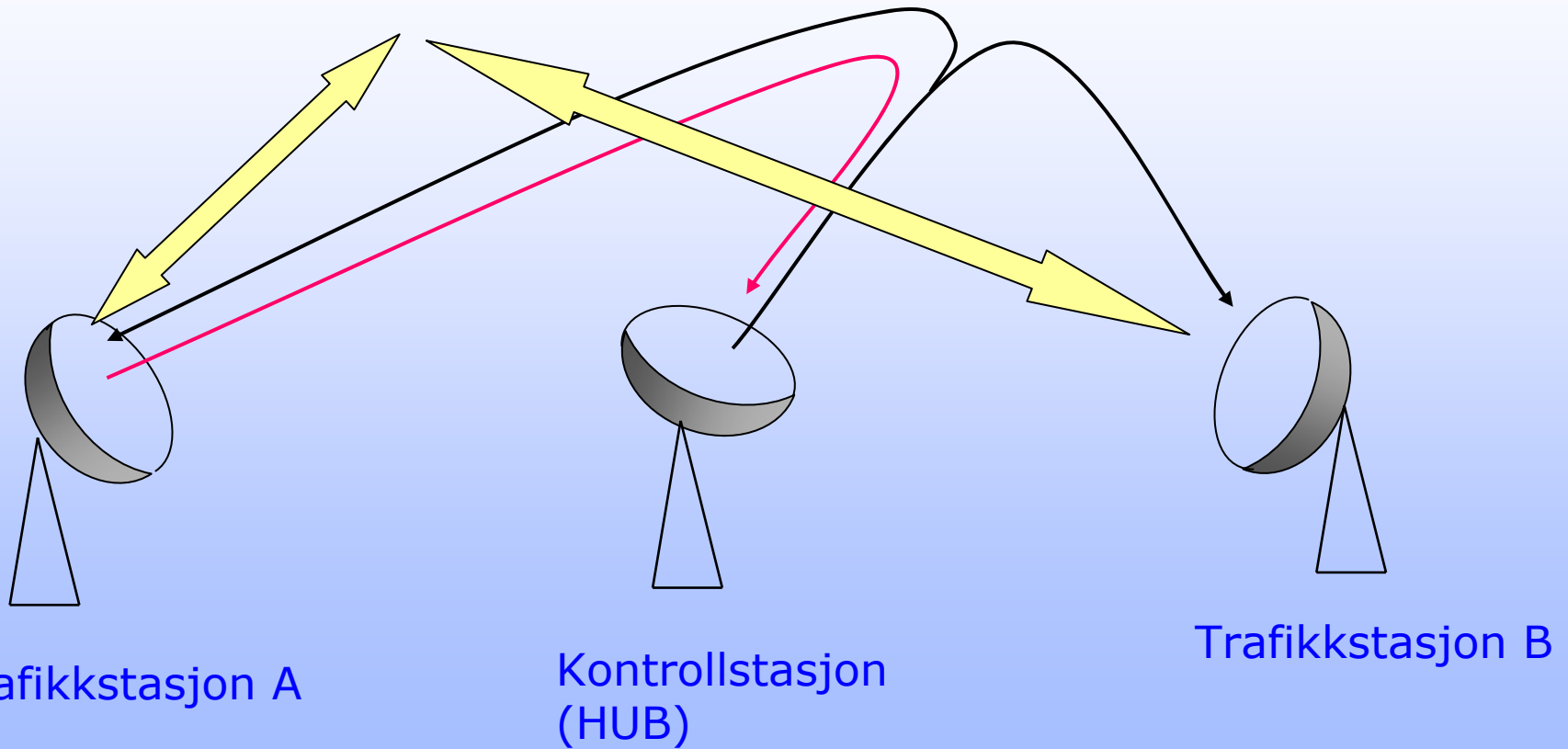


- frekvenser/polarisasjon
- antall transpondere (kanalplan)
- båndbredde for hver transponder
- dekningsområder (opp/ned)
- utstrålt effekt ($EIRP=P \cdot G$)

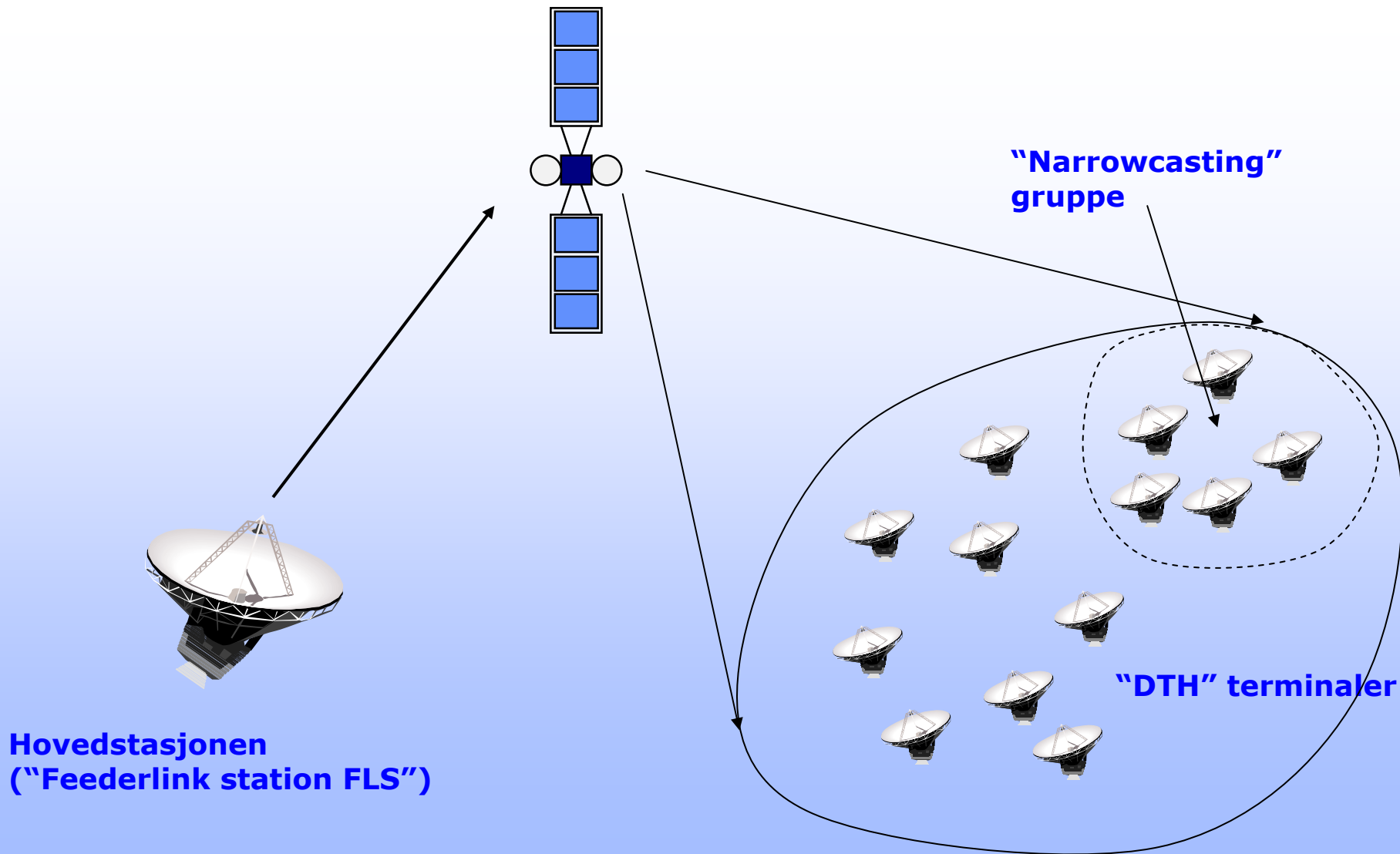
VSAT stjernenett



Kanaltildeling



Kringkastingsnett



Antenna

Relationship between antenna aperture area and gain:

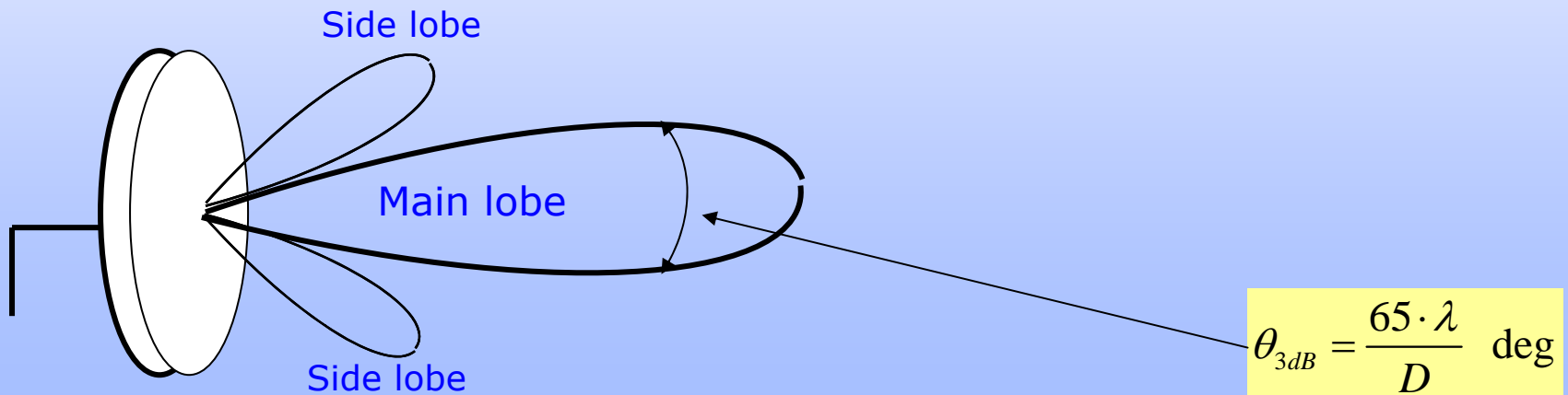
$$G = \eta \times 4\pi \frac{A}{\lambda^2}$$

Antenna gain

Aperture efficiency

Aperture-area

Wavelength



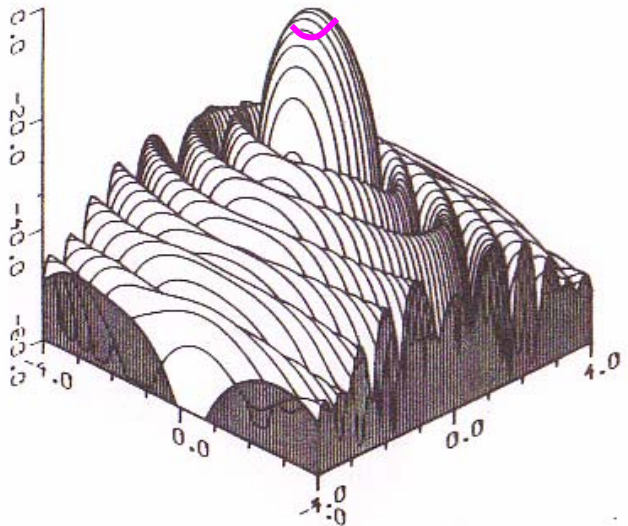
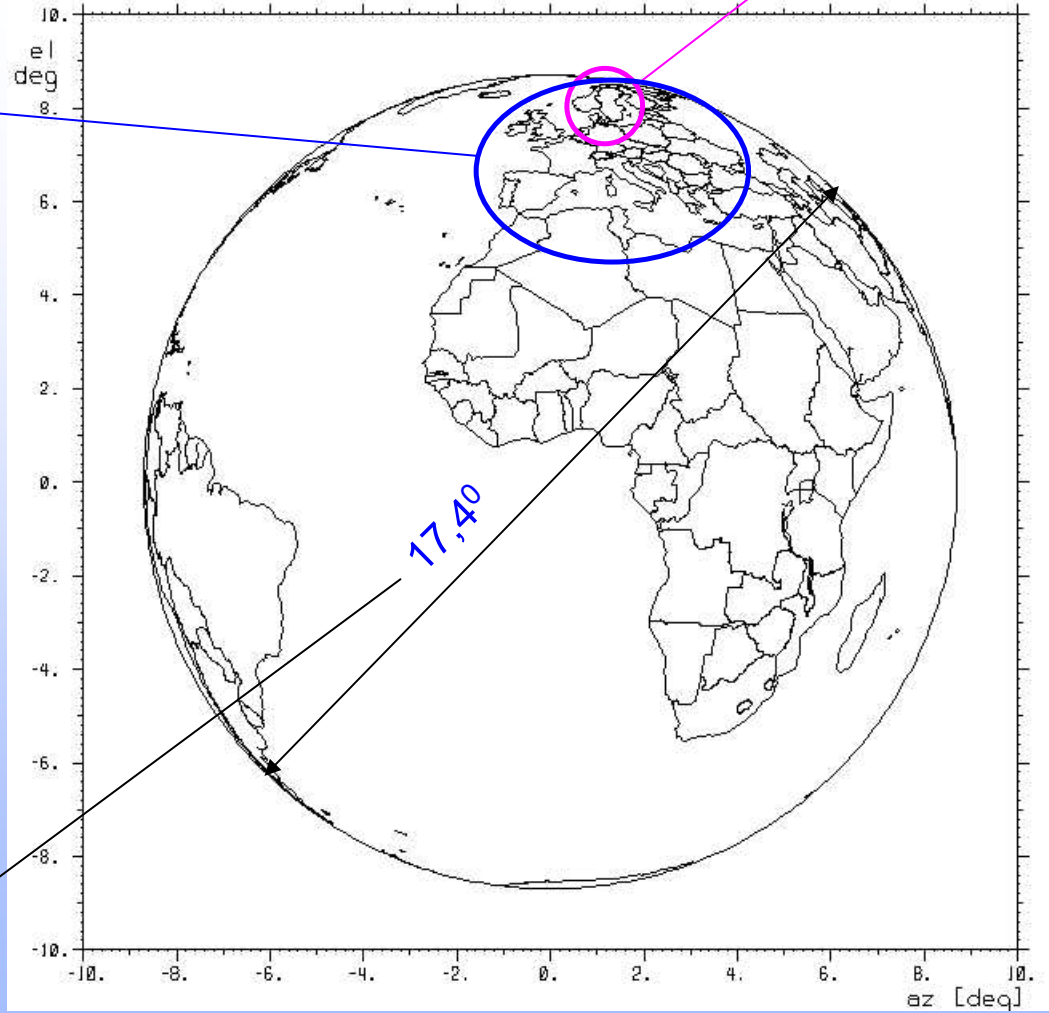
Måling av satellittantenne (Thor III)



Earth seen from 1° West GEO orbit

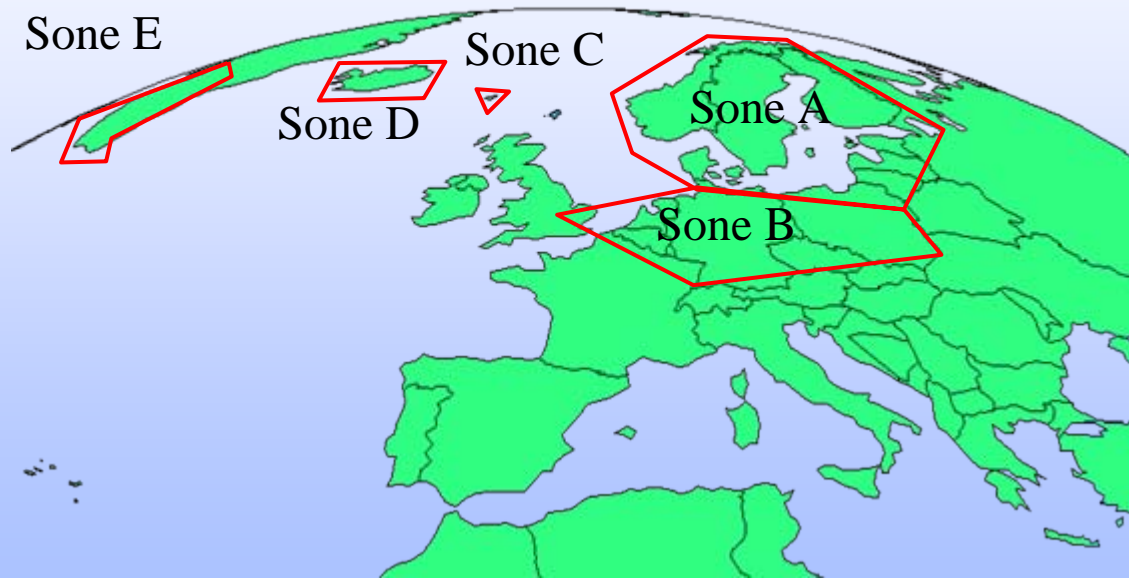
Coverage area 1.5°

Coverage area 4x6°



Global coverage 17.4°

Spesifikasjon av dekningsområde



Sone	EIRP (dBW)
A	52,0
B	48,0
C	44,0
D	44,0
E	32,5

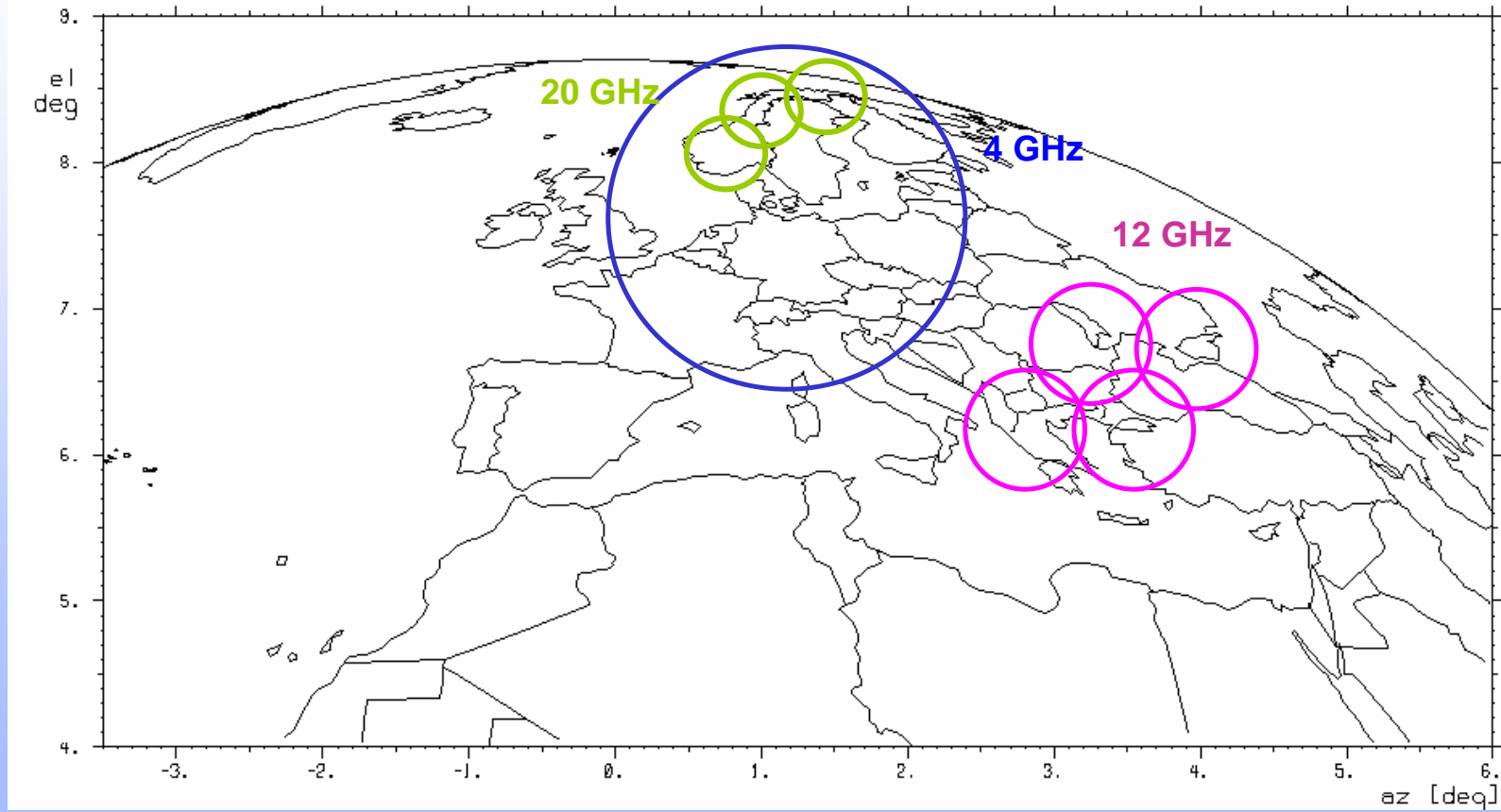
Thor II dekningsdiagram, EIRP-konturer (dBW)



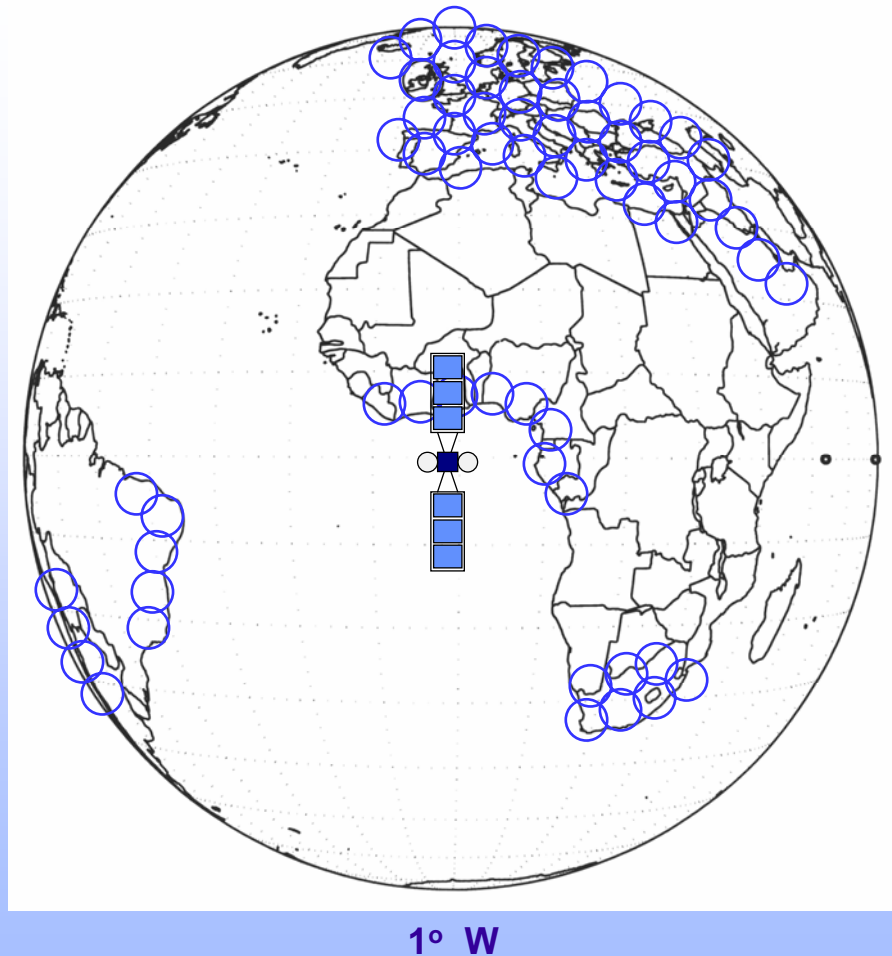
Eksempler på dekningsdiagrammer vs frekvens

$$\theta = 65 \frac{\lambda}{D}$$

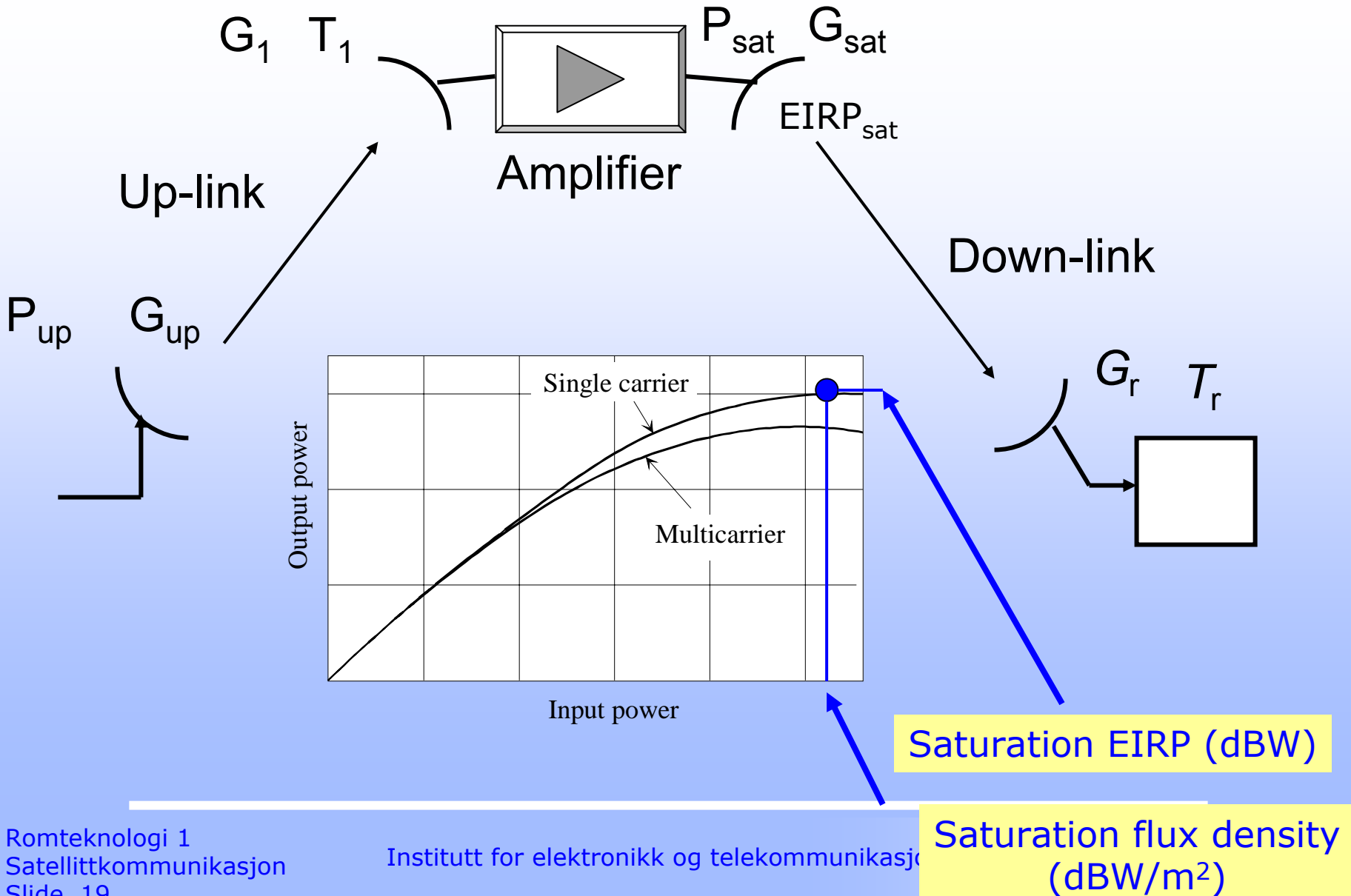
Satellittantennens diameter
D = 2 meter



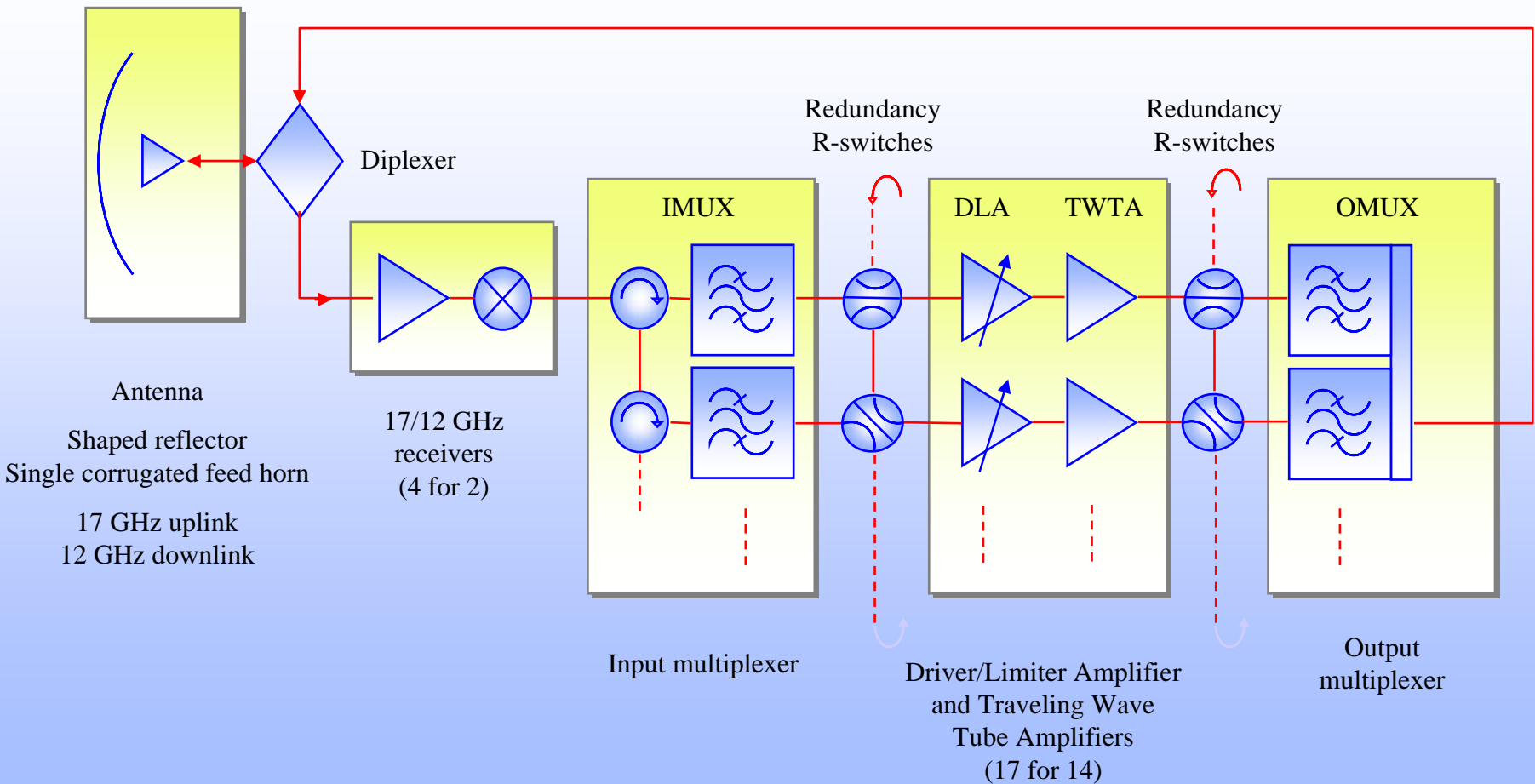
Spot-Beam Coverages (frequency reuse)



Satellite link, "bent pipe" transponder

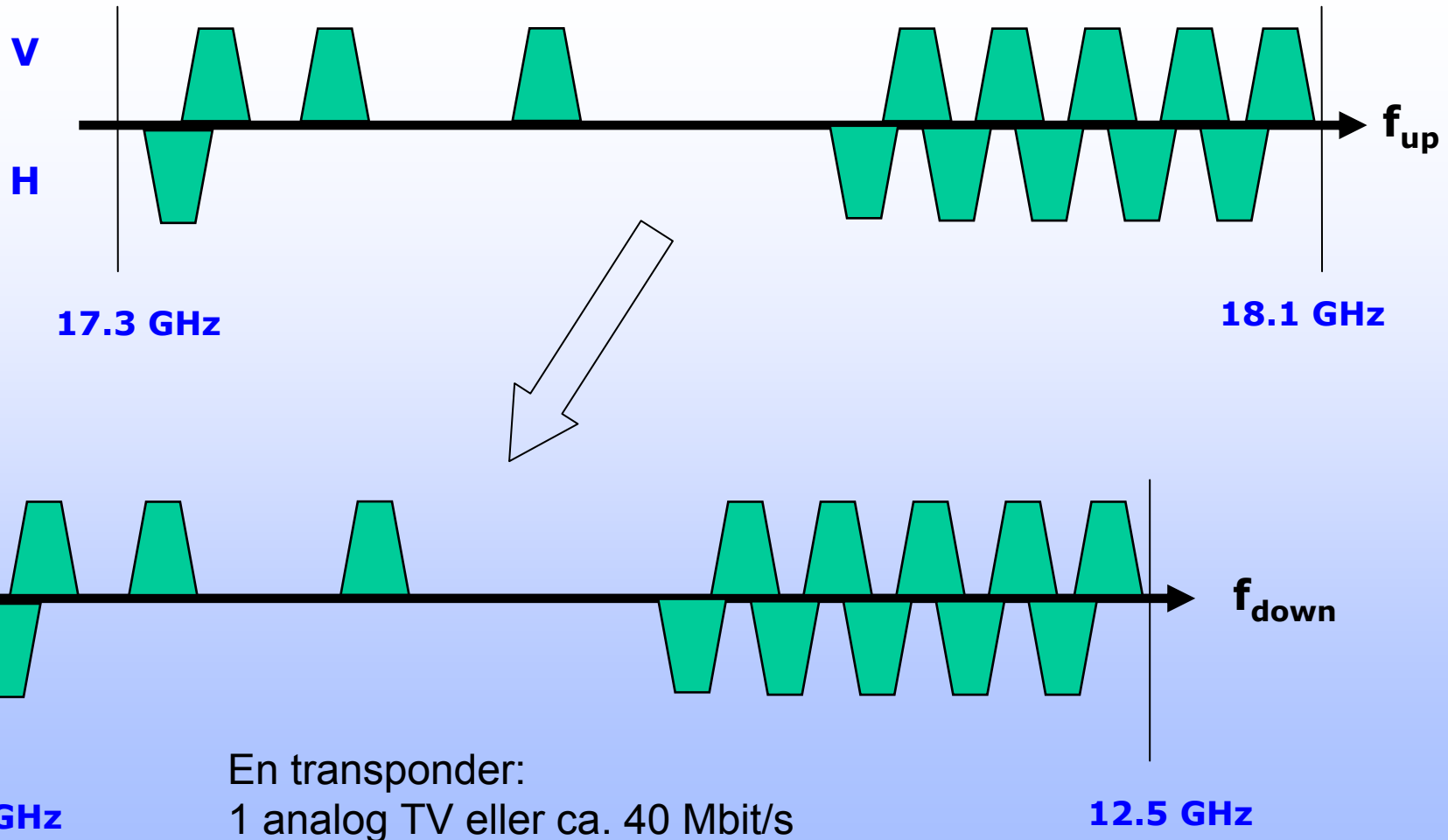


Payload Block Diagram ("Bent Pipe" /Thor III)



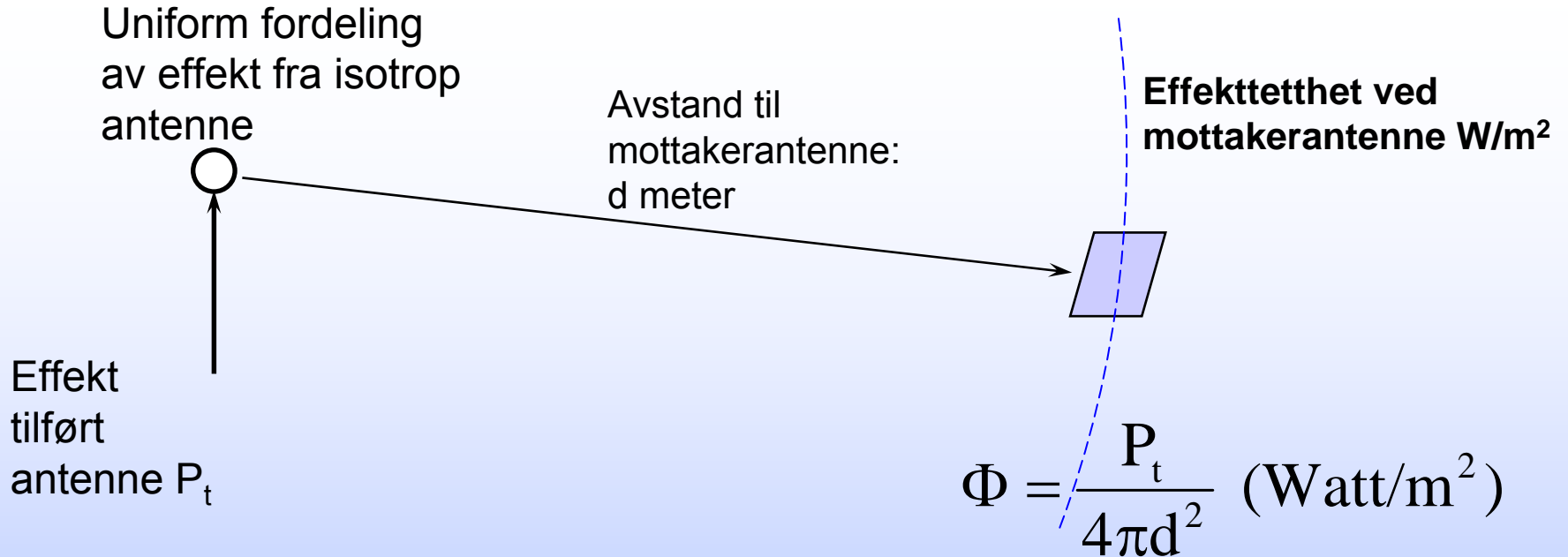
Eksempel på frekvensplan

14 transpondere



En transponder er en separat kanal i en satellitt, med bestemt frekvens.

Radiotransmisjon i fritt rom



Mottakerantennen kan karakteriseres ved sitt effektive arealet A_{eff}

Mottatt effekt P_r er gitt av

$$P_r = \Phi \cdot A_{\text{eff}} = P_t \cdot \frac{1}{4\pi d^2} \cdot A_{\text{eff}}$$

Mottatt effekt P_r hvis senderen har en antennevinning G_t :

$$P_r = P_t G_t \cdot \frac{1}{4\pi d^2} \cdot A_{\text{eff}} = \text{EIRP} \cdot \frac{1}{4\pi d^2} \cdot A_{\text{eff}}$$

Frittromsvekking

EIRP = Effective Isotropic Radiated Power

$$P_m = (P_s * G_s) \times \left(\frac{\lambda}{4\pi d}\right)^2 \times G_m$$

Mottatt effekt
(Watt)

Sende
effekt

Antenne-
vinning

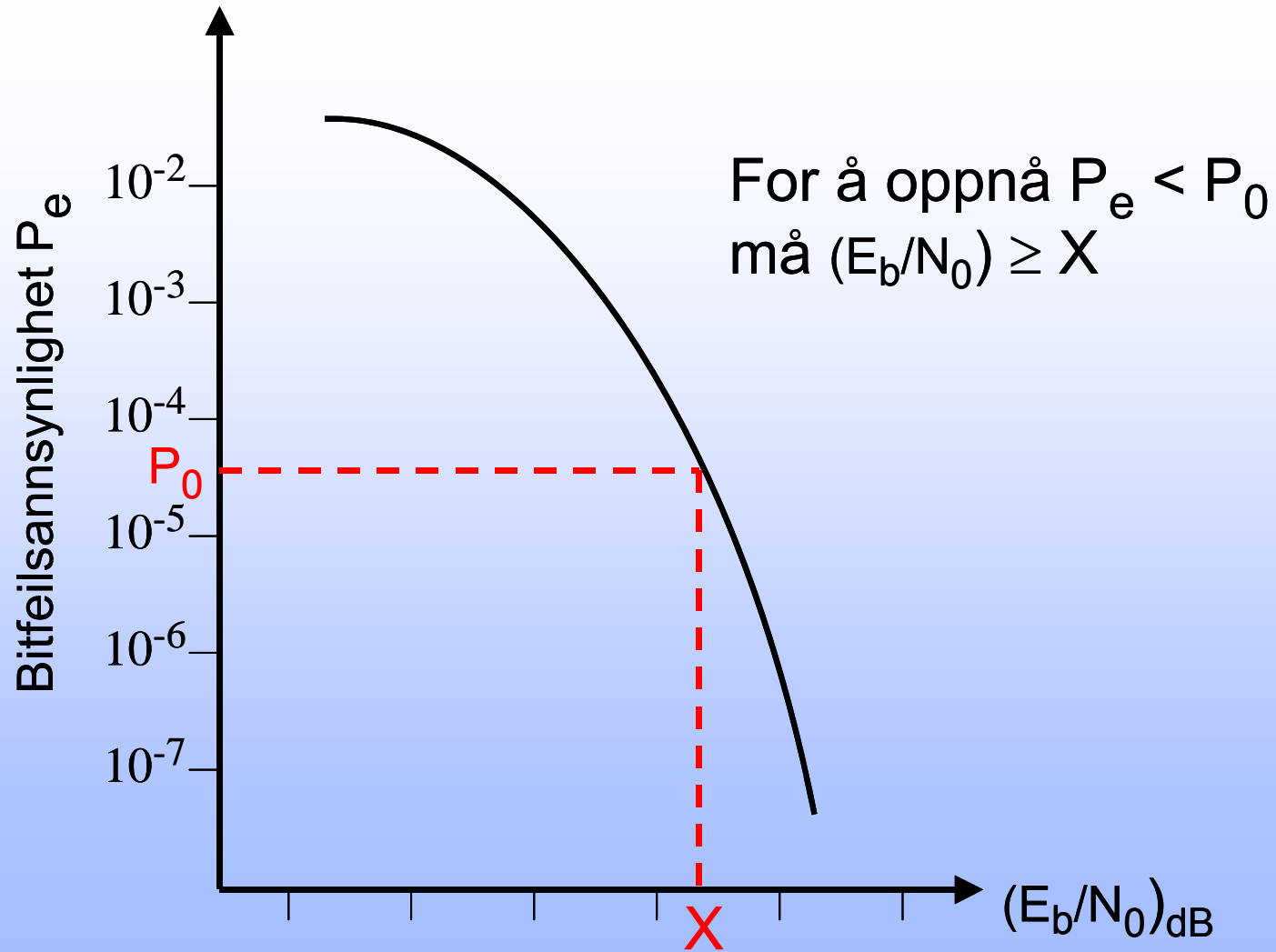
Frittroms-
vekking

Avstand

Mottakerens
antennevinning

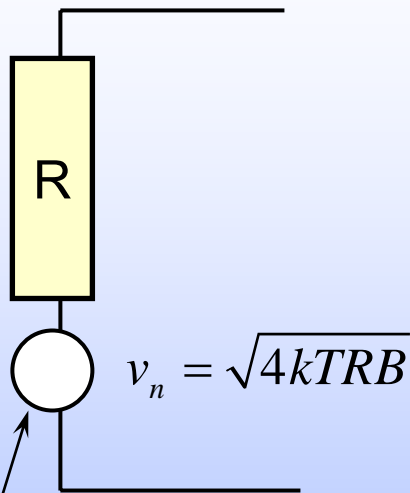
Bølgelengde

Typisk sammenheng E_b/N_0 og P_e



Tilgjengelig støyeffekt

Ekvivalentkretser for generering av elektrisk støy (AWGN):



Ekvivalent spenningskilde

v_n har gaussisk fordeling

$$\bar{v}_n = 0$$

$$v_{n_{rms}} = \sigma$$

Tilgjengelig støyeffekt ved impedanstilpasning:

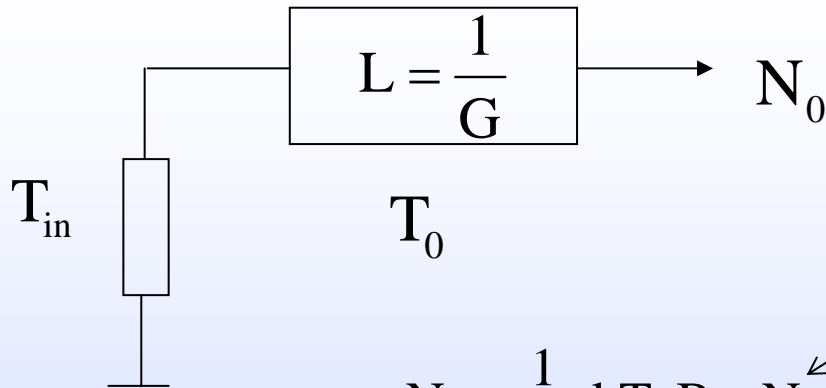
$$N = kTB$$

Ekvivalent støytemperatur



Ekvivalent støytemperatur

Ekvivalent støytemperatur til et dempeledd



Egensstøyen til dempeleddet

$$N_0 = \frac{1}{L} \cdot kT_{in} B + N_{att} = \frac{1}{L} \cdot kB \left(T_{in} + \frac{N_{att}}{\frac{1}{L} kB} \right) = \frac{1}{L} \cdot kB (T_{in} + T_e)$$

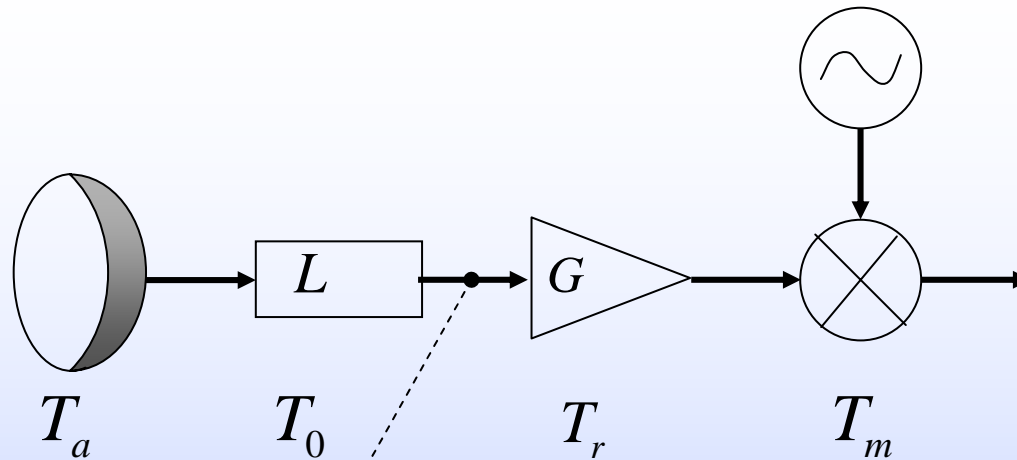
Hvis $T_{in} = T_0$ blir støyeffekten på utgangen $N_0 = kT_{in} B$

$$\Rightarrow \frac{1}{L} \cdot kB (T_{in} + T_e) = kT_{in} B$$

$$T_e = LT_{in} - T_{in} = T_{in} (L - 1) = 290(L - 1)$$

$$F = 1 + \frac{T_e}{T_0} = 1 + \frac{T_0(L - 1)}{T_0} = L$$

System noise temperature



$$T_s = \frac{T_a}{L} + \left(1 - \frac{1}{L}\right) \cdot T_0 + T_r + \frac{T_m}{G}$$

Linkanalyse (nedlink)

$$\frac{C}{N} = \frac{E_b}{N_0} \cdot \frac{R}{B} = \frac{EIRP}{L_0} \cdot \frac{G}{T_s} \cdot \frac{1}{kB} \cdot \frac{1}{L_A}$$

Definerer satellitten

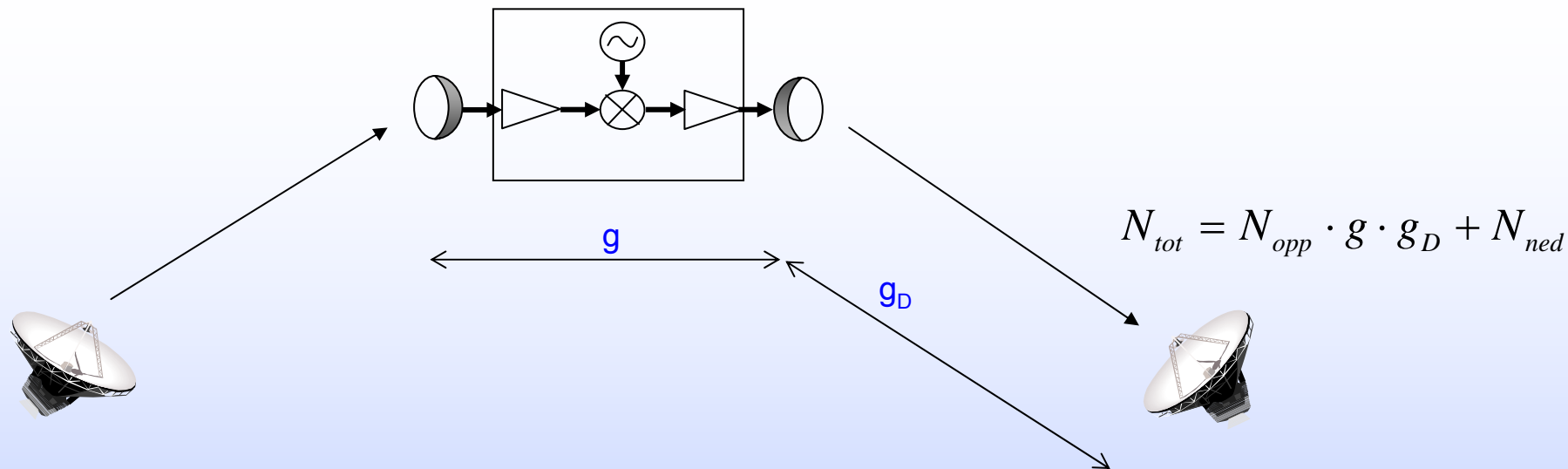
Tidsavhengige

Frittromsdepning

Definerer jordstasjonen

Tilleggsdempning (regn etc.)

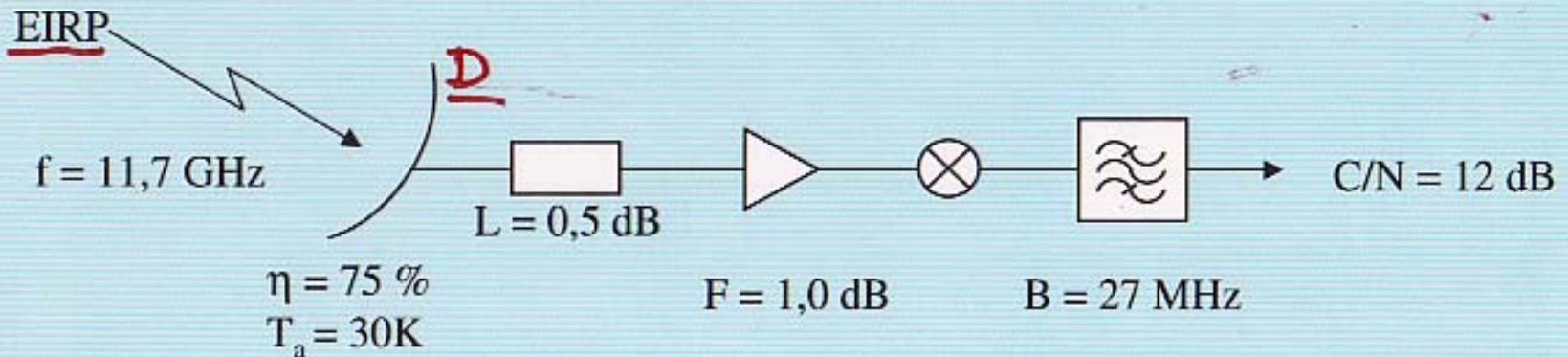
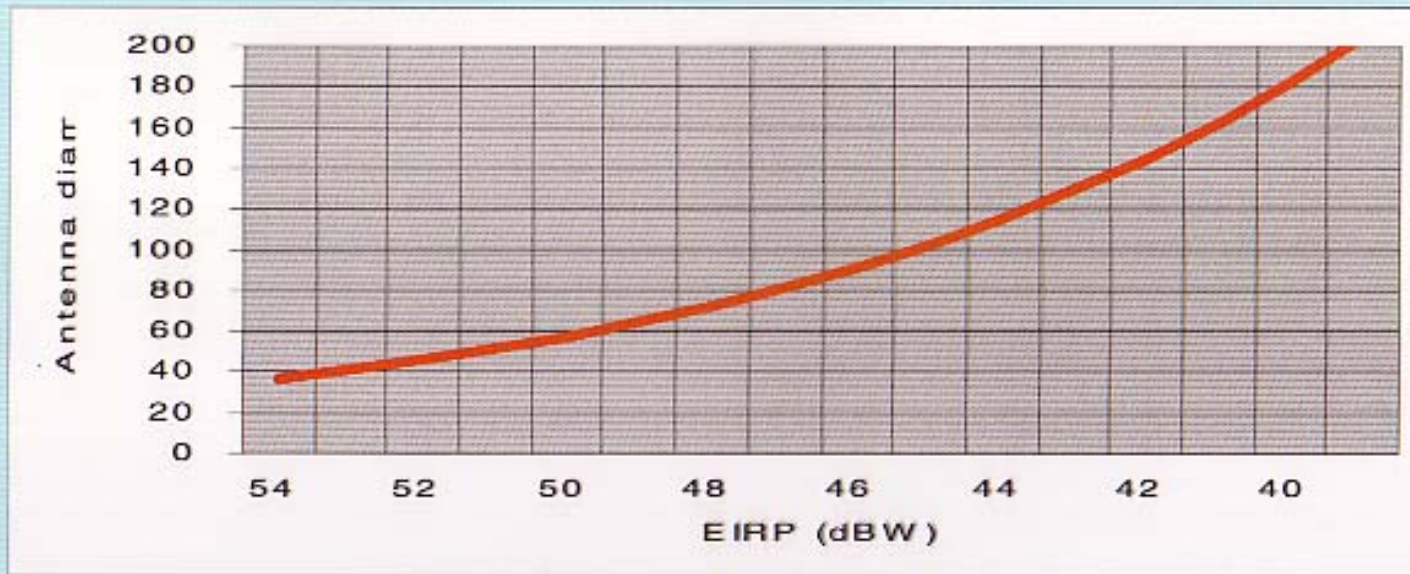
Kombinasjon av støy på opp- og nedlink



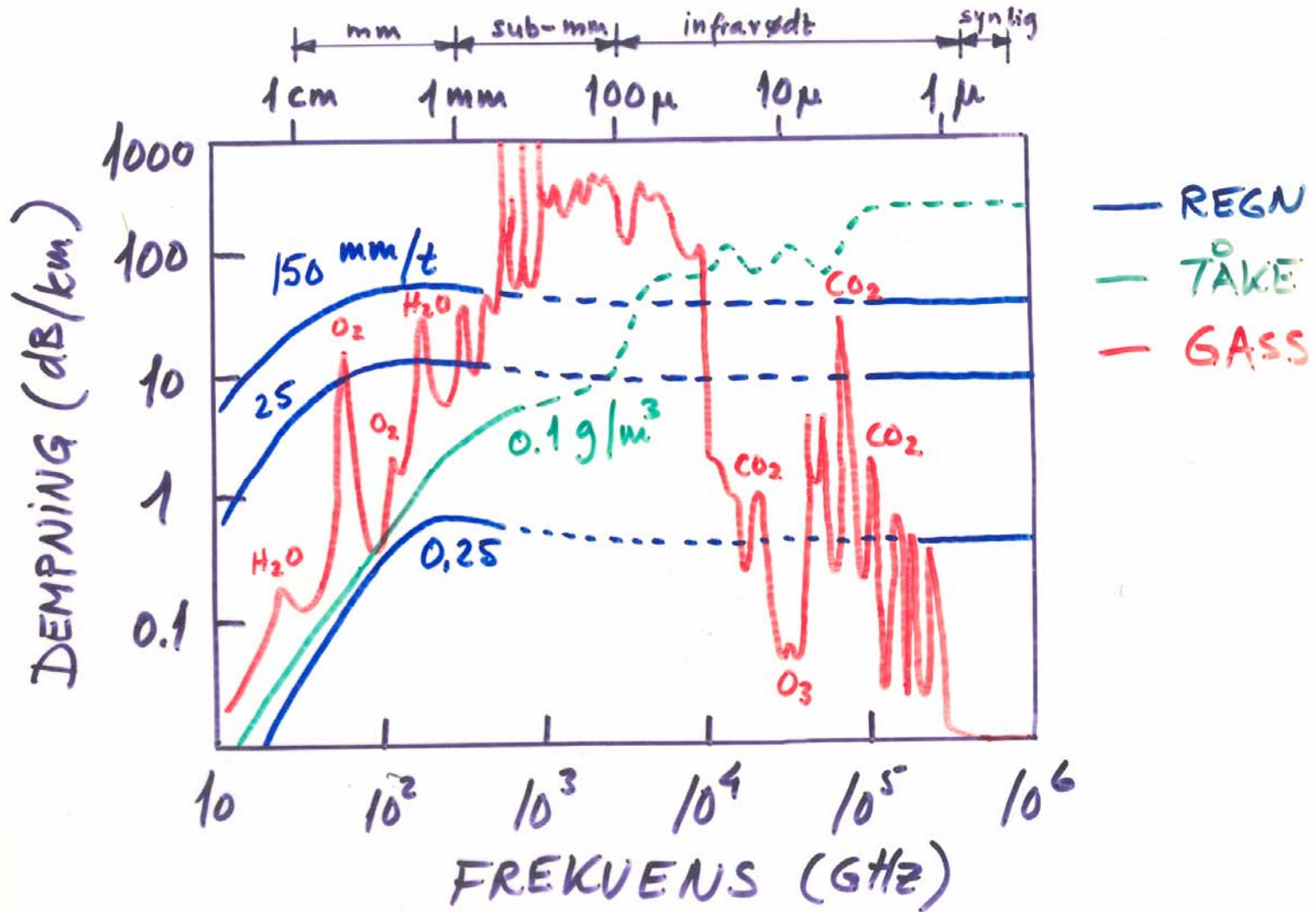
$$\frac{N_{tot}}{C} = \frac{N_{opp} \cdot g \cdot g_D + N_{ned}}{C} = \frac{N_{opp} \cdot g \cdot g_D}{C} + \frac{N_{ned}}{C} = \frac{N_{opp}}{\frac{C}{g \cdot g_D}} + \frac{N_{ned}}{C} = \frac{N_{opp}}{C_{opp}} + \frac{N_{ned}}{C_{ned}} = \left(\frac{N}{C} \right)_{opp} + \left(\frac{N}{C} \right)_{ned}$$

$$\left(\frac{C}{N} \right)_{tot} = \frac{1}{\frac{1}{(C/N)_{opp}} + \frac{1}{(C/N)_{ned}} + \frac{1}{(C/N)_{IM}} + \dots}$$

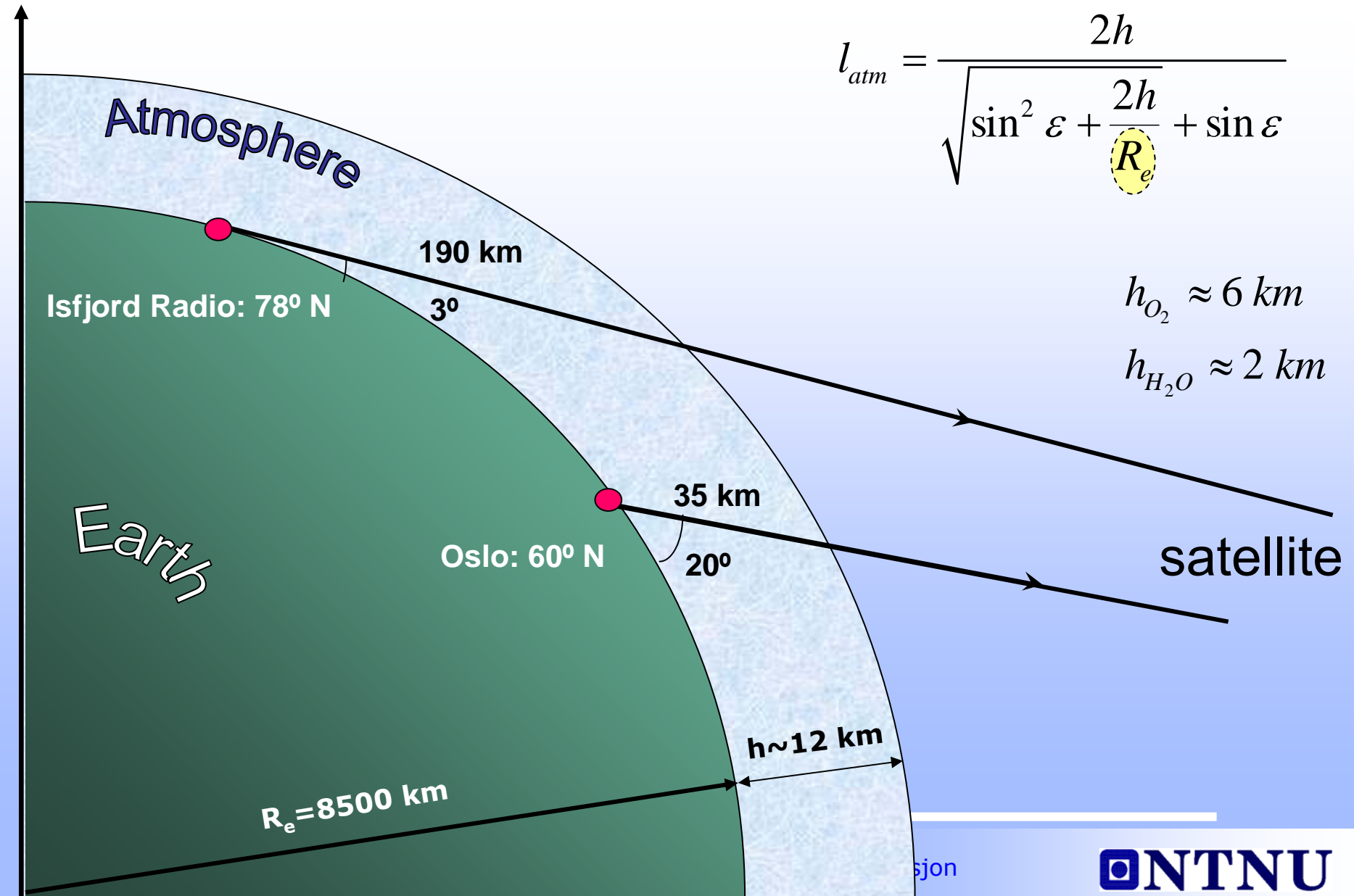
Linkbudsjett/antennediameter vs EIRP



Vinduer i atmosfæren

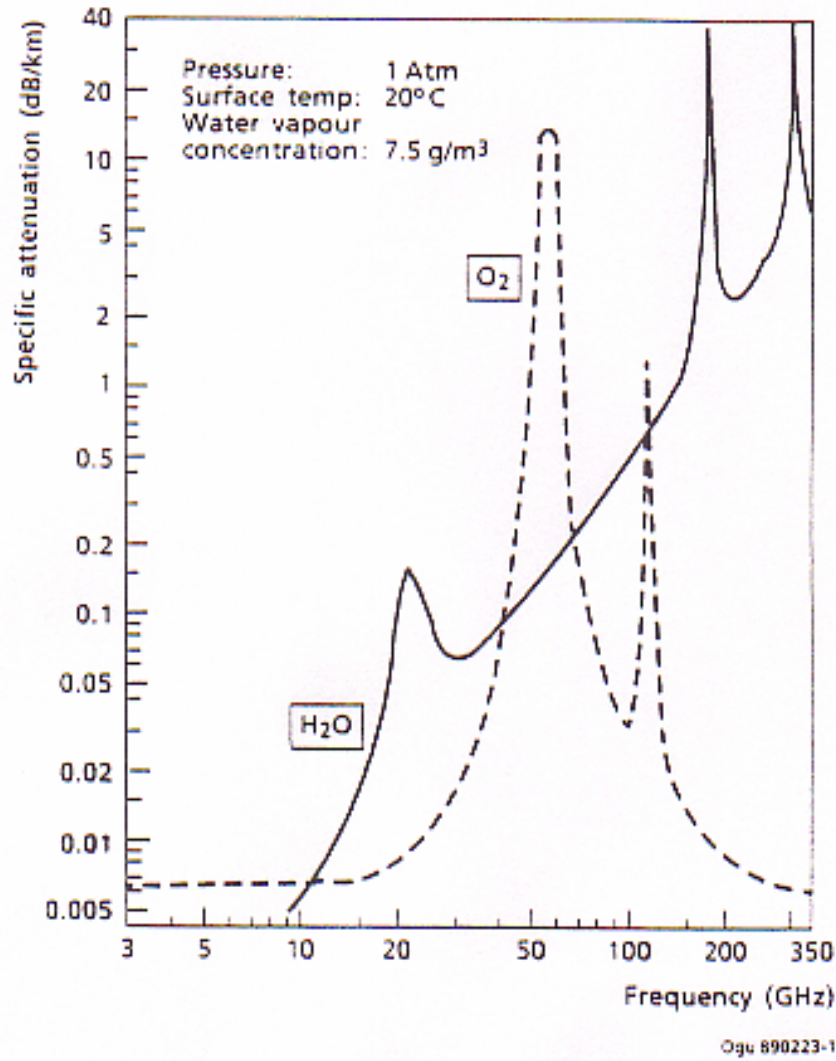


Northern latitude vs. elevation



$$l_{atm} = \frac{2h}{\sqrt{\sin^2 \varepsilon + \frac{2h}{R_e} + \sin \varepsilon}}$$

Dempning i atmosfæren

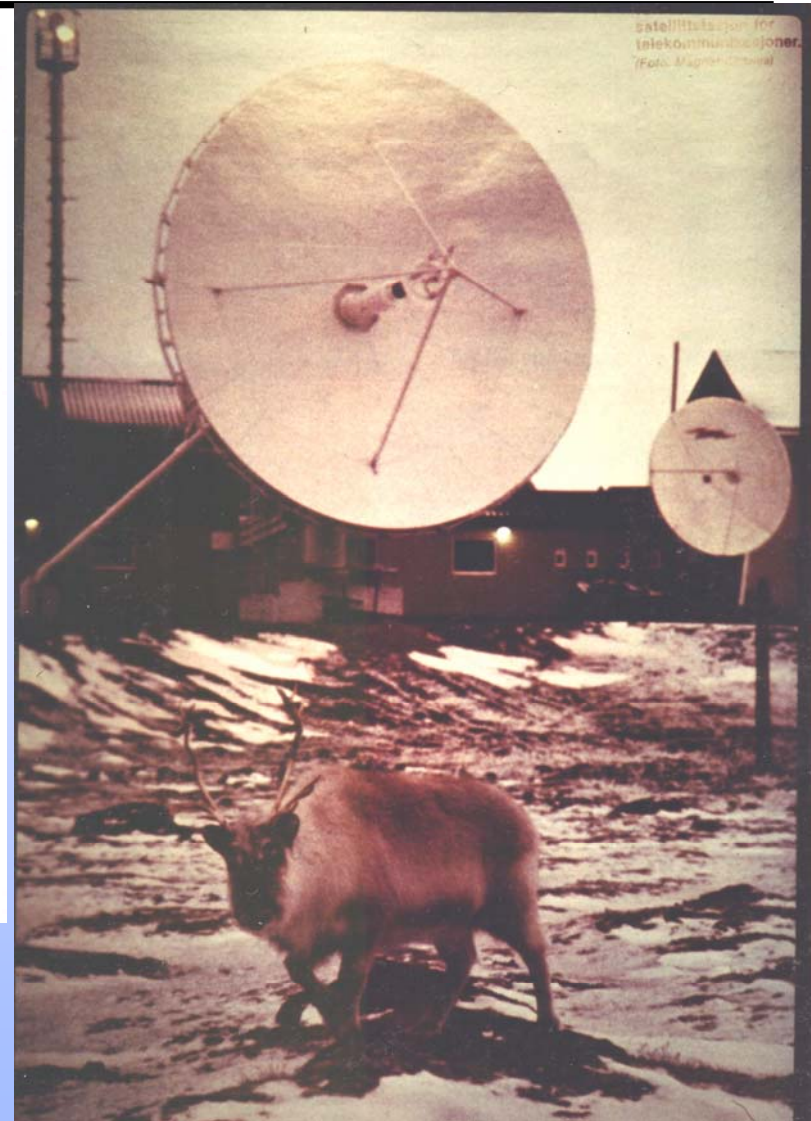
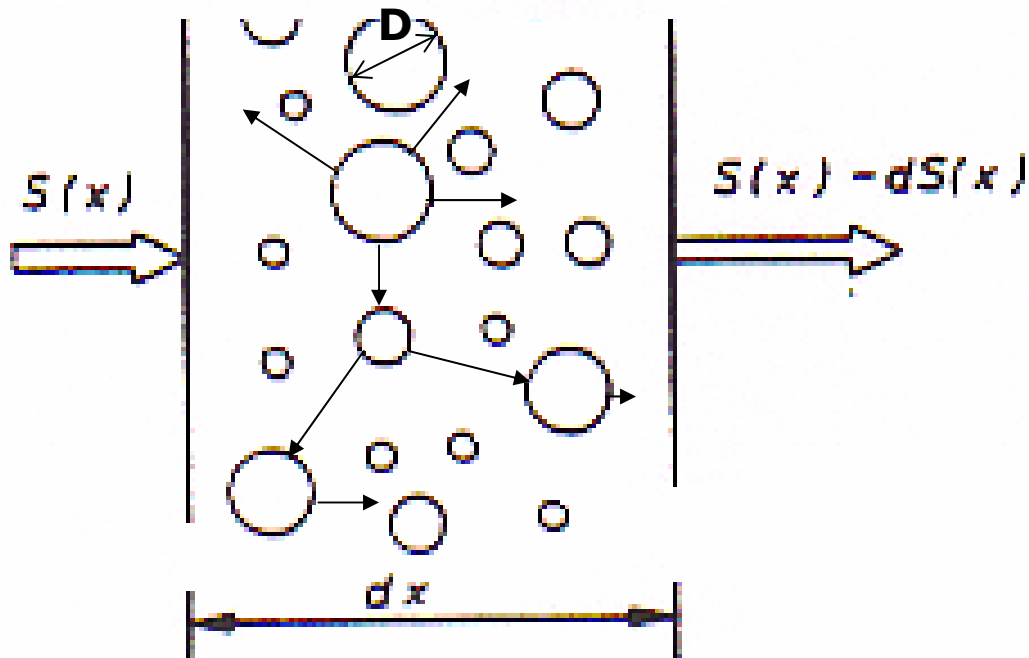


- Spesifikk attenuasjon i dB/km på grunn av vanndamp og oksygen i atmosfæren, trykk 1 atm, temperatur 20 grader, vanndamp 7.5 g/m³.
- Ingen dempning på grunn av regn og skyer.
- Absorpsjonslinjer for vanndamp ved 22 GHz.
- Absorpsjonslinje for oxygen ved 60 og 130 GHz

$$A_{tot} = \gamma_{O_2} \cdot l_{O_2} + \gamma_{H_2O} \cdot l_{H_2O}$$

Dempning i regn (1)

$$\int_0^{\infty} N(D) dD = \text{dråper pr volumenh} \text{et}$$



$$L_{\text{tot}} = S(Q_a + Q_s) = S \cdot Q_t$$

Dempning i regn (2)

Dempningen i regn skjer fordi de enkelte vanndråpene

- sprer energi ut av strålen
- absorberer energi

Dempningen er følgelig avhengig av

- volum av vann i radiostrålen
dvs avhengig av regnintensitet (R)
og dråpestørrelsesfordeling (N)
- dråpens totale dempningstverrsnitt (Q), som igjen er en funksjon av
 - diameter og bølgelengde (D/λ)
 - vannets brytningsindeks (n)

$$R \propto \int_0^{\infty} N(D)v(D)D^3 dD$$
$$N(D) = N_0 e^{-D/D_m}$$

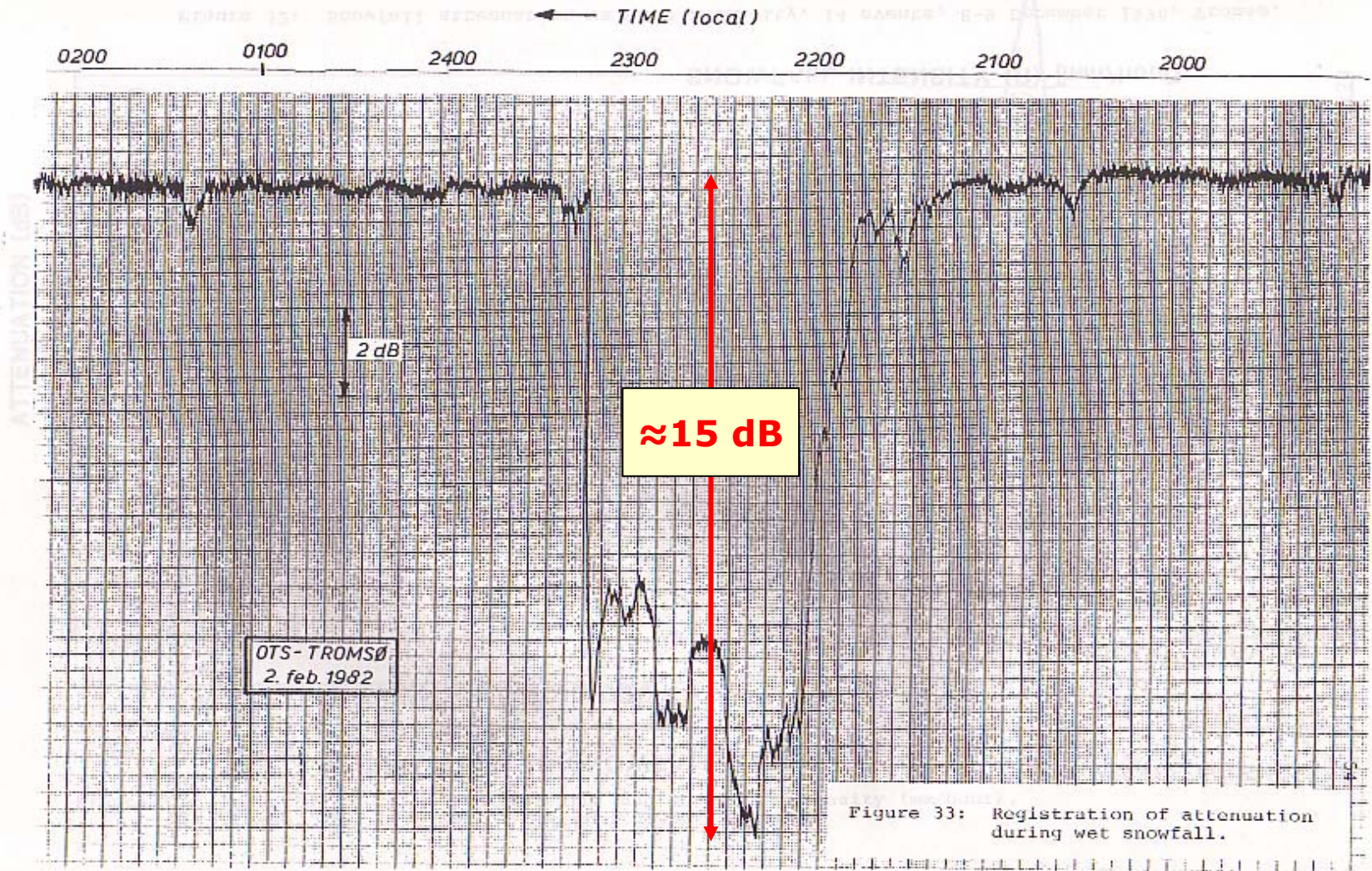
Spesifikk dempning blir da:

$$\gamma \propto \int_0^{\infty} Q_t N(D) dD$$

For praktiske formål:

$$\gamma = aR^b \quad (\text{dB} / \text{km})$$

Dempning i regn/våt snø, 12 GHz, lin.pol.



Spesifikk dempning pga regn

Siden γ , er proporsjonal med R, vil for praktiske formål:

$$\gamma = a \cdot R^b \quad \text{dB/km}$$

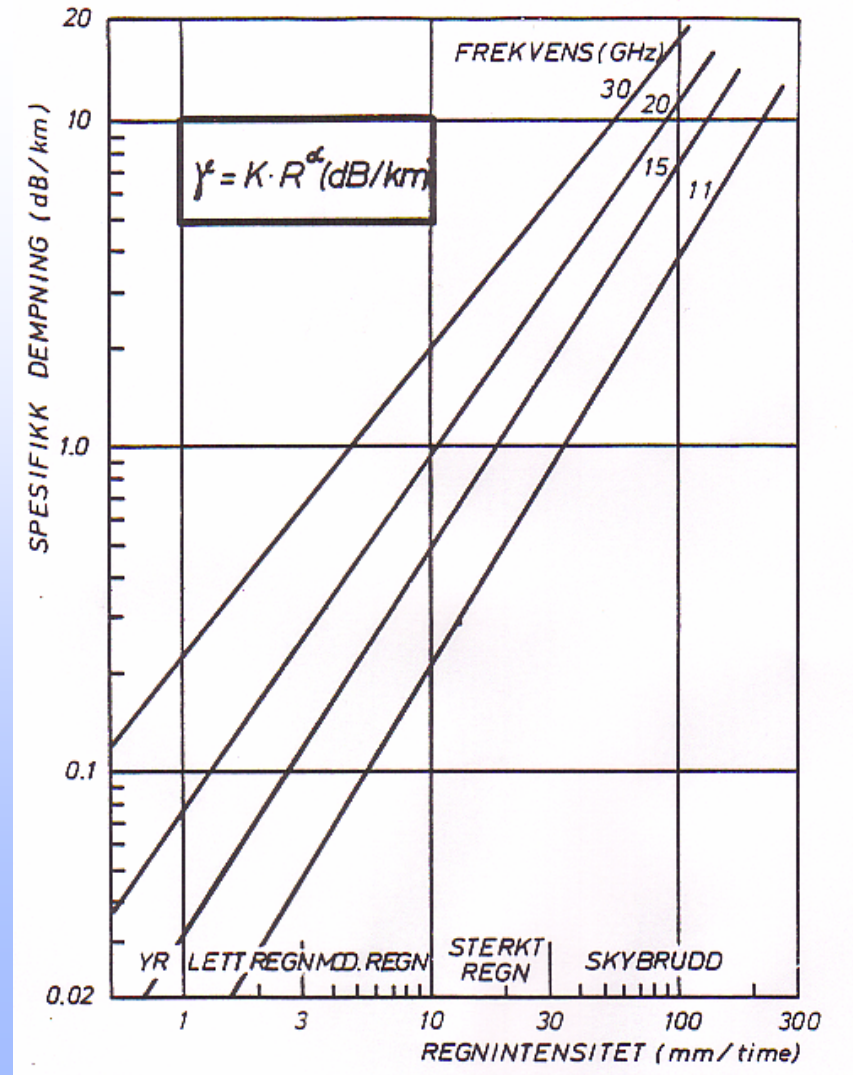
For frekvenser mellom 10 og 30 GHz vil b være nær 1, dvs

$$\gamma = a \cdot R \quad \text{dB/km}$$

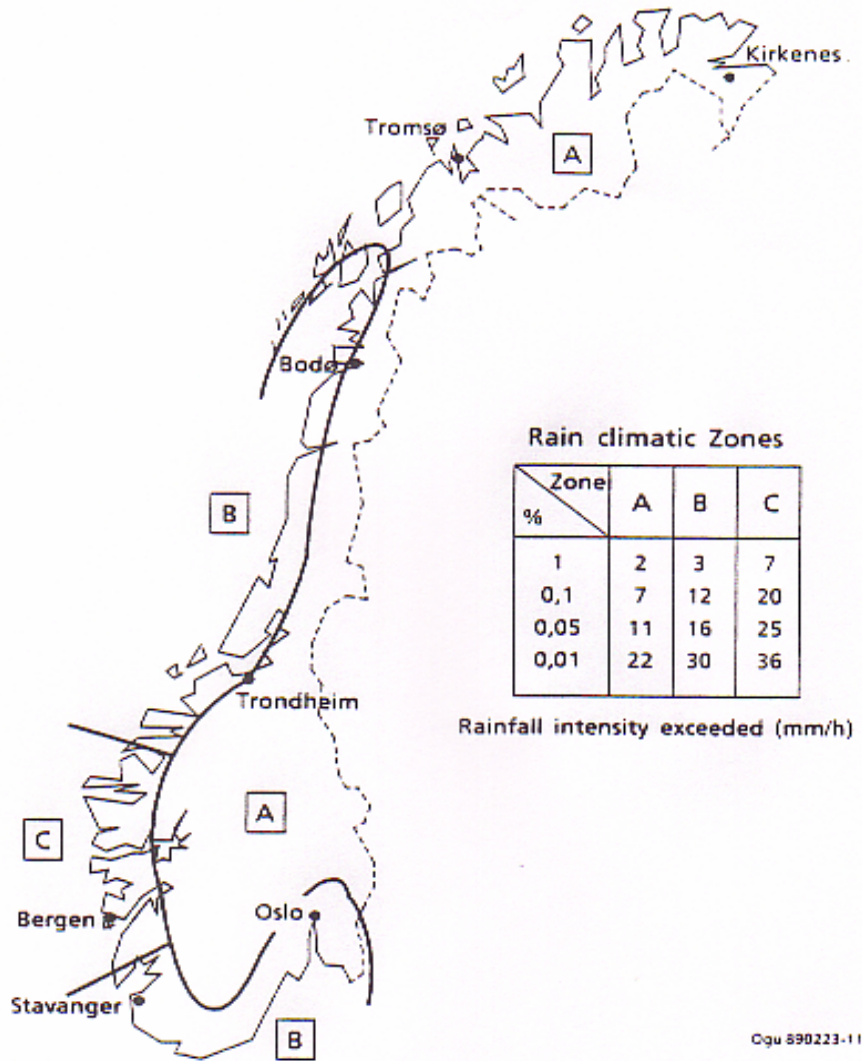
f. eks. vil

$$\gamma \approx 0.045R \text{ ved } 15 \text{ GHz}$$

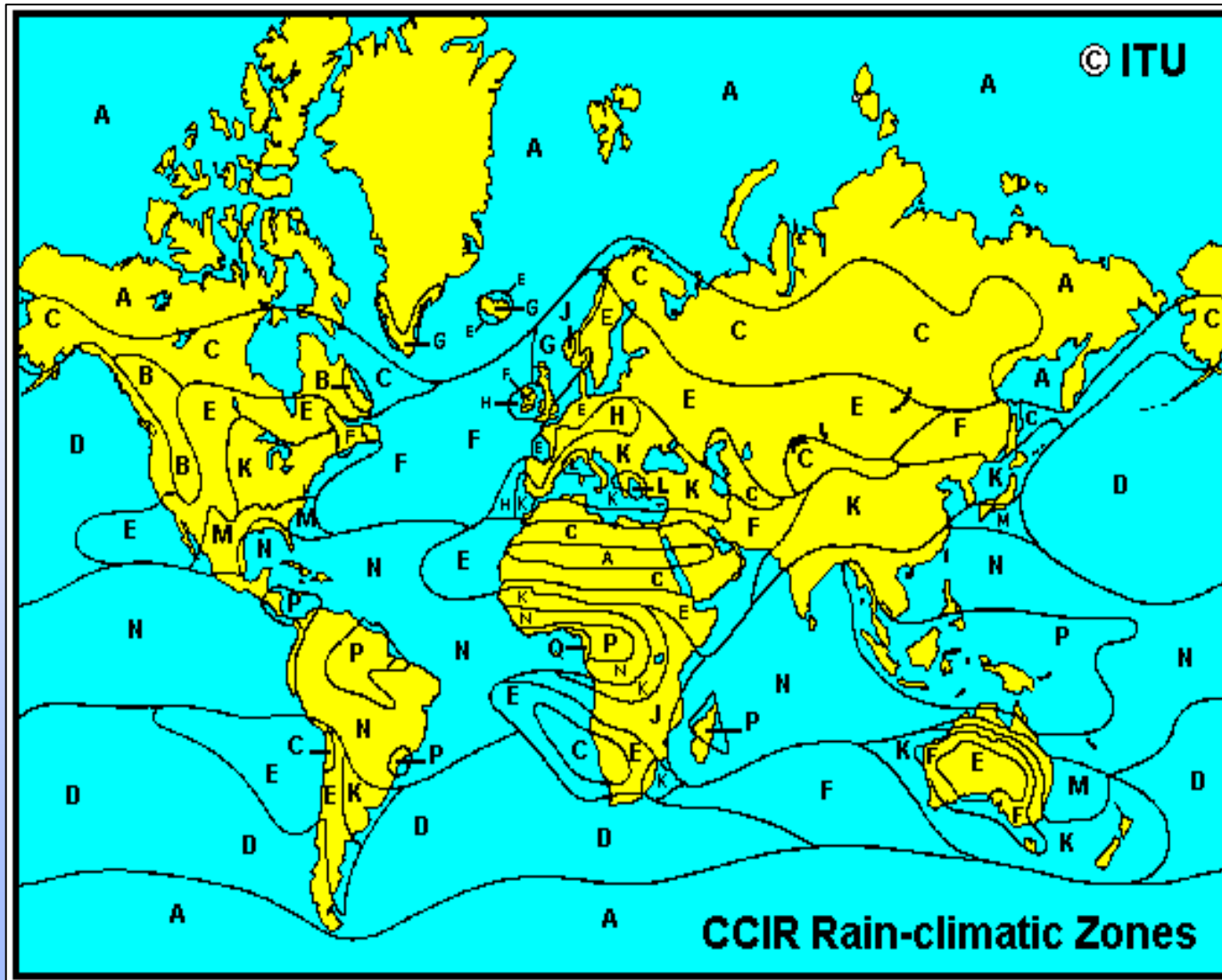
$$\gamma \approx 0.1R \text{ ved } 20 \text{ GHz}$$



Regnintensitetssoner for Norge

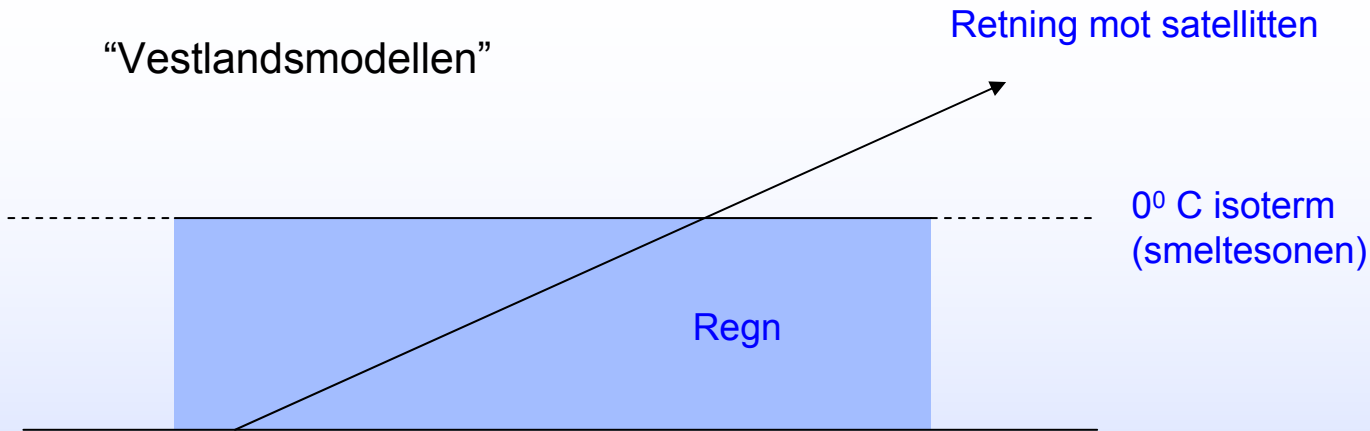


Regnintensitets-soner i Europa

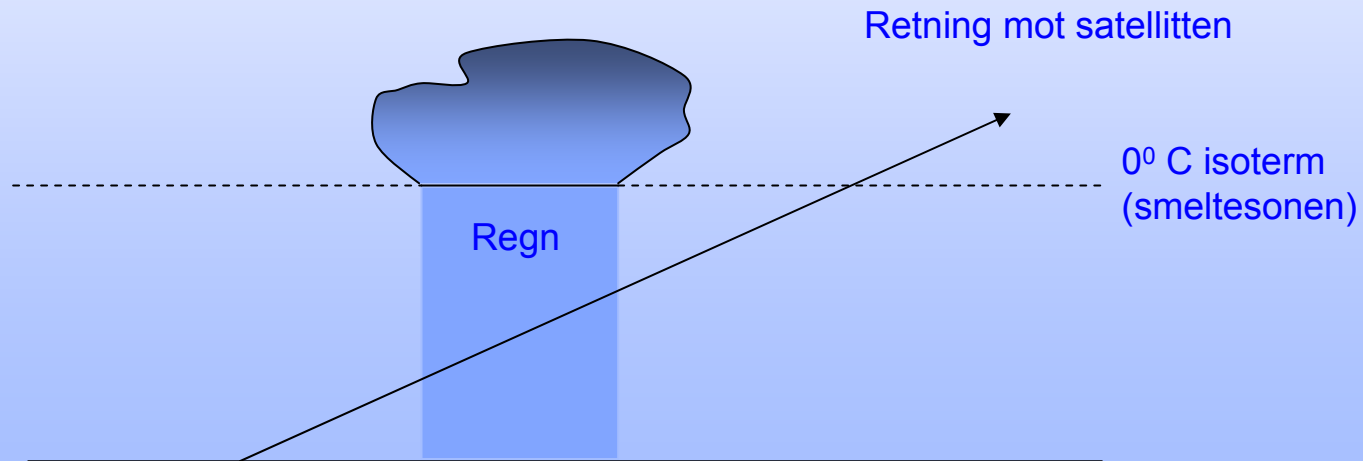


“Regnmodeller”

“Vestlandsmodellen”

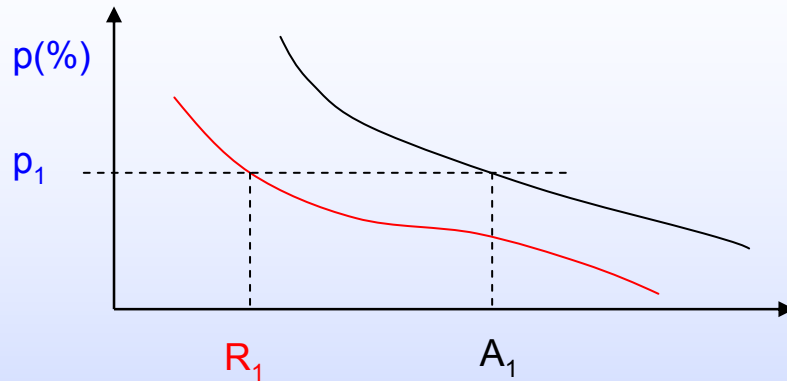


“Østlandsmodellen”



Ekvivalent lengde gjennom regnvær

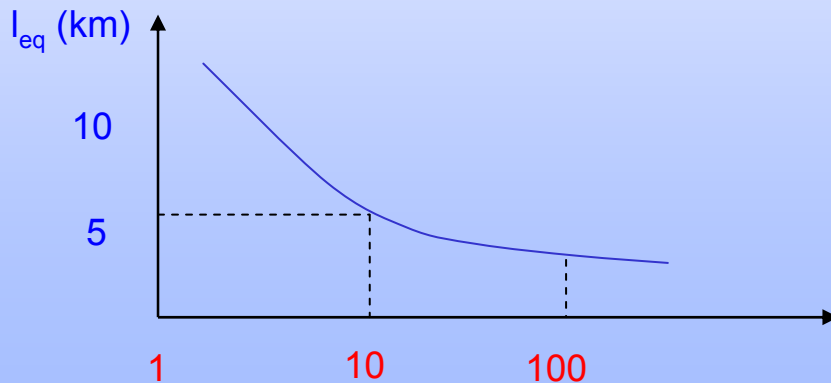
Måler kumulative regnintensitets- og dempningsfordelinger på samme sted over samme tidsperiode:



A (dB)

R (mm/time)

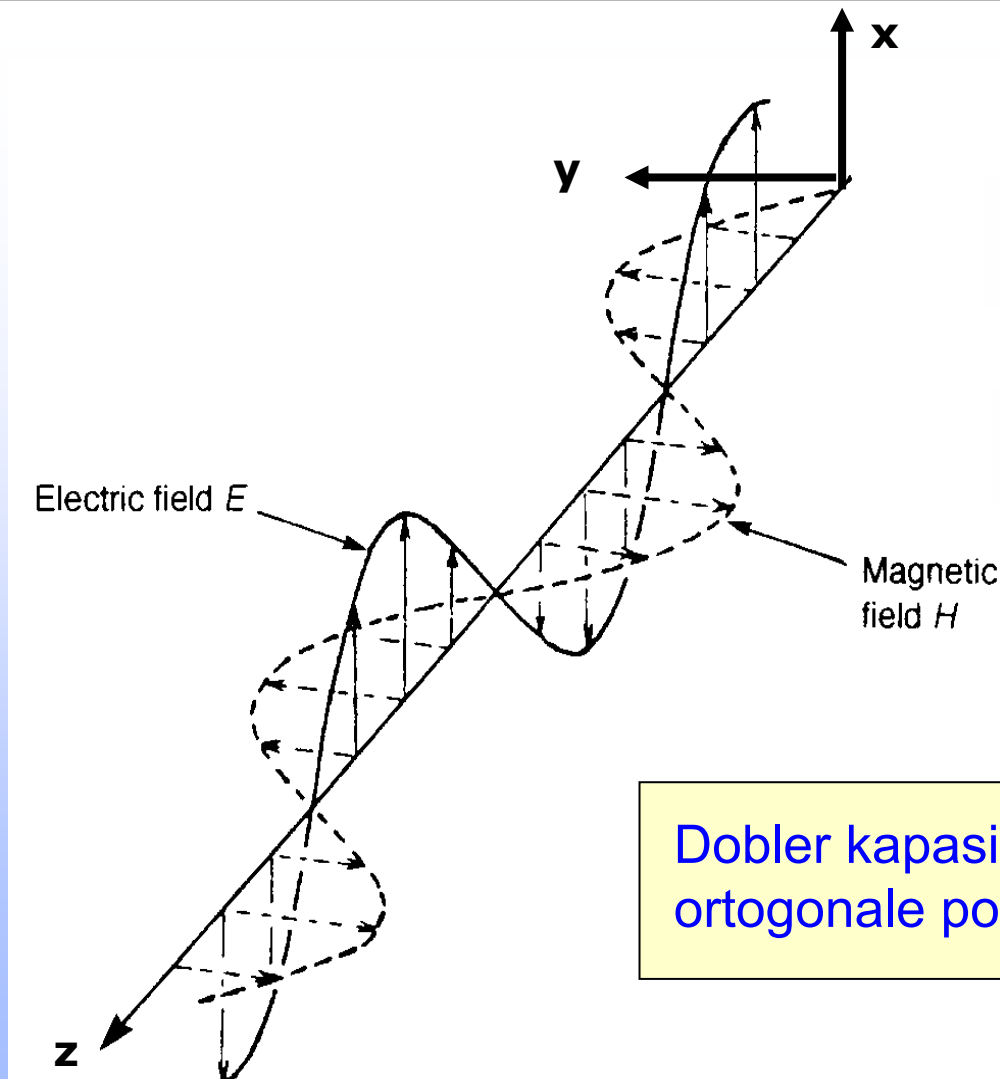
$$l_{eq}(R_1) = \frac{A_1}{\gamma(R_1)} \quad (\text{km})$$



R (mm/time)

$$l_{eq} = \frac{A_{tot}(p)}{\gamma[R(p)]} \quad (\text{km})$$

Plan bølge (lineær vertikal polarisasjon)

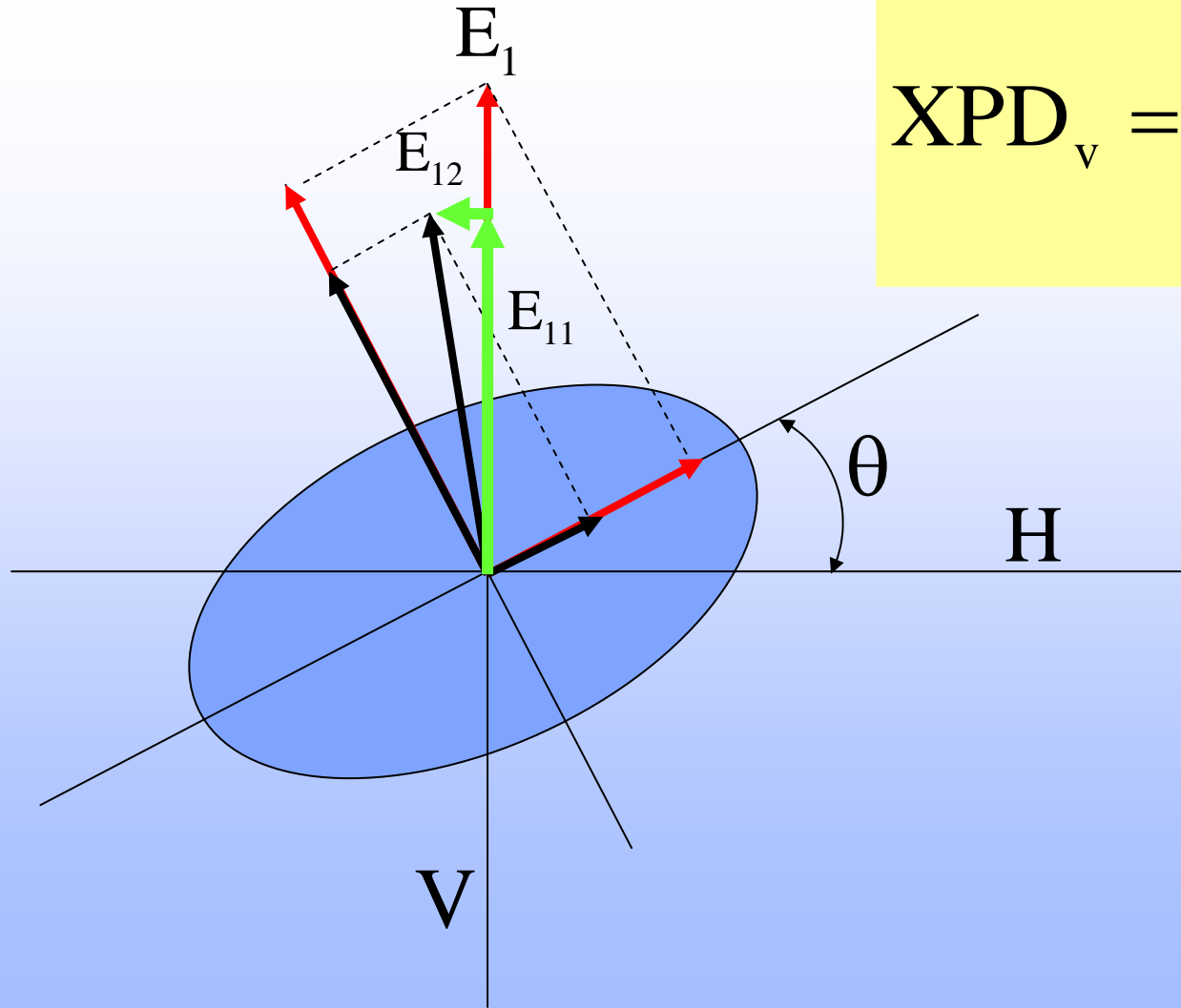


$$\mathbf{E} = E_0 \cos(\omega t - kz) \hat{\mathbf{x}}$$

$$\mathbf{H} = H_0 \cos(\omega t - kz) \hat{\mathbf{y}}$$

Dobler kapasiteten ved å benytte ortogonale polarisasjoner

Depolarisasjon i regn



$$\text{XPD}_v = 20 \log \frac{E_{11}}{E_{12}}$$

Depolarisasjon p.g.a. regn

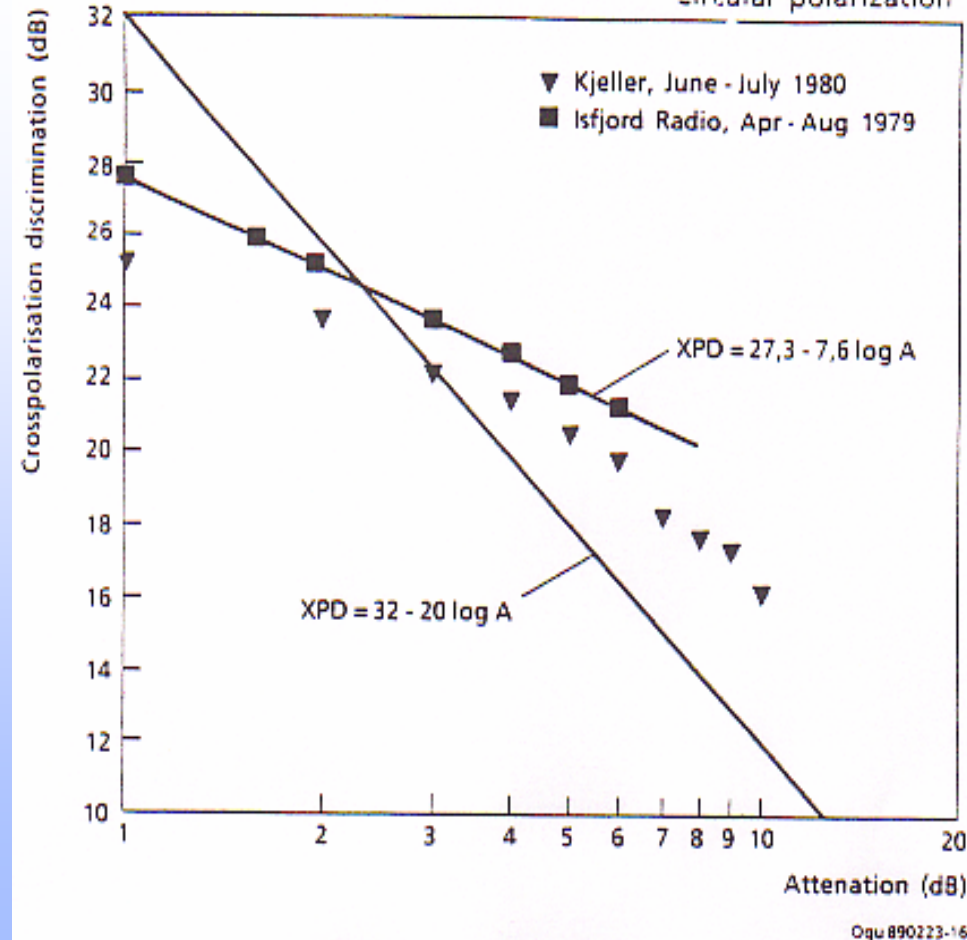
Regndråpene ligner mer på “pastiller” enn på hengende vandråper.

Det fører til av horisontal og vertikalkomponentene av radiobølger ser forskjellig impedans. Dermed vil resultatanten (feltstyrkekomponenten) dreie.

Det er en statistisk sammenheng mellom regnintensitet og polarisasjonsdreining, og dermed en sammenheng mellom attenuasjon og depolarisasjon. En modell er

$XPD = a - b \log(ATT)$
hvor XPD og ATT er gitt i dB
For 12 GHz er $a=32$ og $b=20$

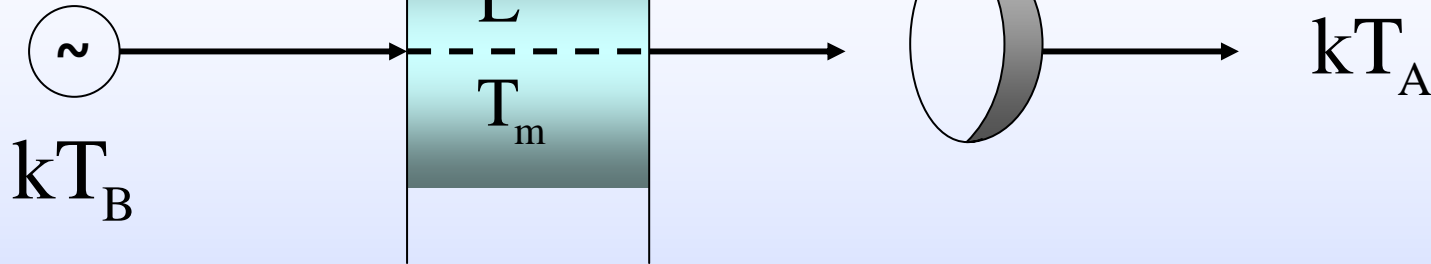
QTS, 11.8 GHz
Circular polarization



Støy pga absorpsjon i atmosfæren/regn

Atmosfæren (regnet) kan betrakte som et "dempedeidd"

Bakgrunnsstøyen



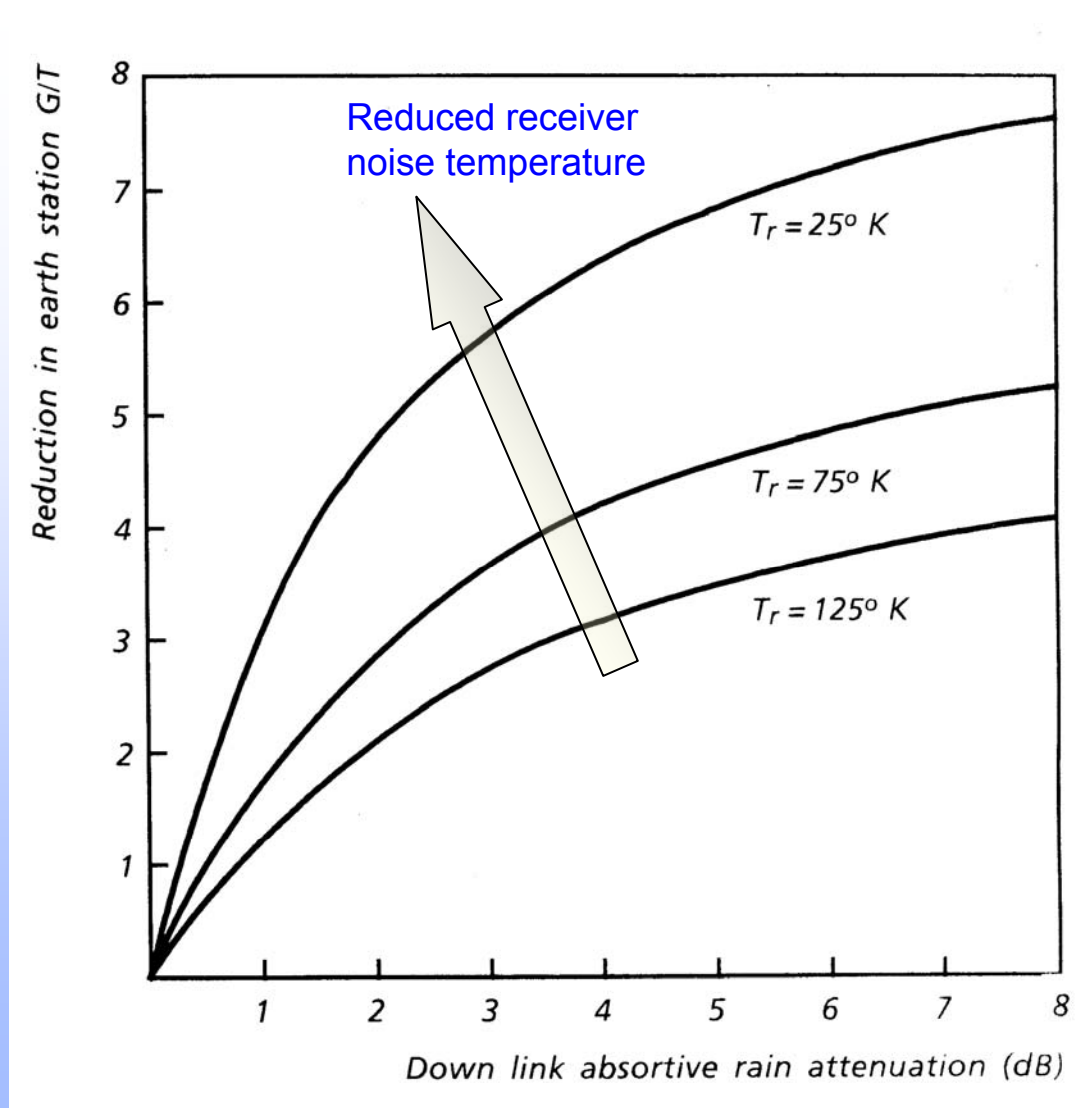
$$T_A = \frac{T_B}{L} + \frac{L-1}{L} T_m \approx \left(1 - \frac{1}{L}\right) T_m$$

Støyøkningen

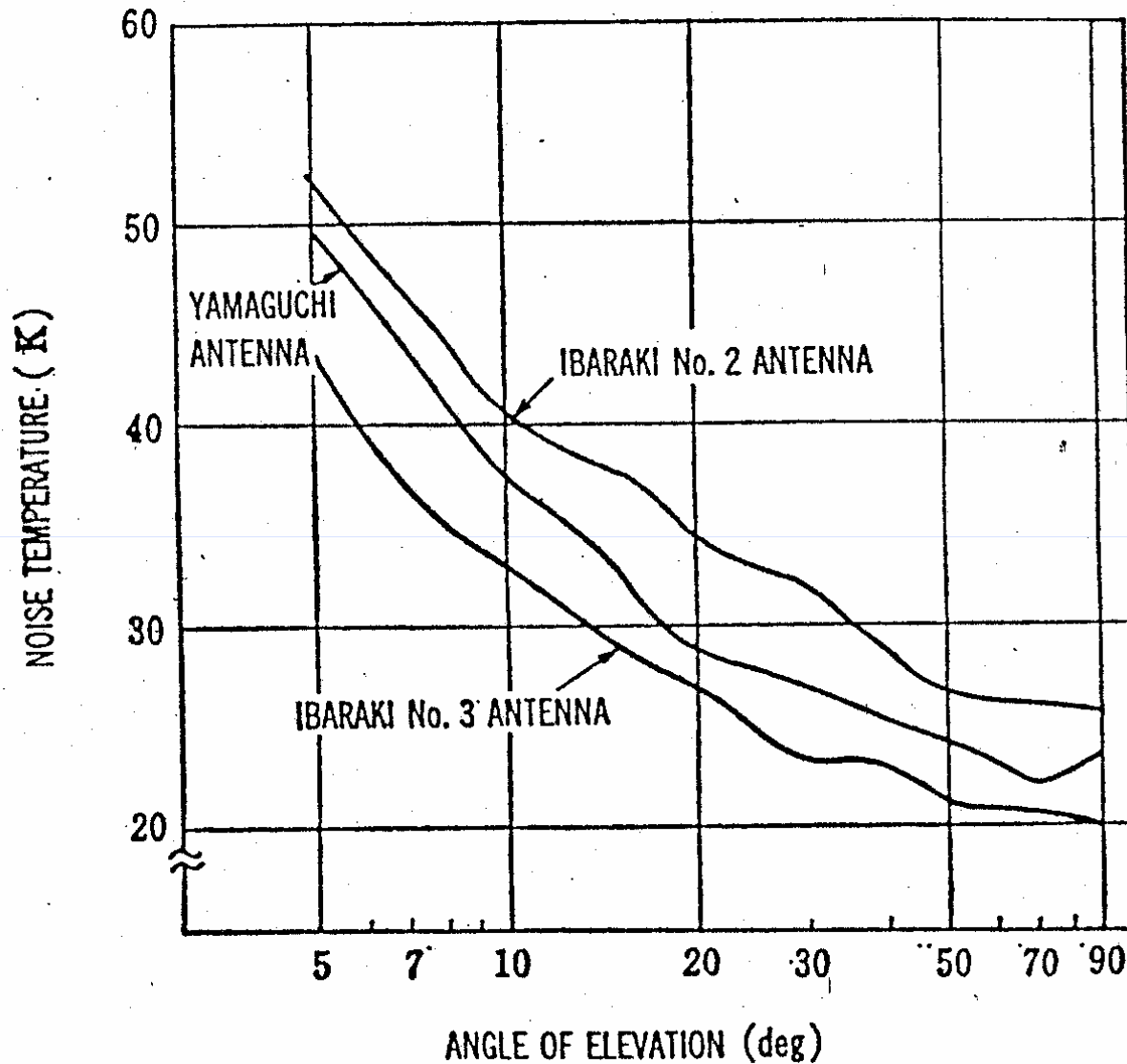
$$L = \frac{T_m}{T_m - T_A}$$

Radiometerlikningen (absorpsjonsbidraget)

Reduction in G/T



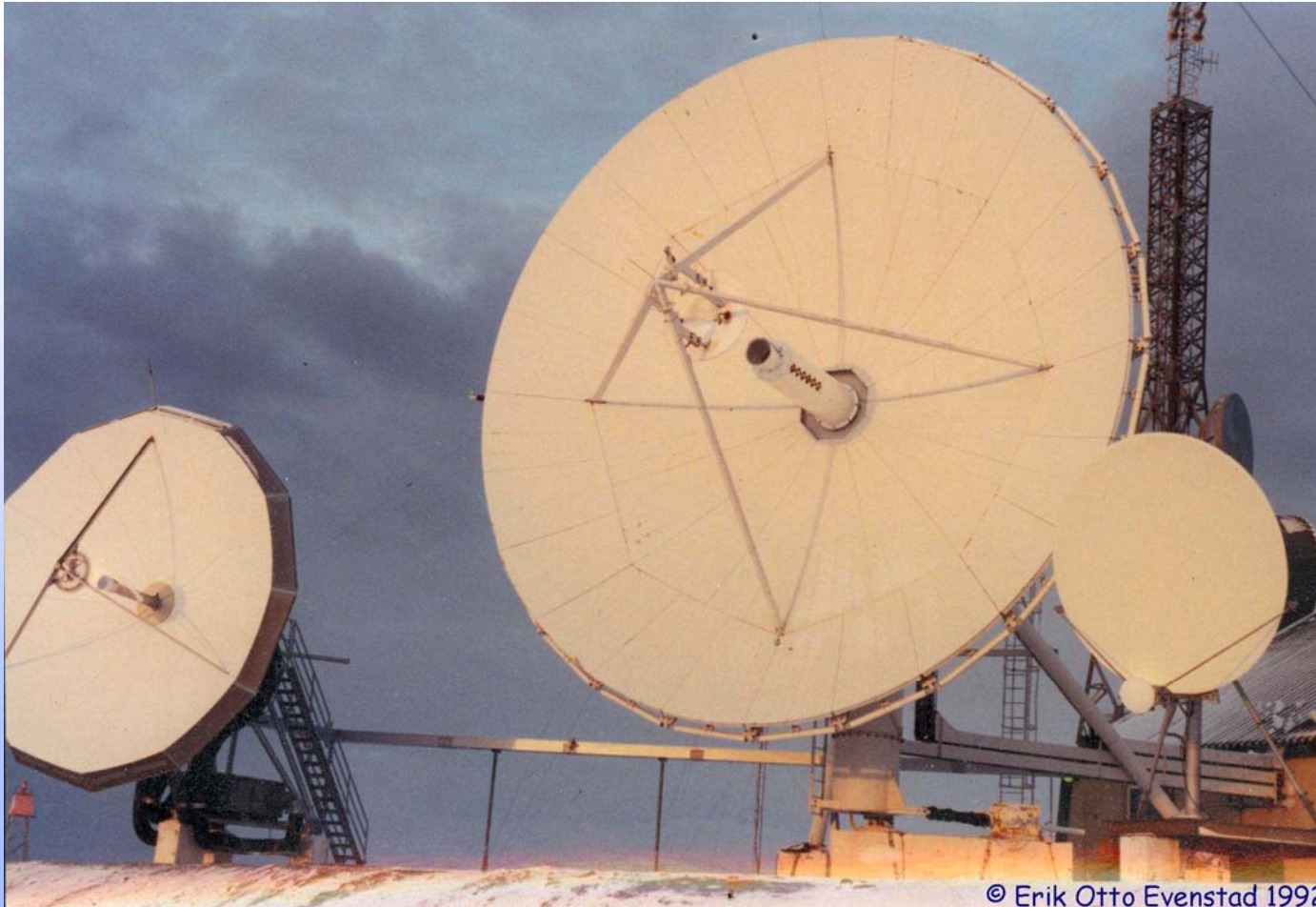
Antenna noise (clear sky)



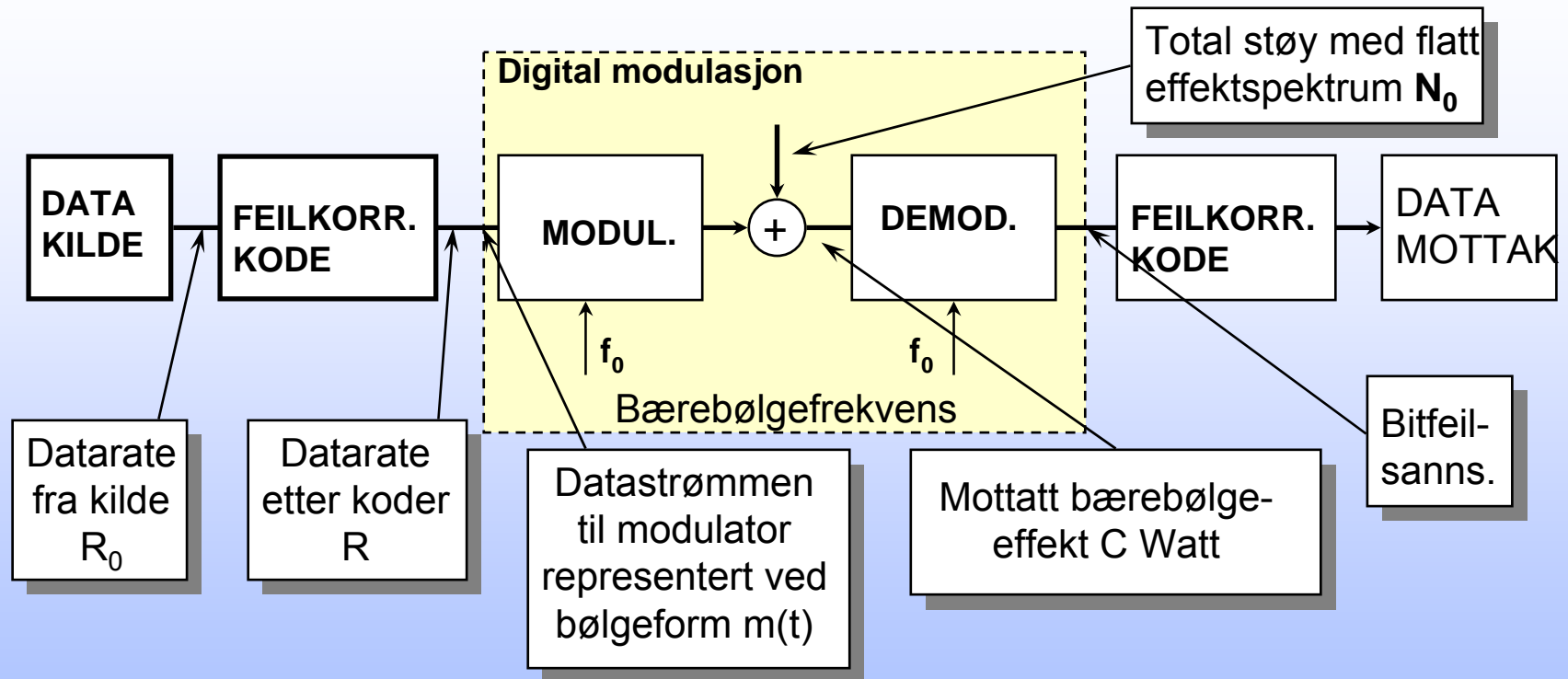
Antenna noise temperature for C-band earth stations (antenna diameter ca 11 meter)

Ibaraki 1 & 2 and Yamaguchi are land earth stations in the INMARSAT system.

Maksimal solinterferens!



SYSTEMMODELL

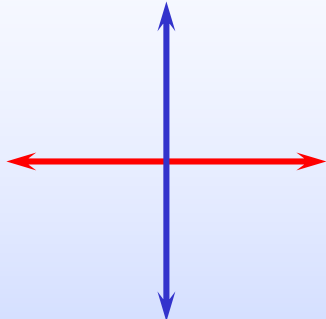


MODULATION METHODS



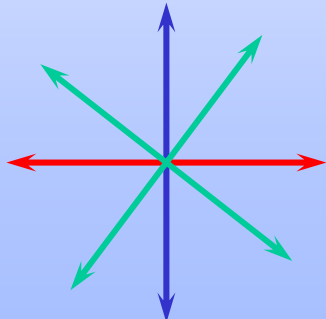
BPSK Binary Phase Shift Keying

- 1 bit per symbol
- “antipodal” modulasjon, lavest energi per bit for gitt bitfeilsannsynlighet



QPSK Quarternary Phase Shift Keying

- 2 bit per symbol, dobler bitraten per båndbreddenhet relativt BPSK
- kan betraktes som to ortogonale BPSK signaler, samme energi per bit for gitt bitfeilsannsynlighet



8PSK 8 Phase Shift Keying

- 3 bit per symbol, 3 ganger datahastighet per båndbreddenhet relativt til BPSK
- økt energi per bit i forhold til BPSK and QPSK

BINÆR PSK (BPSK)

Den modulerte bærebølgen er

$$x(t) = \sqrt{2C} \cdot \cos(2\pi f_0 t + \phi(t))$$

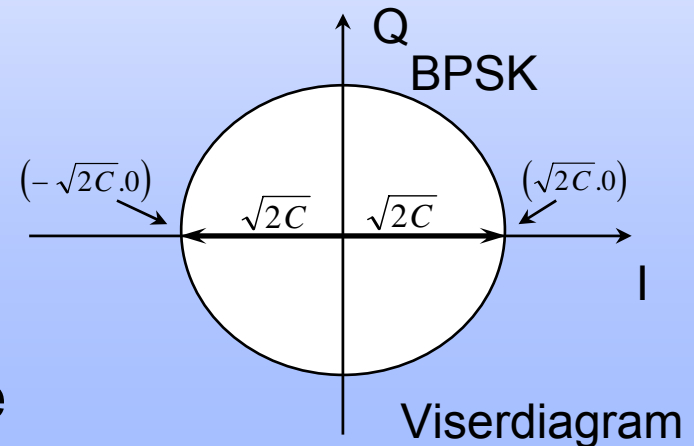
$a(t)$	$\phi(t)$
+1	0
-1	π

$$a(t) = m(t)$$

C = bærebølgeeffekten

Uttrykket kan omformes til:

$$x(t) = \sqrt{2C} \cdot a(t) \cdot \cos 2\pi f_0 t$$



BPSK signalet har konstant amplitude

QPSK (4-PSK)

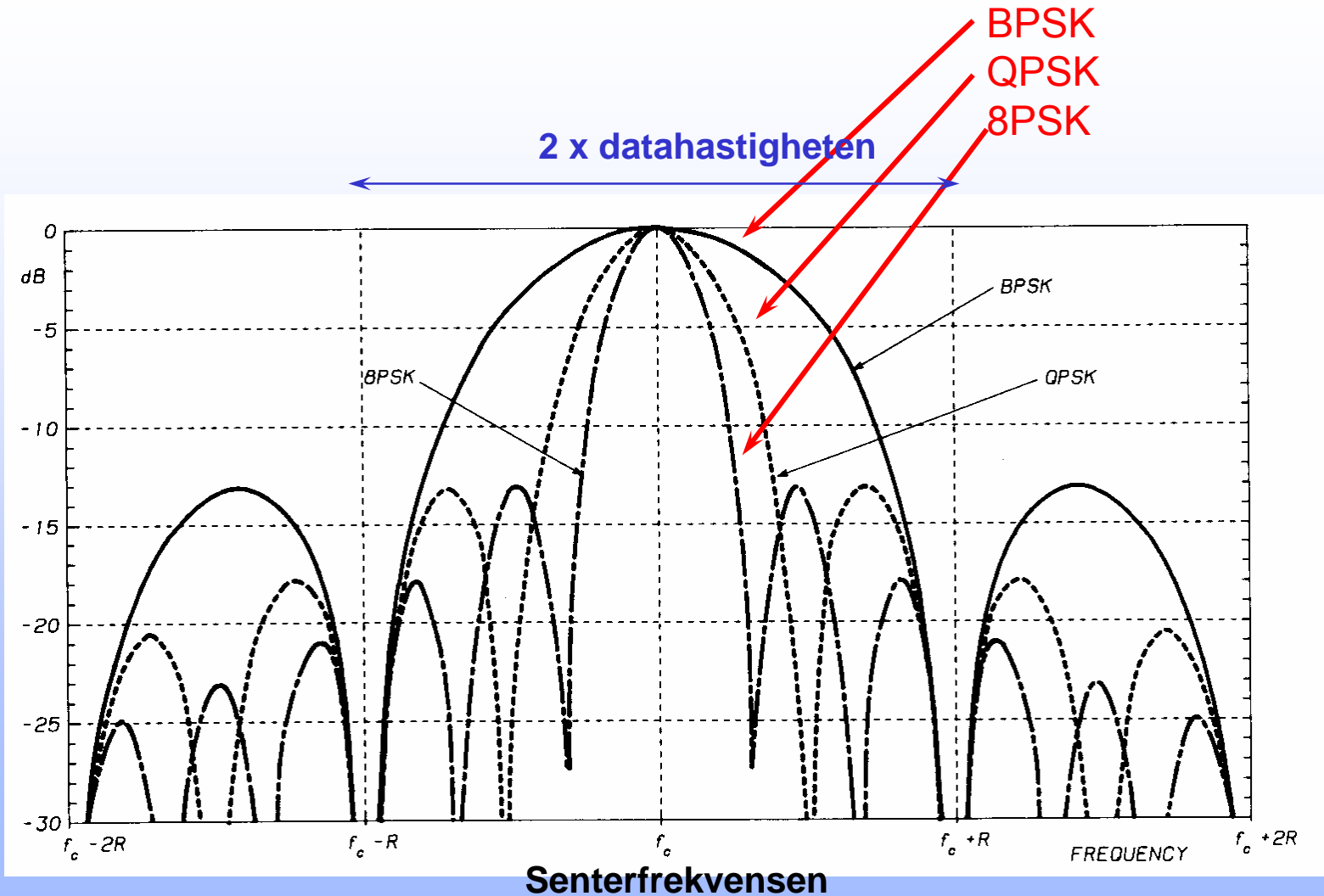
Den modulerte bærebølgen kan skrives:

$$\begin{aligned}x(t) &= \sqrt{2C} \cdot \cos(2\pi f_0 t - \phi(t)) \\&= \sqrt{2C} \cdot \cos \phi \cdot \cos \omega_0 t + \sin \phi \cdot \sin \omega_0 t \\&= \sqrt{C} (a \cdot \cos \omega_0 t + b \cdot \sin \omega_0 t)\end{aligned}$$

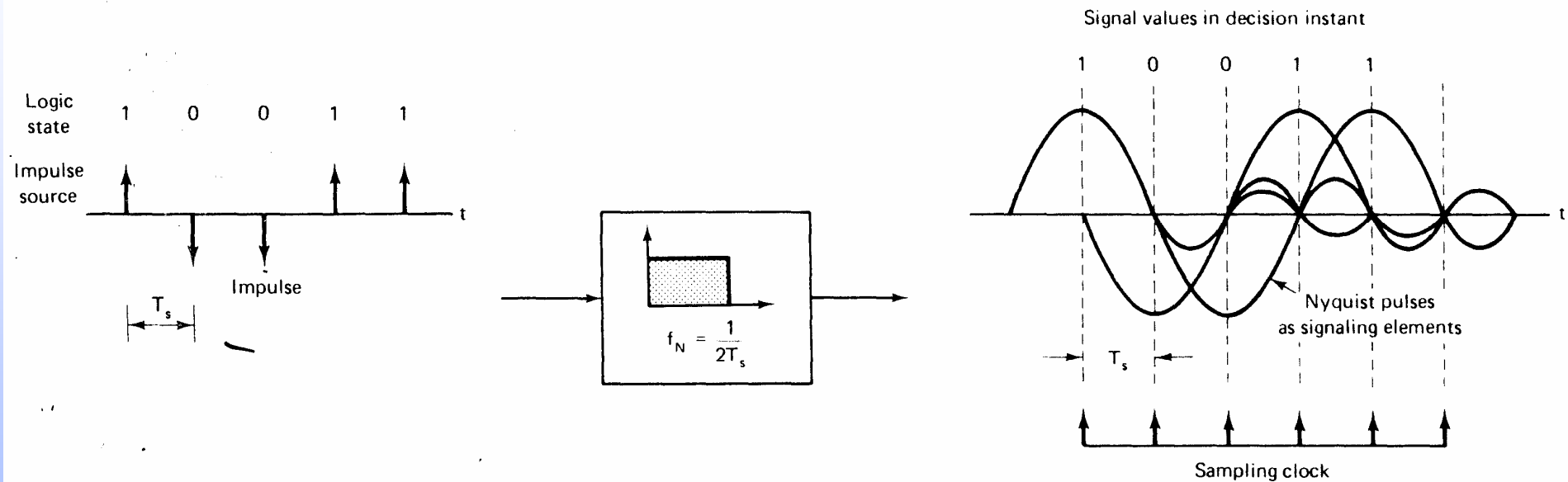
a(t)	b(t)	$\phi(t)$
+1	+1	$+\pi/4$
-1	+1	$+3\pi/4$
+1	-1	$-\pi/4$
-1	-1	$-3\pi/4$

QPSK-signalet er en sum av to BPSK-signaler i kvadratur (I- og Q-kanalene)

Effektspektra med samme overføringshastighet

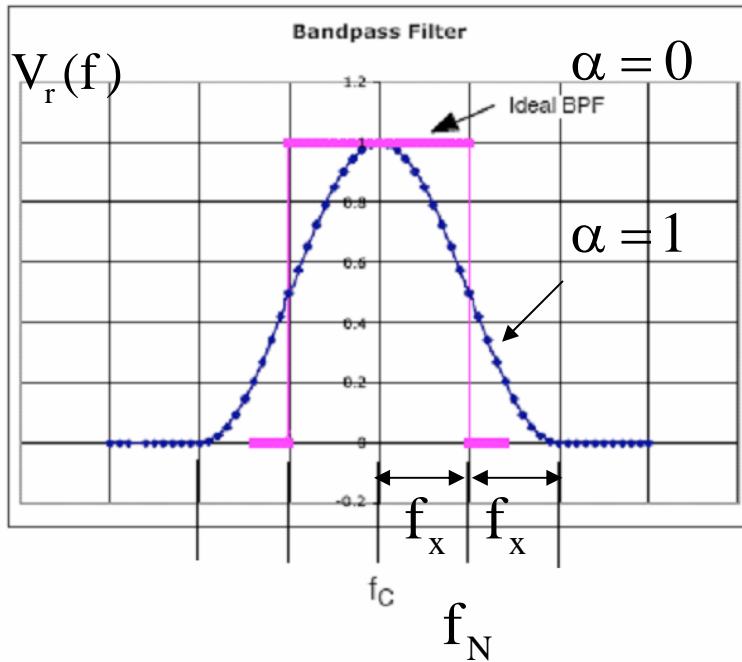


Transmisjon av båndbegrensede impulser



Ingen intersymbolinterferens (ISI-fri)

Nyquist-filter



Nyquist-frekvensen $f_N = \frac{R_s}{2}$

Roll-off faktoren $\alpha = \frac{f_x}{f_N} \quad 0 < \alpha < 1$

Båndbredde $B_{occ} = (1 + \alpha)R_s$

$$V_r(f) = \begin{cases} 1 \\ \cos^2 \left\{ \frac{\pi}{2\alpha R_s} \left[|f| - \frac{R_s}{2}(1 - \alpha) \right] \right\} \\ 0 \end{cases}$$

når $|f| < \frac{R_s}{2}(1 - \alpha)$

når $\frac{R_s}{2}(1 - \alpha) \leq |f| \leq \frac{R_s}{2}(1 + \alpha)$

når $|f| > \frac{R_s}{2}(1 + \alpha)$

Impulsresponsen til et Nyquistfilter

Filterets utgangssignal er:

$$v_r(t) = F^{-1} [V_r(f) \cdot S(f)]$$

Hvis inngangssignalet er: $s(t) = \delta(t) \Leftrightarrow S(f) = 1$ blir:

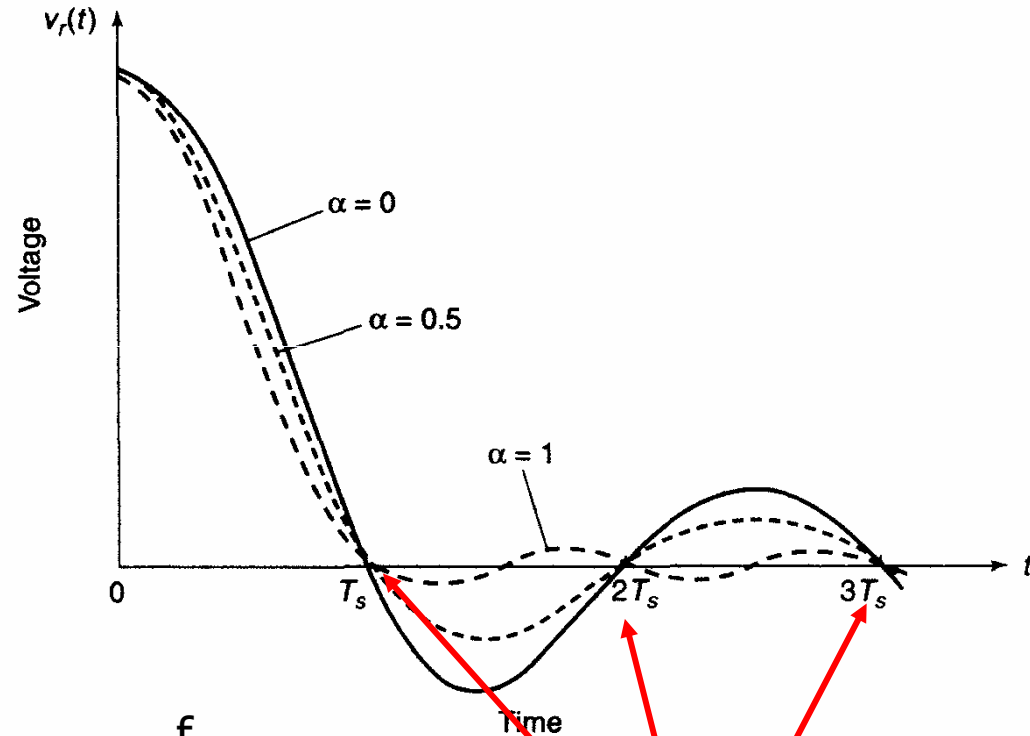
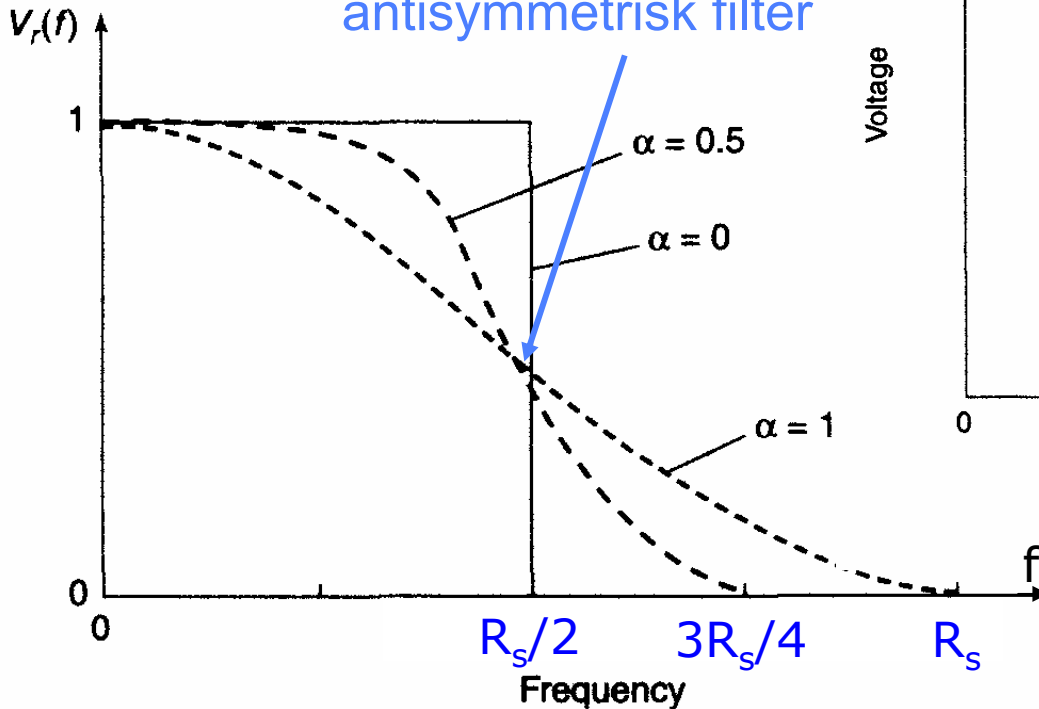
$$v_r(t) = \int_{-\infty}^{\infty} V_r(f) \cdot e^{j\omega t} df = \underbrace{\frac{\sin \pi R_s t}{\pi R_s t}} \cdot \underbrace{\frac{\cos \pi \alpha R_s t}{1 - (2\alpha R_s t)^2}}$$

Sørger for null-
gjennomgangene

Reduserer halen på
pulsene med økende t

Overføringsfunksjon uten ISI (InterSymbol Interference)

I frekvensplanet:
antisymmetrisk filter

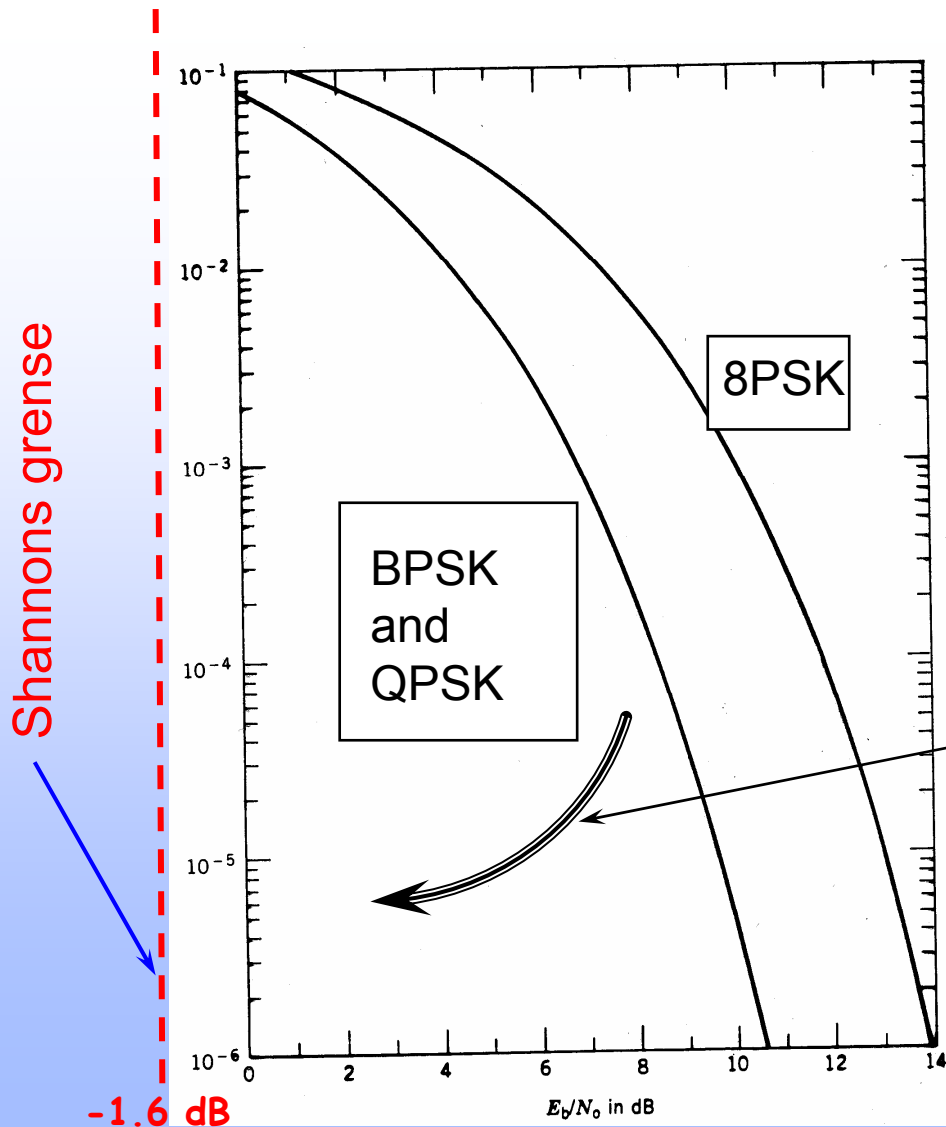


Ved modulert
bærebølge er:

$$B_{\text{nødvendig}} = R_{\text{symbol}} \cdot (1 + \alpha)$$

I tidsplanet:
ekvidistante nullpunkter

TRANSMISJONSYTELSE

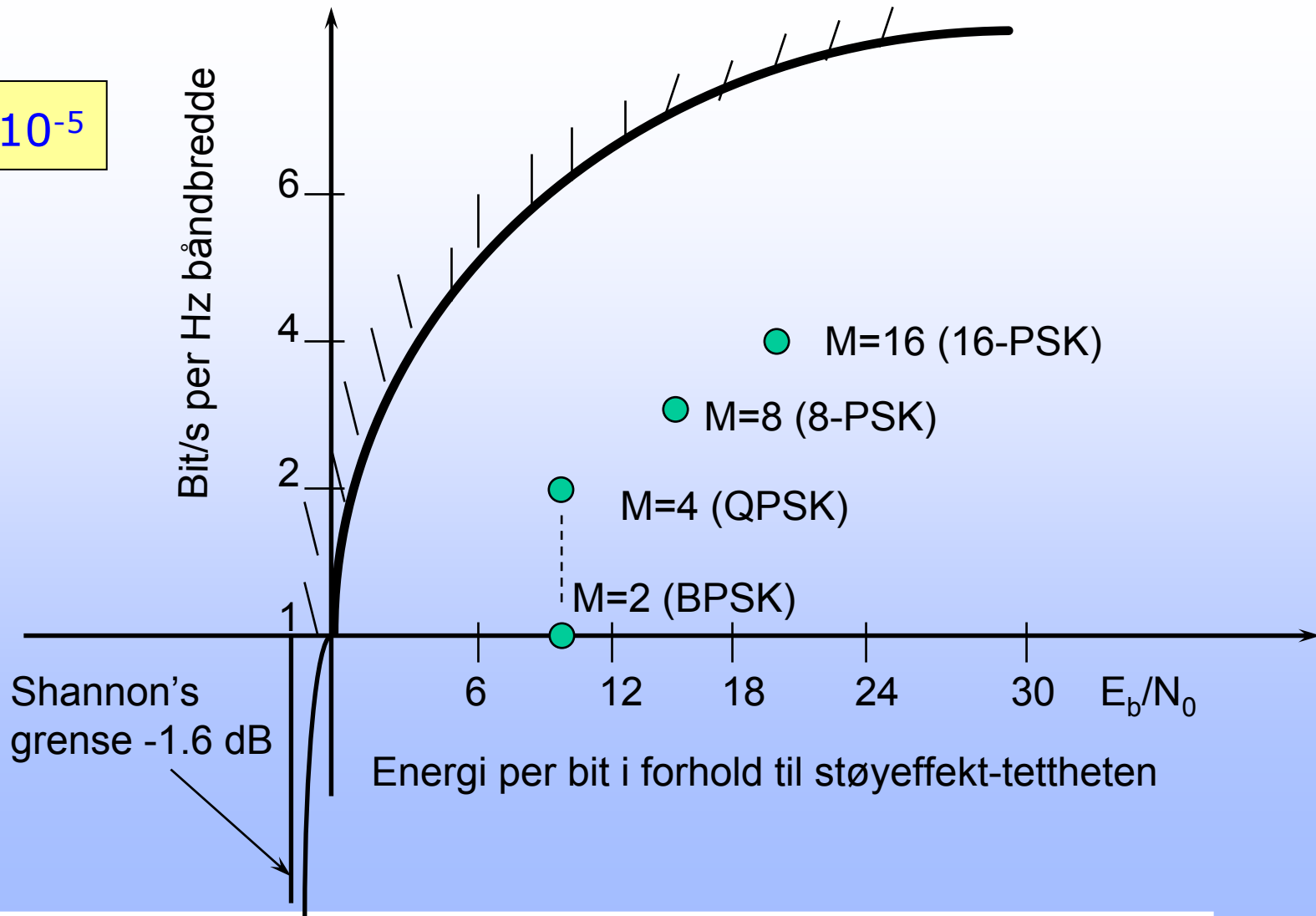


Bit error rate som funksjon av E_b/N_0 for BPSK, QPSK og Octal PSK (8PSK).

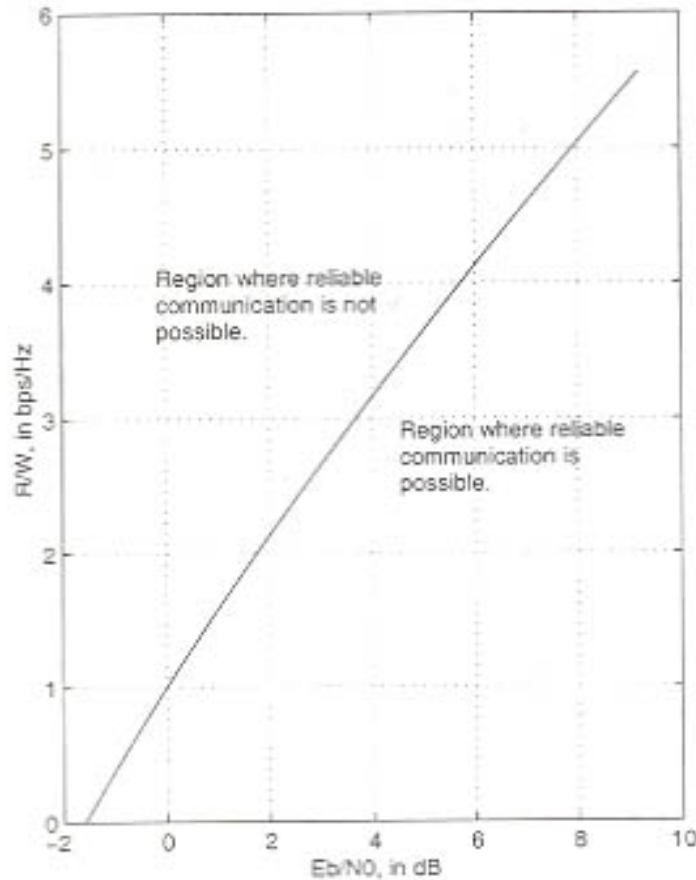
Utfordringen innen feilkorrigerende koding FEC: hvordan komme nærmere Shannons teoretiske grenser.

NØDVENDIG ENERGI OG BÅNDBREDDER

BER = 10^{-5}



Shannons grense for R_b/B og E_b/N_0



$$C = B \cdot \log_2 \left(1 + \frac{C}{N} \right)$$

$$R_{\max} = B \cdot \log_2 \left(1 + \frac{E_b}{N_0} \frac{R_b}{B} \right)$$

Grensen mellom regionene defineres av

$$R_b = R_{\max} \quad \frac{R_b}{B} = \eta$$

hvor η er båndbredeutnyttelsen

$$\eta = \log_2 \left(1 + \left(\frac{E_b}{N_0} \right) \cdot \eta \right) \Rightarrow 2^\eta = \left(1 + \left(\frac{E_b}{N_0} \right) \cdot \eta \right)$$

$$\left(\frac{E_b}{N_0} \right) = \frac{2^\eta - 1}{\eta}$$

$$\left(\frac{E_b}{N_0} \right)_{\min} = \lim_{\eta \rightarrow 0} \left(\frac{2^\eta - 1}{\eta} \right) = \frac{\ln 2}{1} = \ln 2 = 0,69 \text{ tilsvarende } -1,6 \text{ dB}$$

Blokkoder – grunnleggende begreper

(n,k)-blokkode:



$M = 2^k$ - mulige meldinger

Koderate: $R = k/n = R_b/R_c$

Hamming vekt $w(\mathbf{v})$: antall 1-ere i kodeordet

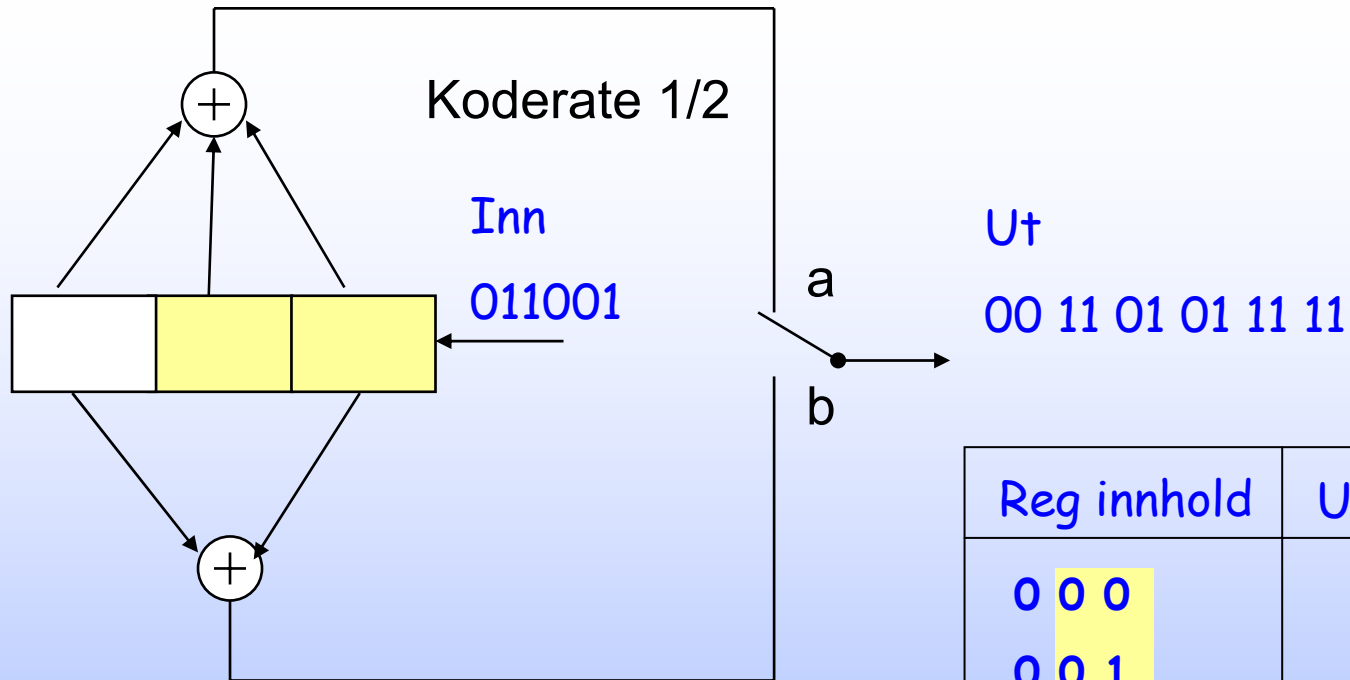
Hamming avstand $d(\mathbf{v}, \mathbf{u})$: antall posisjoner hvor de to kodeordene er forskjellige

$d(\mathbf{v}, \mathbf{u}) = w(\mathbf{v} \oplus \mathbf{u})$ dvs at $d_{\min} = w_{\min} = \min\{w(\mathbf{v}), \mathbf{v} \neq \mathbf{1}\}$

Antall feil som kan rettes: $e = \frac{1}{2}(d_{\min} - 1)$

Antall feil som kan detekteres: $e = (d_{\min} - 1)$

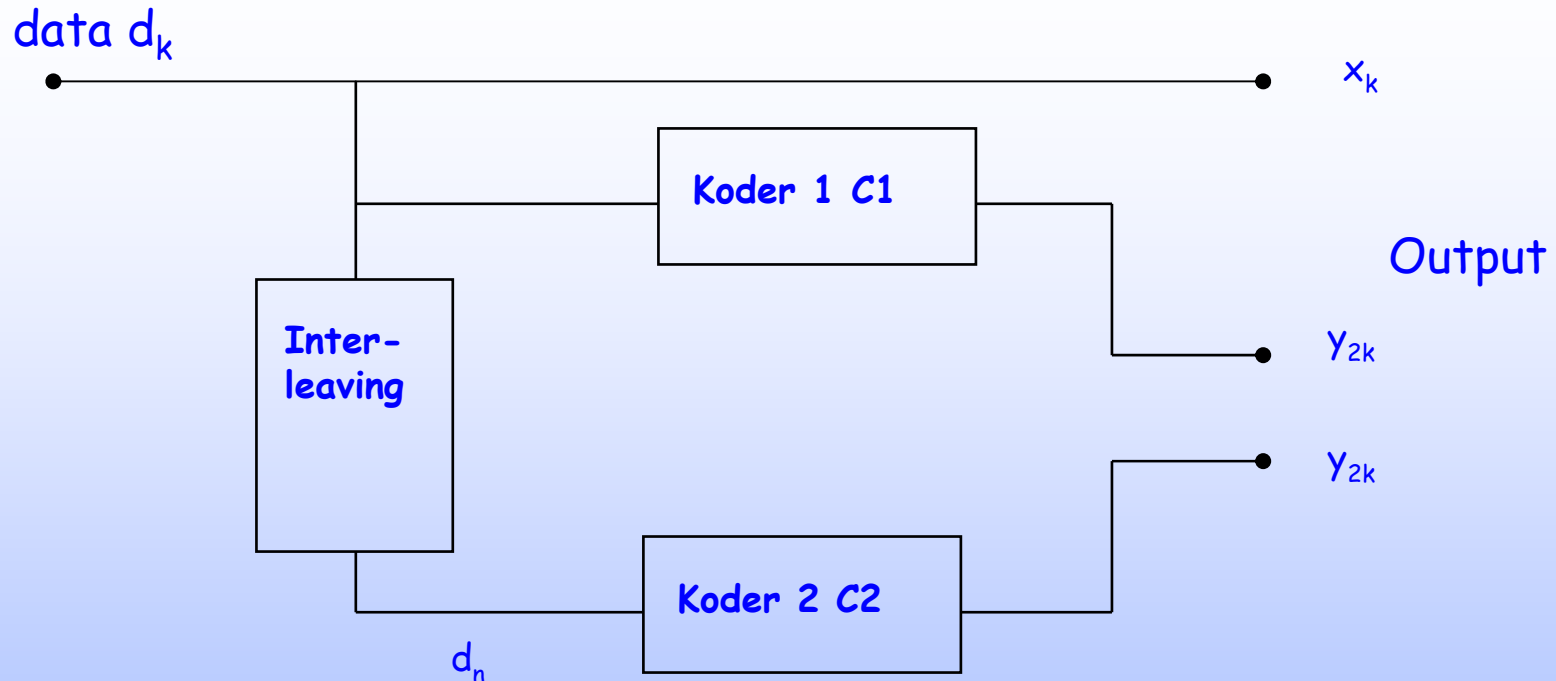
Foldingskode K=3



K = 3

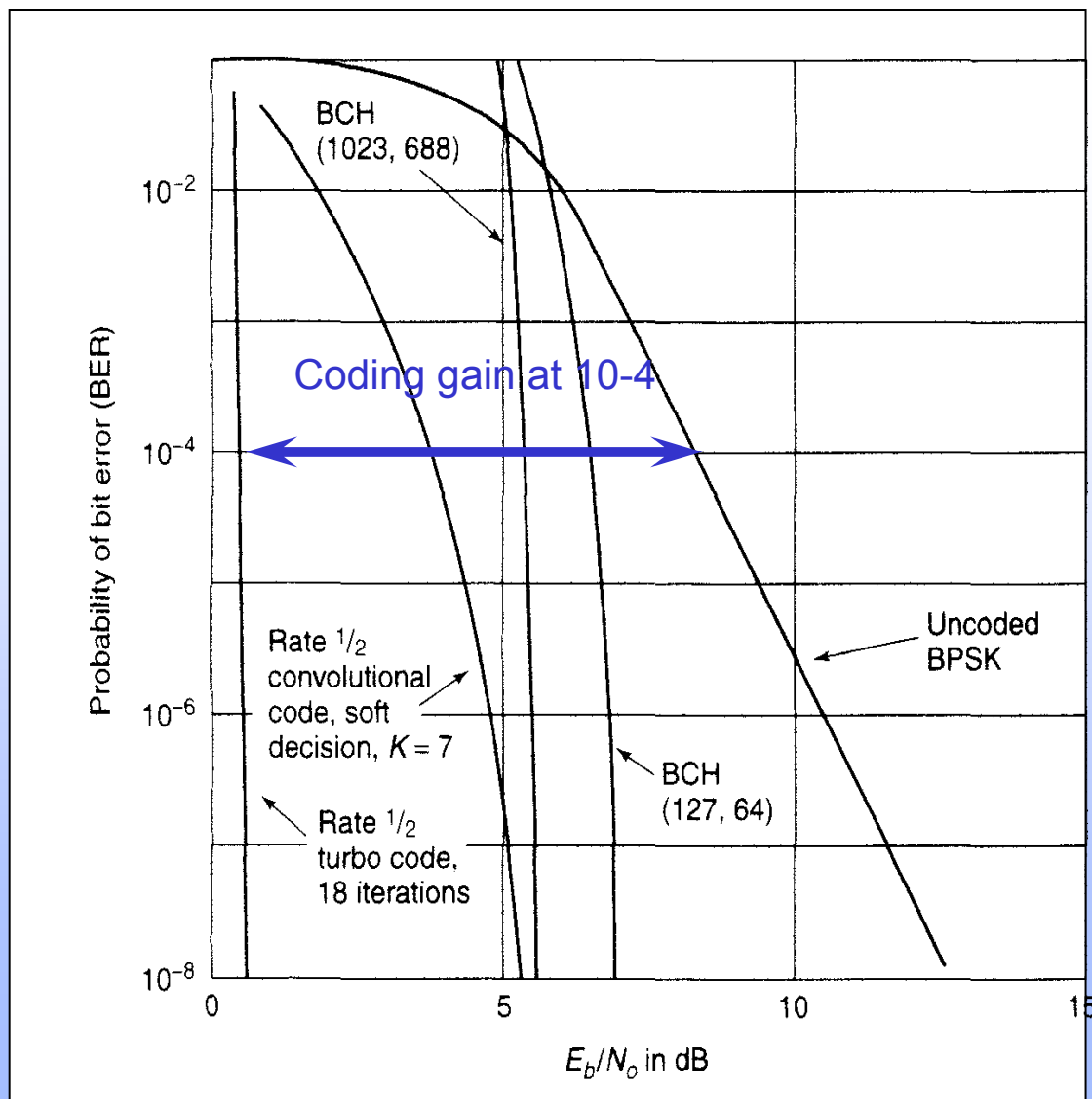
Reg innhold	Utgang
0 0 0	0 0
0 0 1	1 1
0 1 1	0 1
1 1 0	0 1
1 0 0	1 1
0 0 1	1 1

Prinsipiell oppbygning av turbokoder (1/3 rate)

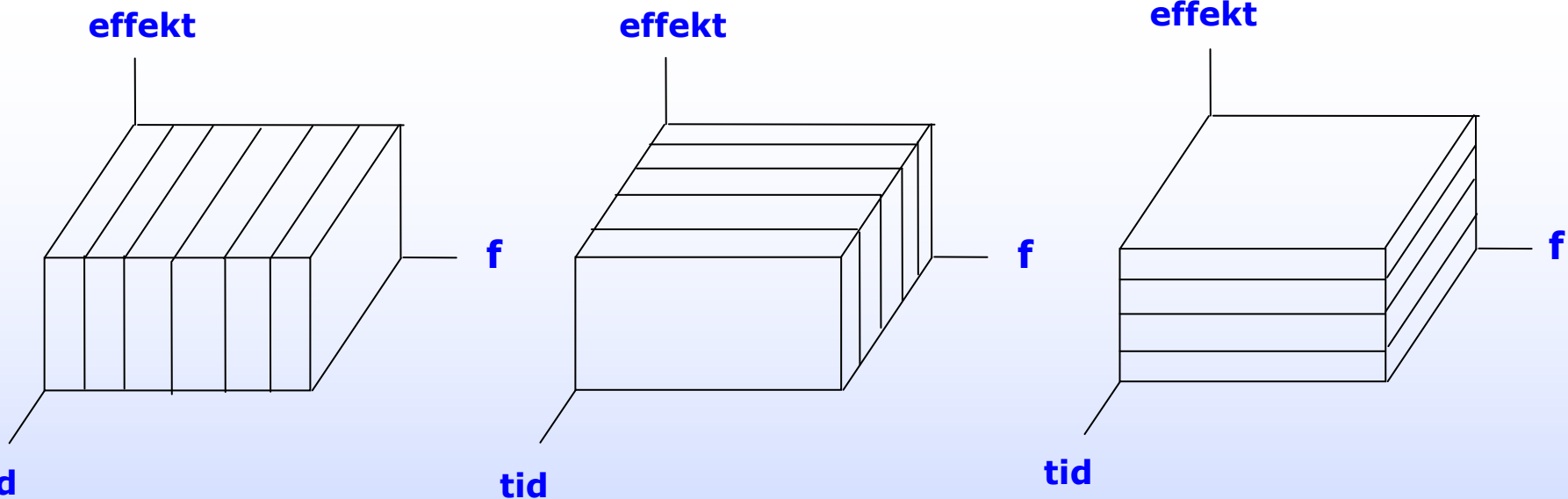


Turbokoder har oppnådd en bitfeilhyppighet på 10^{-6} ved en $E_b/N_o=0.7$ dB

BER vs E_b/N_0 for ulike koder



Aksessmetoder



FDMA
Time Division
Multiple Access

- continuous full time
- fraction of the power
- fraction of the bandwidth

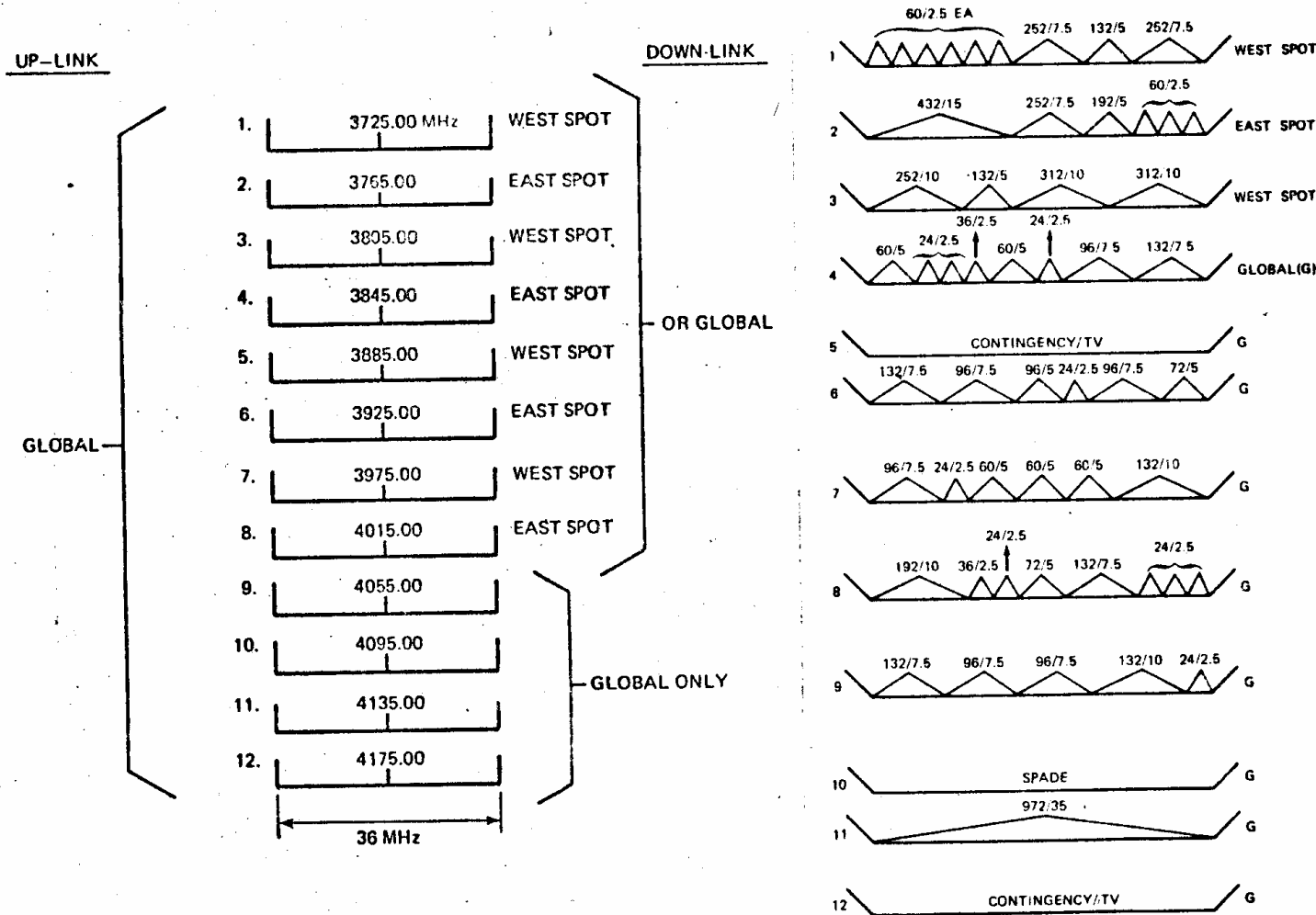
TDMA
Time Division
Multiple Access

- fraction of the time
- full power
- full bandwidth

CDMA
Code Division
Multiple Access

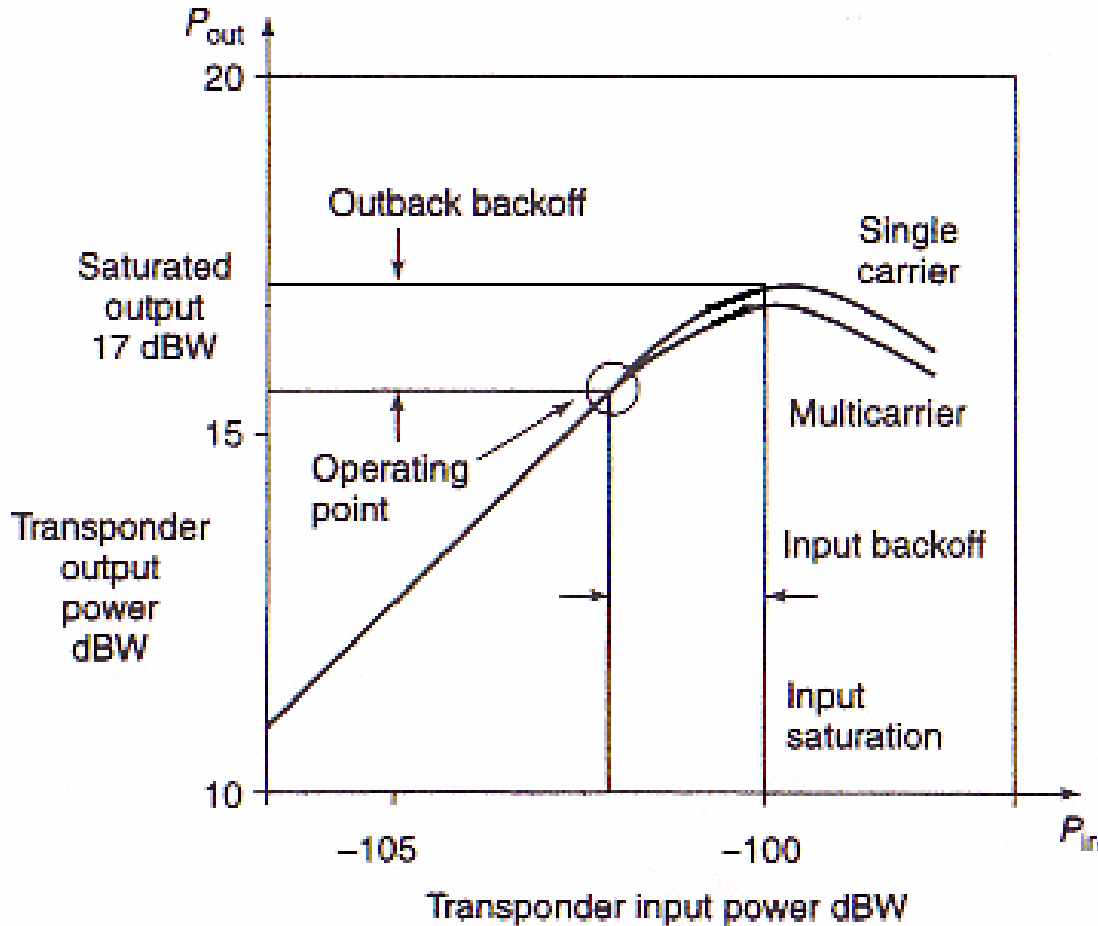
- continuous full time
- fraction of the power
- full bandwidth

INTELSAT IV TRANSPONDERS



Flexible use of INTELSAT transponders
different carrier size and composition in each transponder

Typisk TWTA karakteristikk

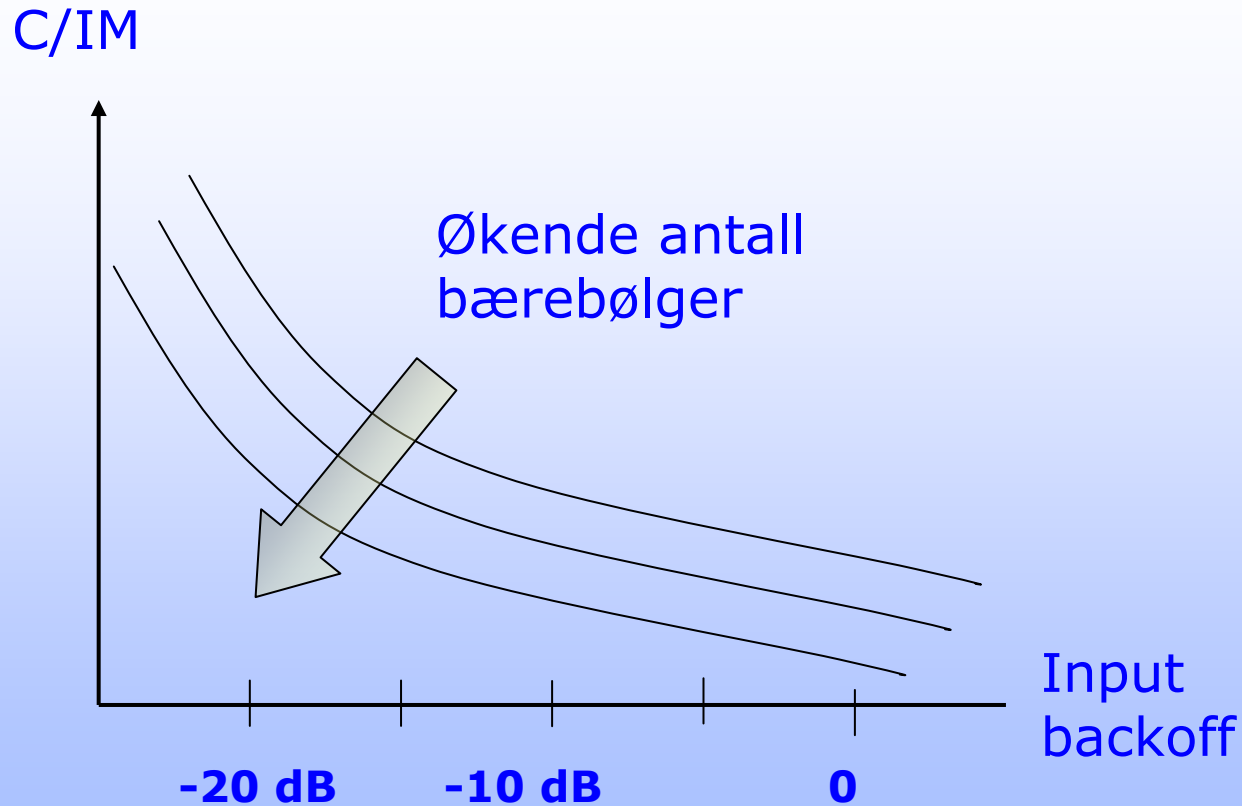


$$V_{\text{out}} = aV_{\text{in}} + bV_{\text{in}}^3$$

hvor $a \gg b$

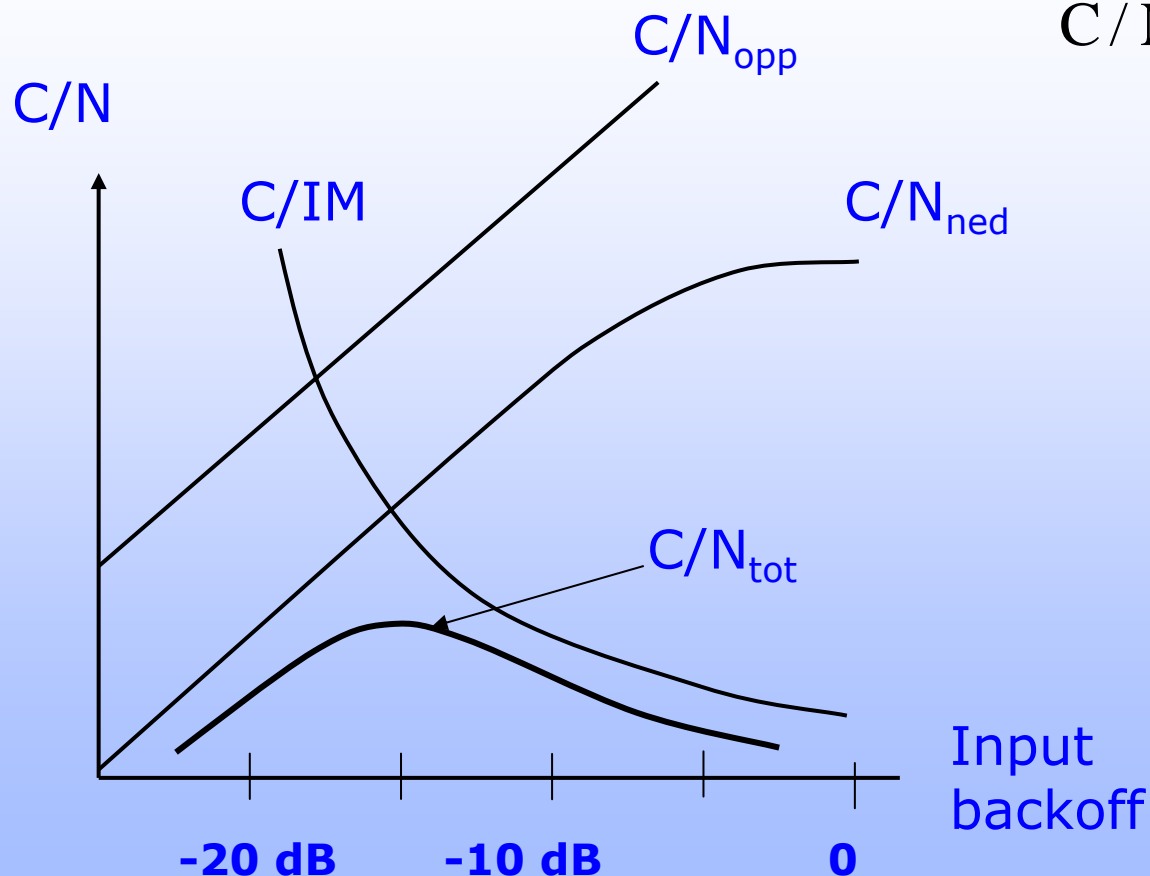
$$V_{\text{in}} = V_1 \cos \omega_1 t + V_2 \cos \omega_2 t$$

Intermodulasjon

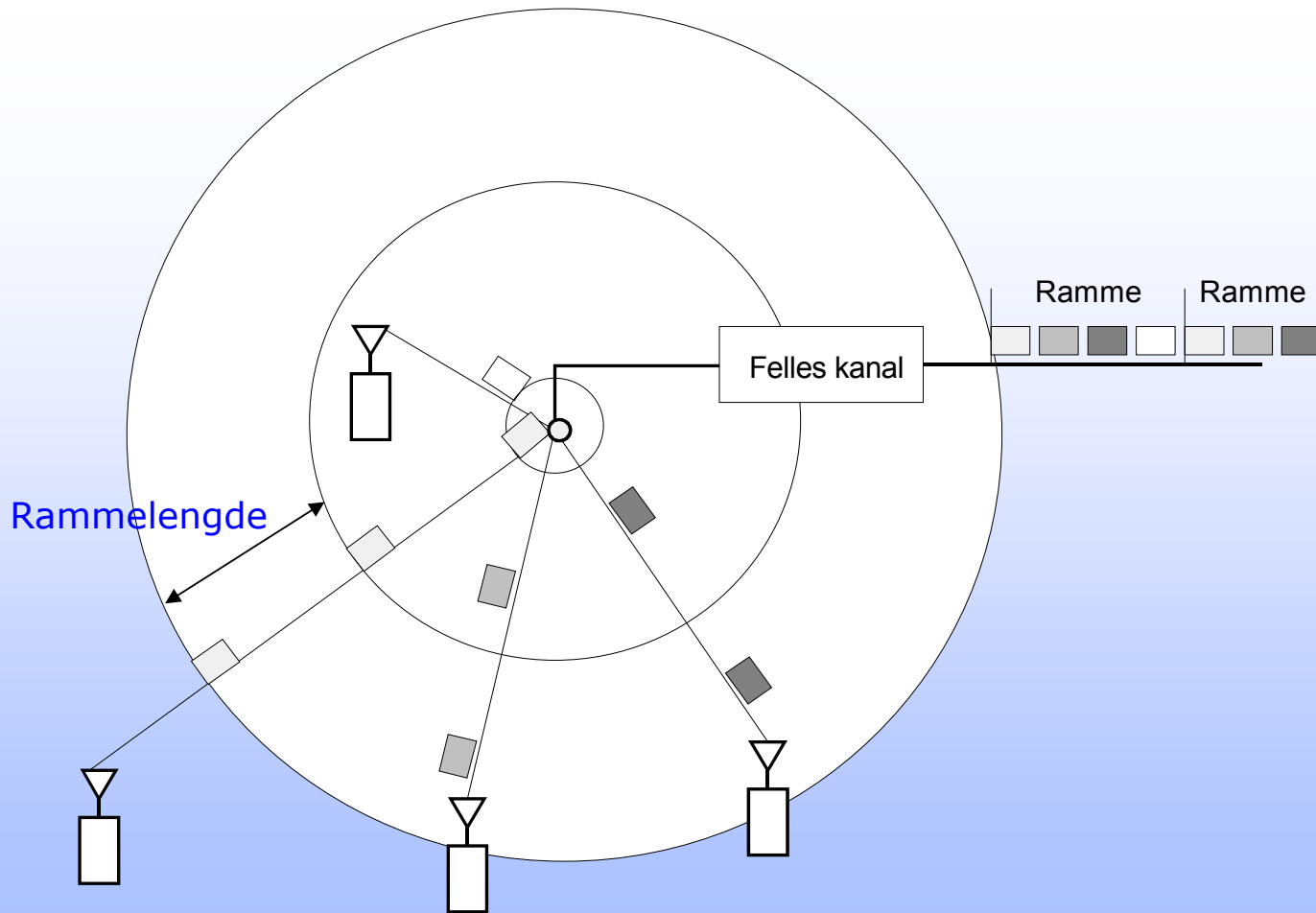


Intermodulasjon

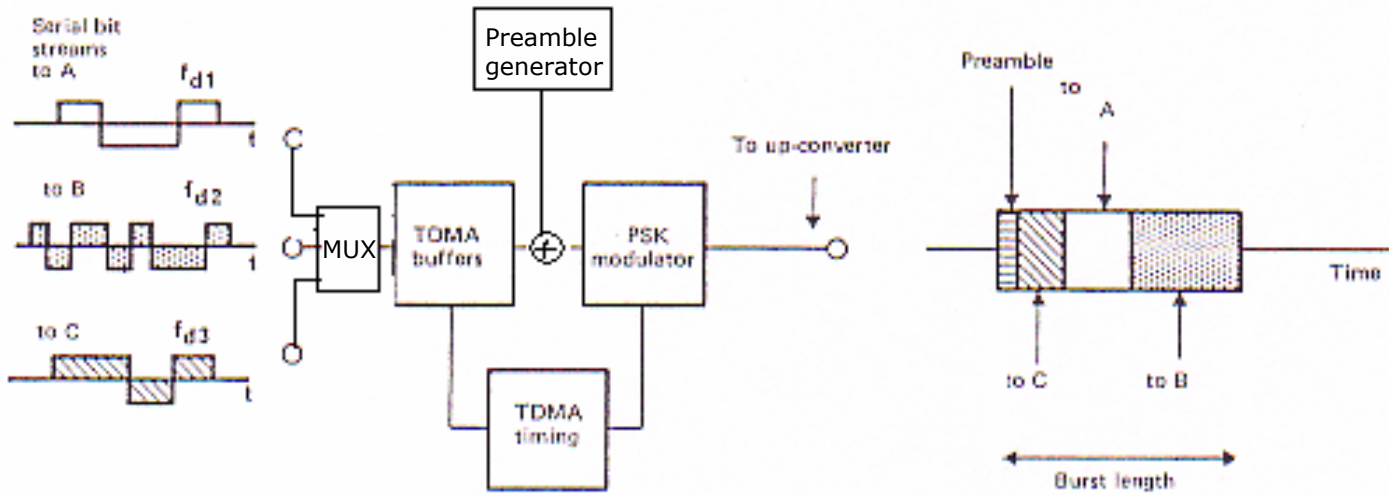
$$\frac{C}{N_{\text{tot}}} = \frac{1}{\frac{1}{C/N_{\text{opp}}} + \frac{1}{C/N_{\text{ned}}} + \frac{1}{C/IM}}$$



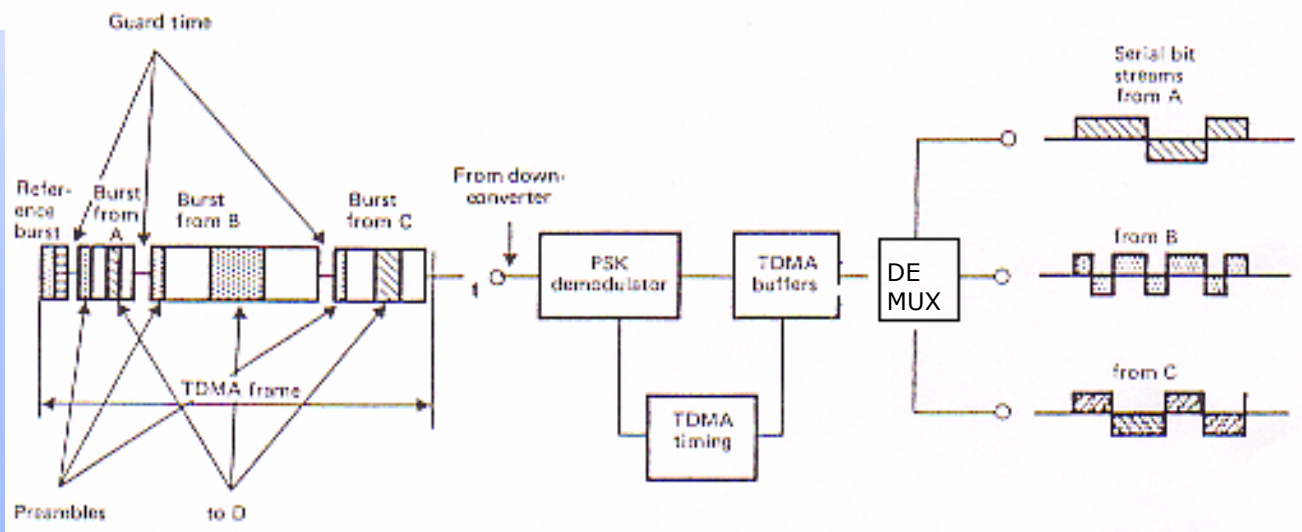
Prinsipp for TDMA



TDMA sender - mottaker

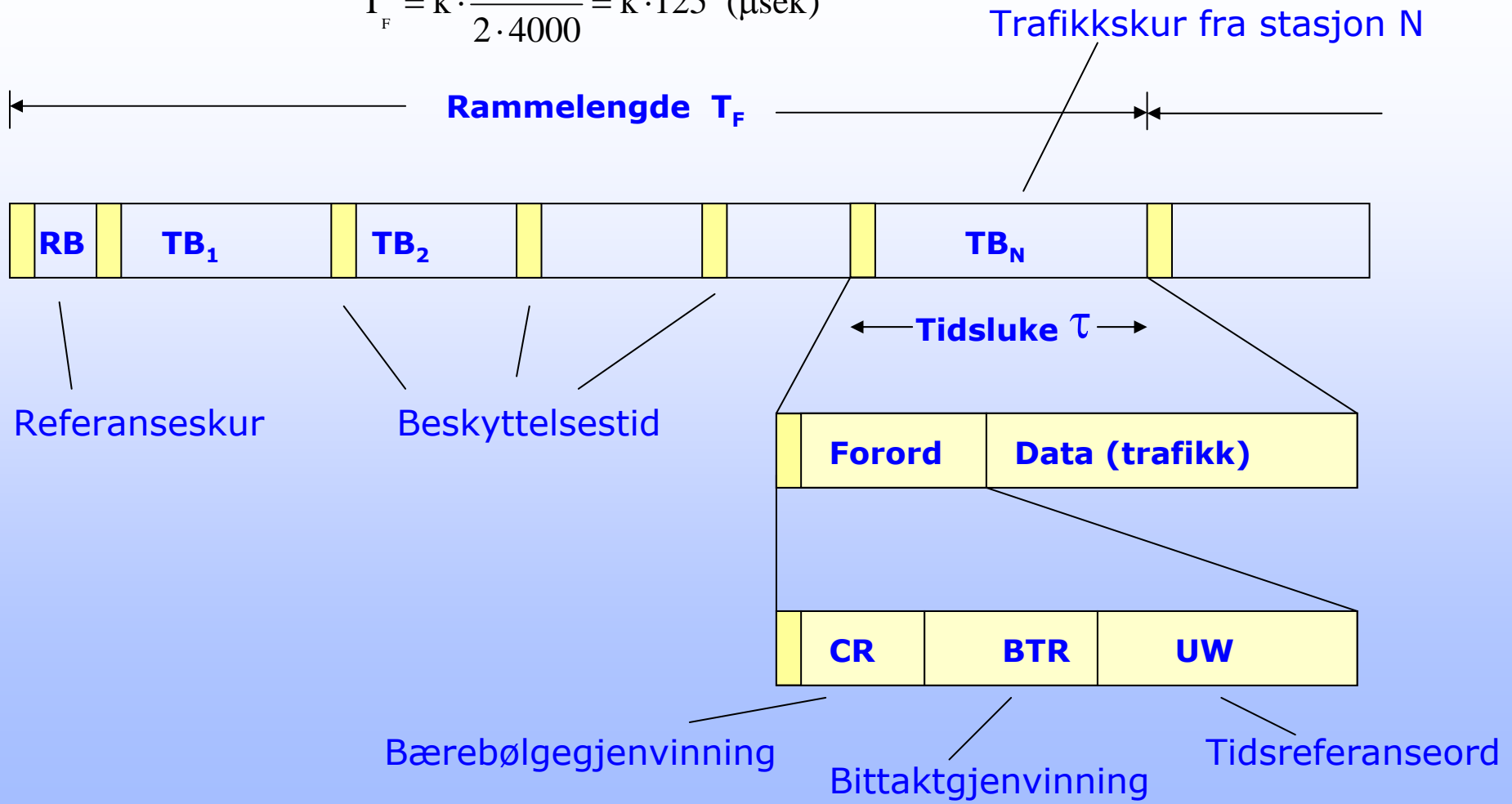


$$R_b = R_{in} \frac{T_{frame}}{T_{burst}}$$



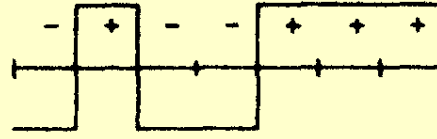
TDMA-rammestruktur

$$T_F = k \cdot \frac{1}{2 \cdot 4000} = k \cdot 125 \text{ (}\mu\text{sek)}$$



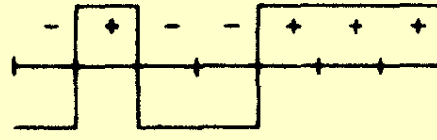
Code Division Multiple Access

Ønsket signalkode C_n

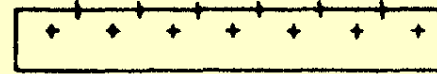


7 bit (chips) kode

Mottatt referansekode C_n

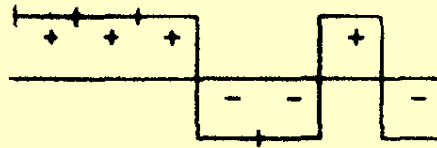


Produkt $C_n \times C_n$

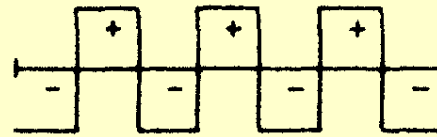


Integral = 7

Uønsket signalkode C_m



Produkt $C_m \times C_n$

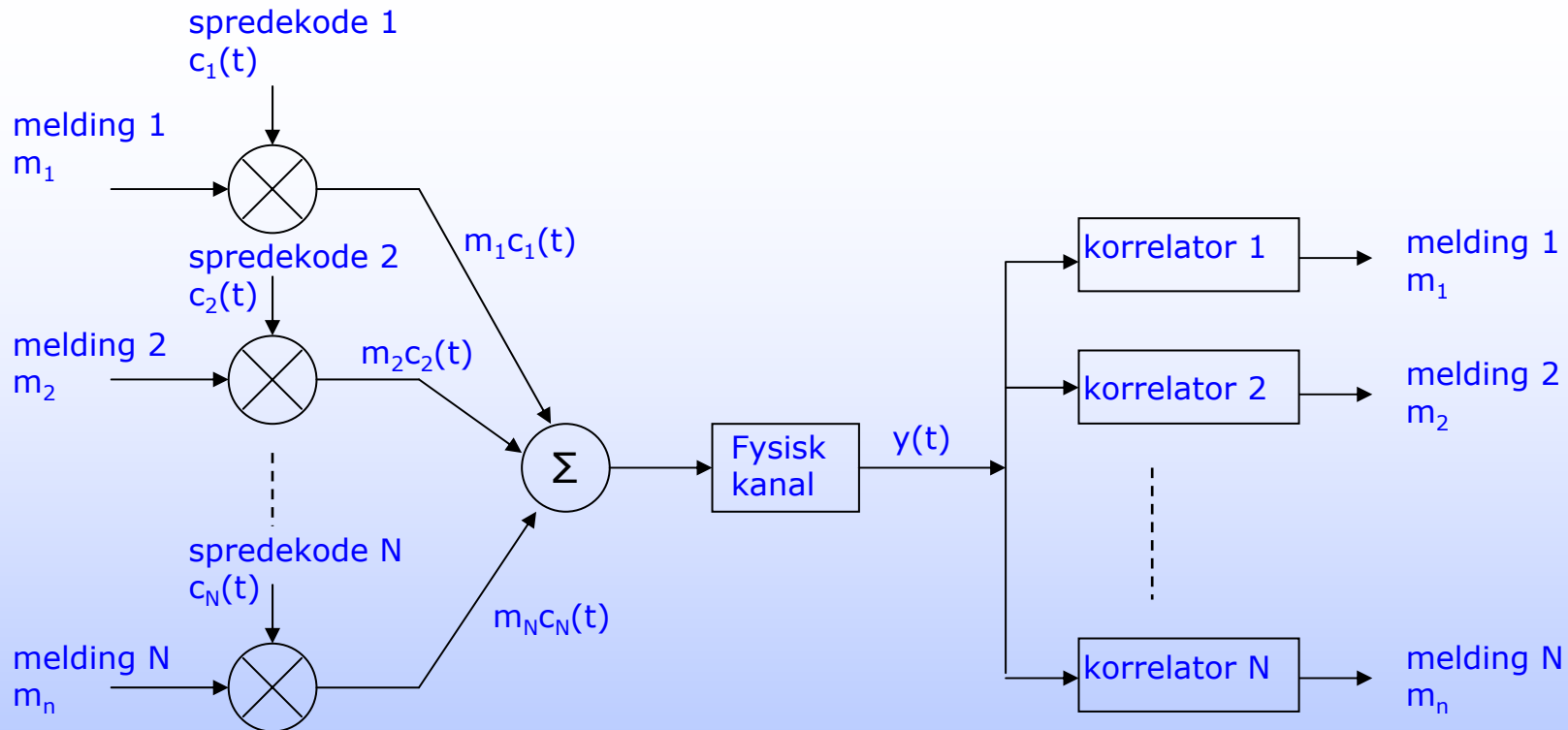


Integral = -1

$$\int_0^T c_n \cdot c_m \cdot dt = 0 \quad \text{for } n \neq m$$

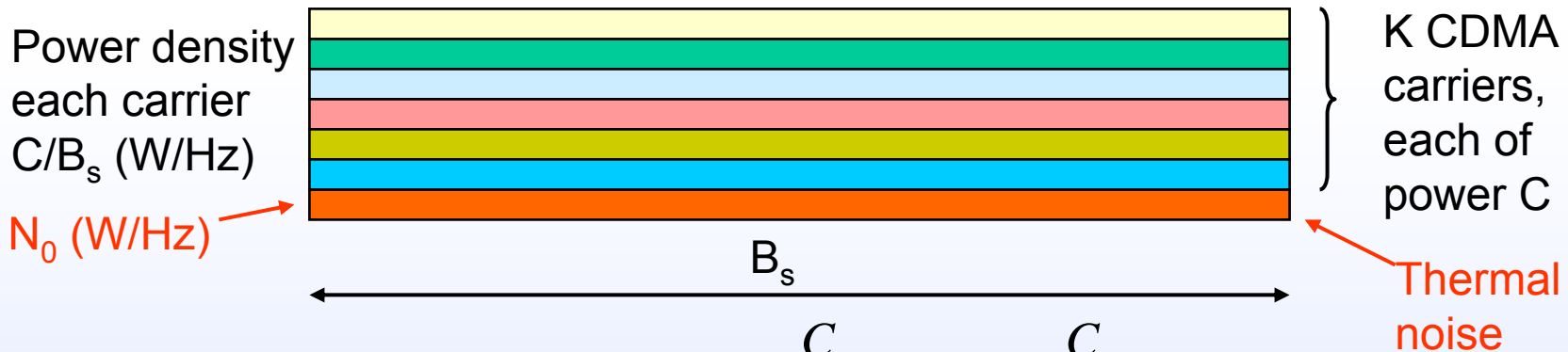
$$\int_0^T c_n \cdot c_m \cdot dt = 1 \quad \text{for } n = m$$

Modell for et CDMA-system



$$y_j = m_j \int_0^T c_j c_j dt + \sum_{i \neq j} m_i \int_0^T c_i c_j dt + \int_0^T n(t) c_j dt = m_j + n_{CDMA} + n_{th}$$

CDMA performance analysis



“Seen” by one particular carrier:

$$\frac{C}{N_0} = \frac{C}{(K-1) \cdot \frac{C}{B_s} + N_{th0}}$$

Case 1

$$(K-1) \cdot \frac{C}{B_s} \ll N_{th0}$$

Power limited, MAI negligible, increase of the carrier powers would improve the performance

Case 2

$$(K-1) \cdot \frac{C}{B_s} \gg N_{th0}$$

$$\frac{C}{N_0} = \frac{E_b \cdot R}{N_0} = \frac{C}{(K-1) \cdot \frac{C}{B_s}} = \frac{B_s}{(K-1)}$$

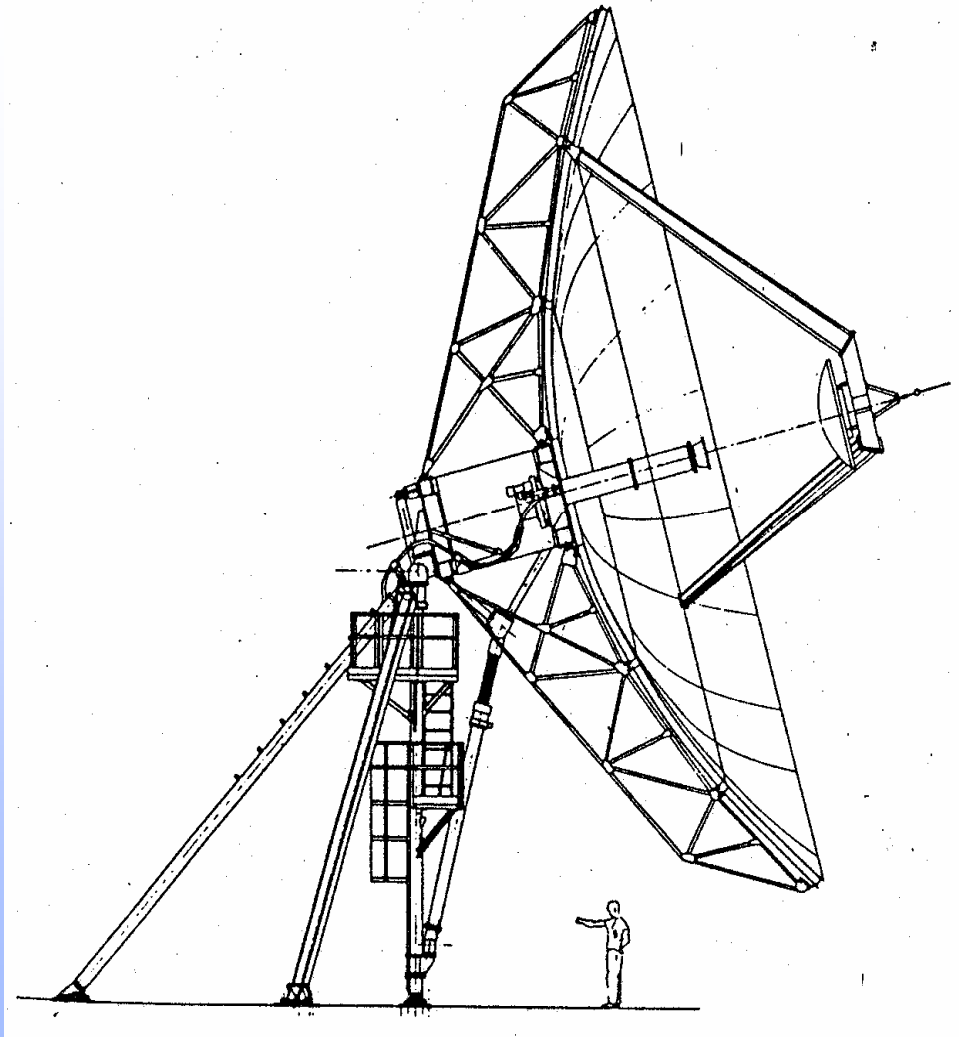
$$(K-1) = \left(\frac{B_s}{R} \right) \cdot \frac{1}{\left(\frac{E_b}{N_0} \right)_{required}}$$

Data rate per carrier: R (bit/s)

The number of users

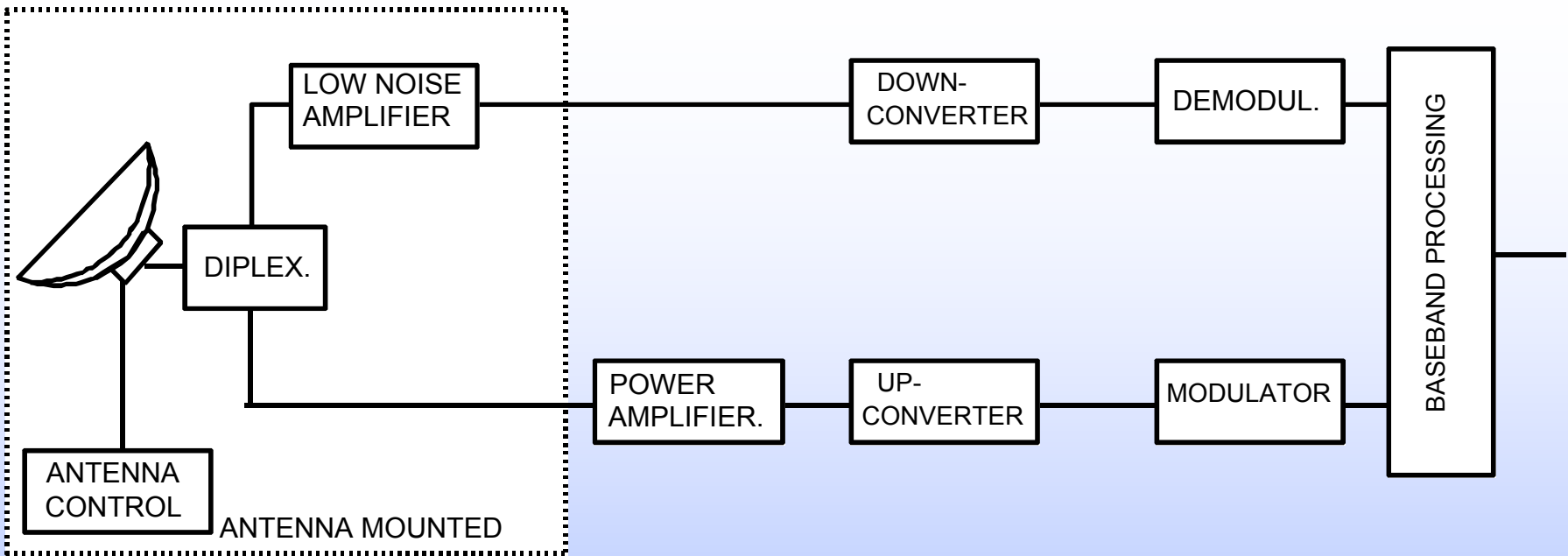
- increases with B_s
- decreases with R
- increases with reduction in E_b/N_0 (coding).

INTELSAT Standard B antenna



Cassegrain feed
Typical diameter
11 meter

Earth Station Block Diagram



STATION-CONTROL..

SYSTEM-CONTROL.

SIGNALLING INTERFACE

MULTIPLEX EQUIPMENT

CHANNEL EQUIPMENT

POWER. SUPPLY.

950109h.wpg

Important parameters:

G/T-value
EIRP values



Antenna dia.,
noise temp. etc.

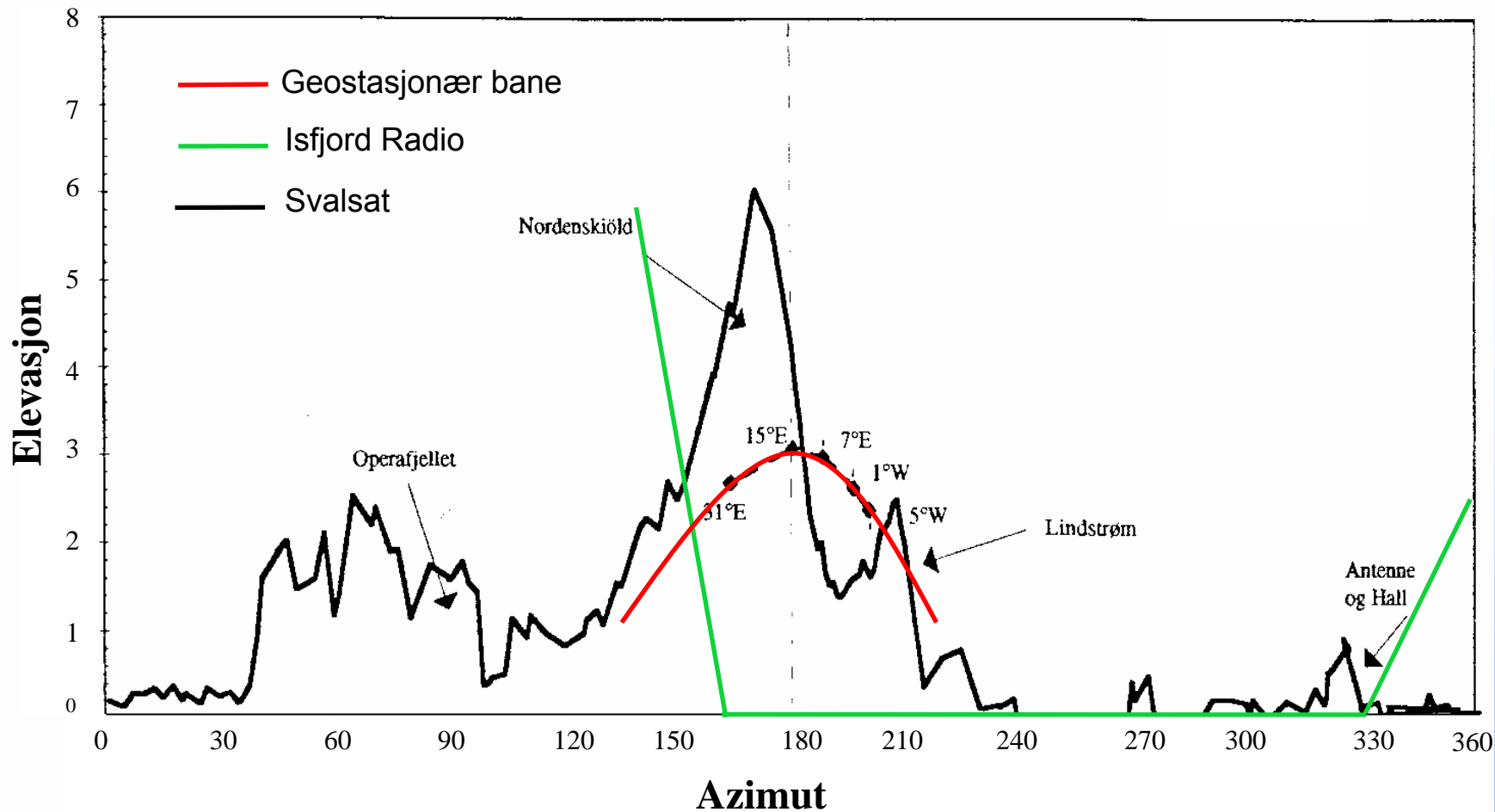
Ulike reflektorantenner



Studenter i arbeid



Eksempel på horisontdiagram - Svalbard



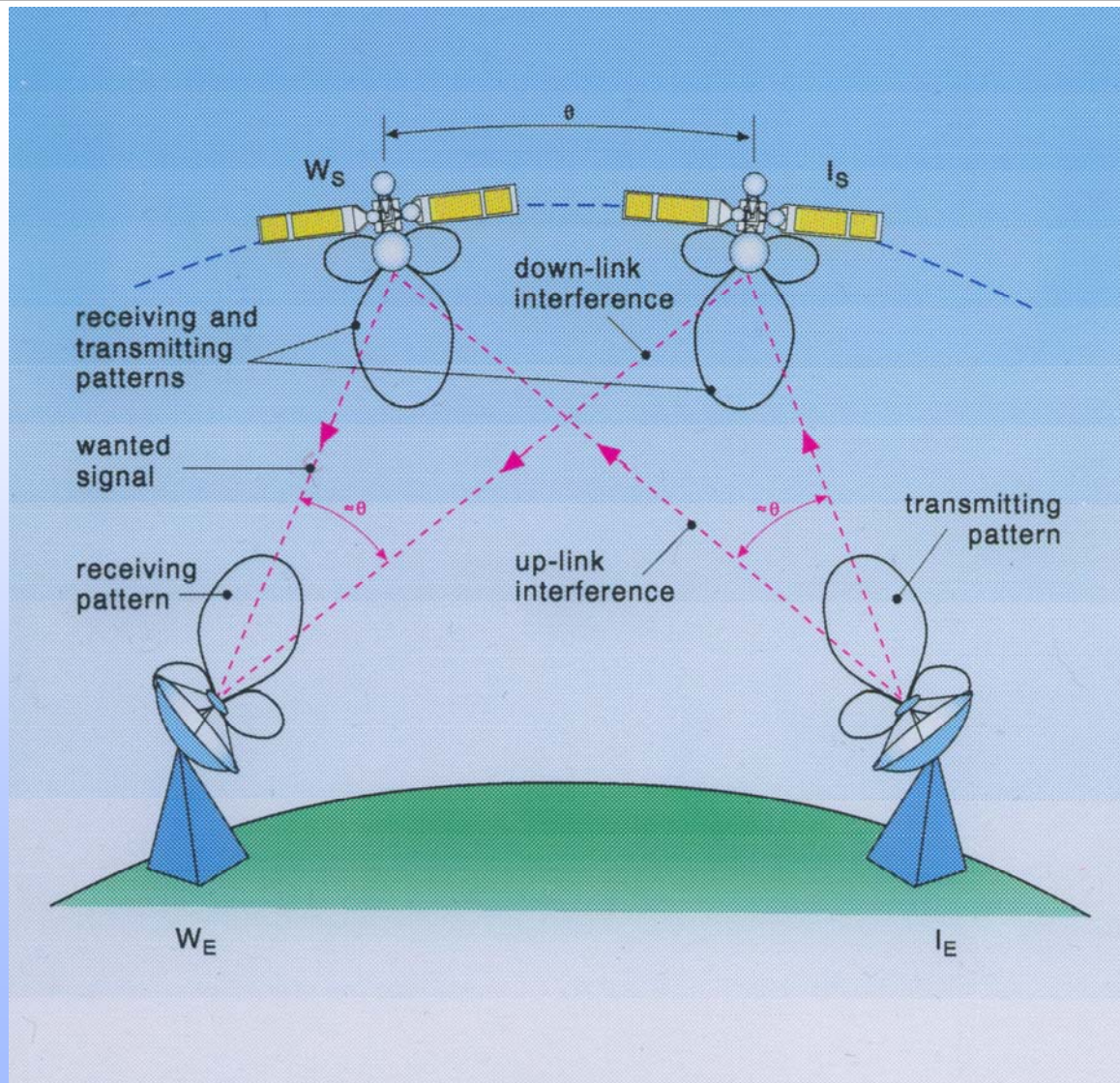
Eik jordstasjon



Nittedal jordstasjon



Interferens



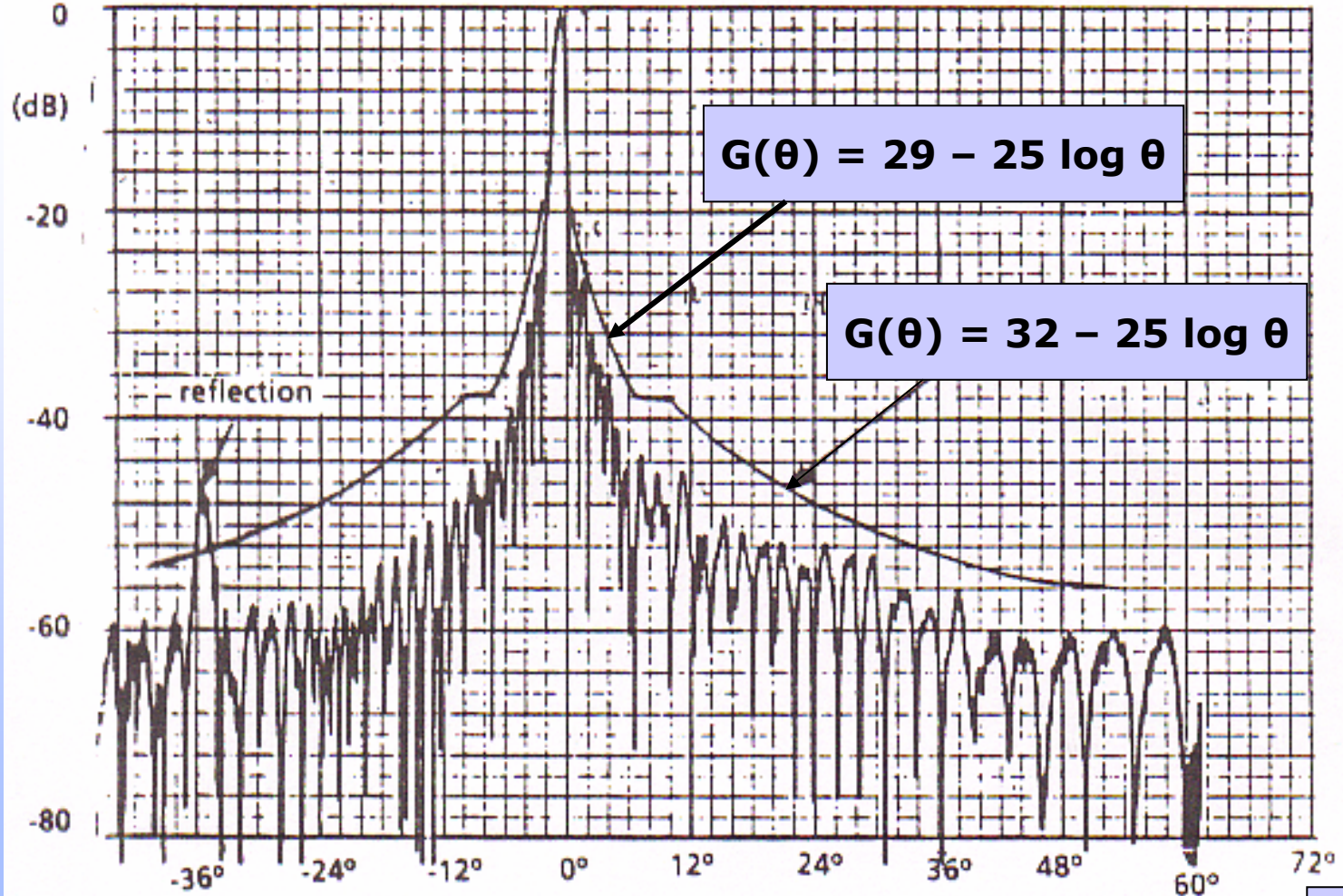
Strålingsdiagram for jordstasjonsantenne 1.8 m, 11.7 GHz

Gain (dB)

45

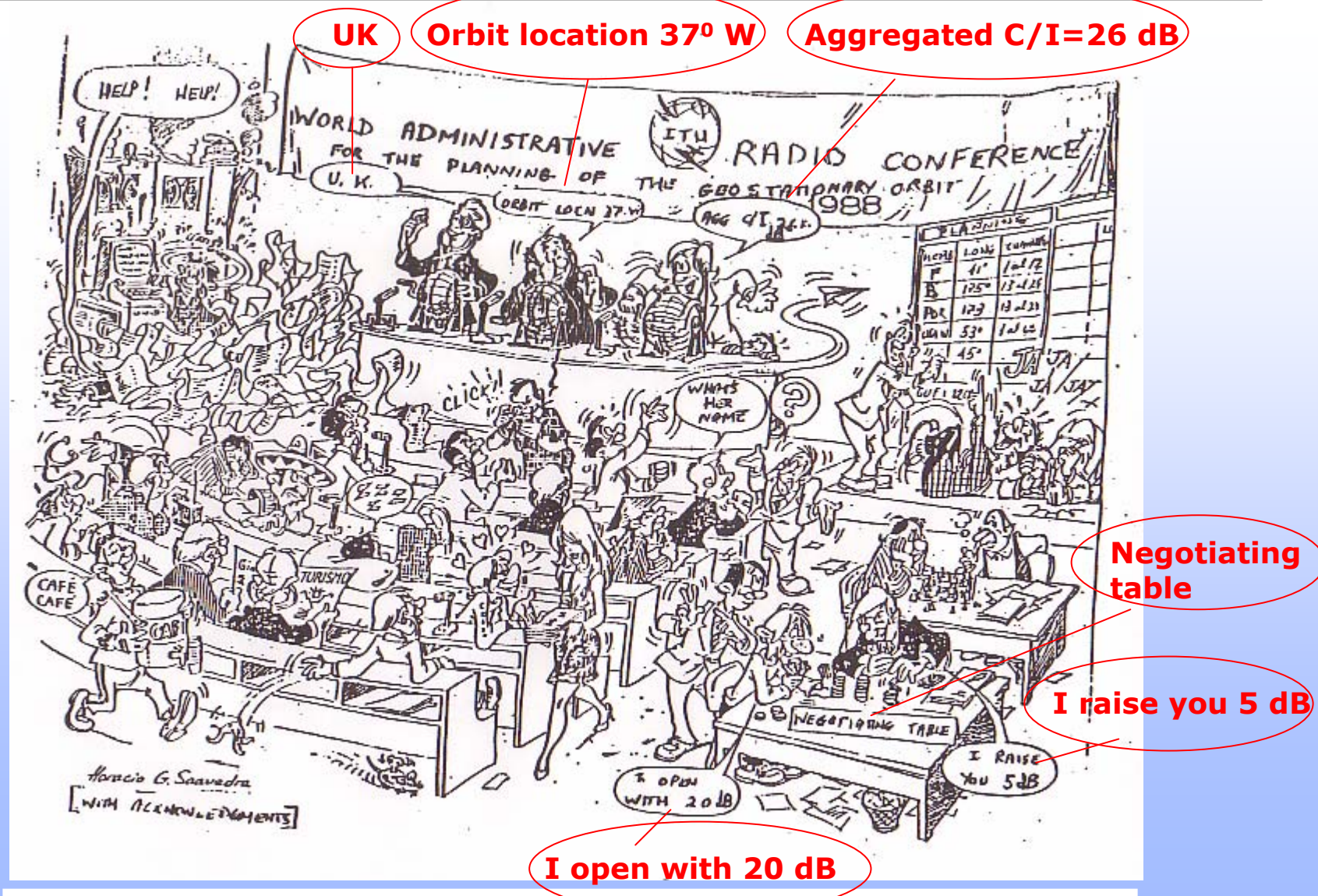
25

5



Asimut

World Administrative Radio Conference for the planning of the geostationary orbit - 1988



Mobil satellittkommunikasjon

Gjennomsnittlig flukstetthet I dekningsområdet:

$$\Phi = \frac{P_t G_t}{a}$$

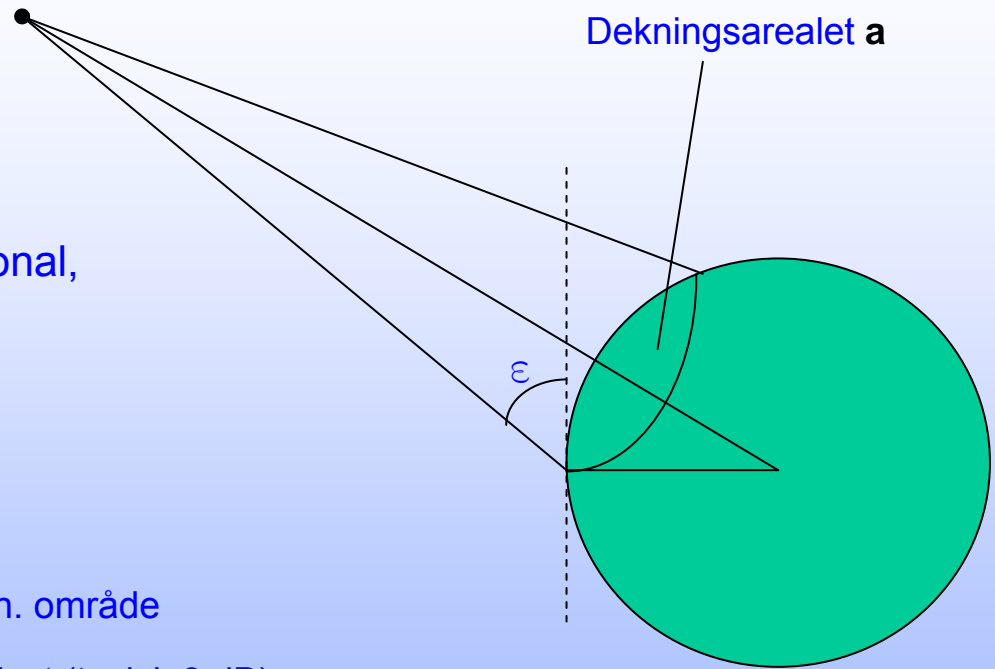
Mottakerens antenne nær omnidireksjonal,
typisk $G_r = 3$ dB

$$A_{eff} = \frac{G_r}{4\pi / \lambda^2}$$

Mottatt effekt blir da:

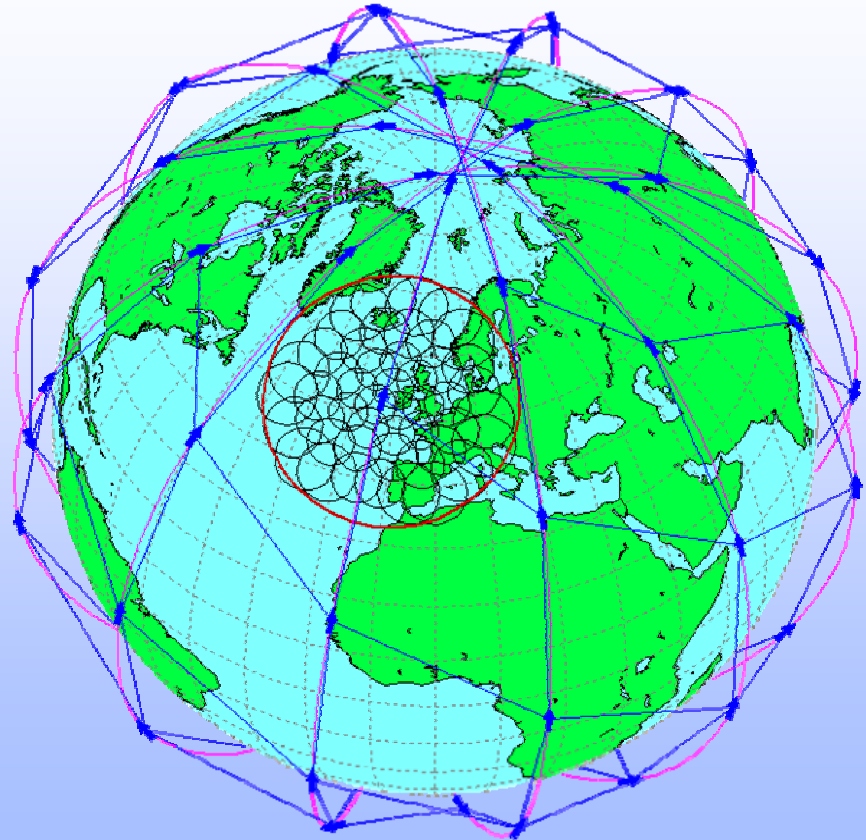
$$P_r = \Phi \cdot A_{eff} = \frac{(P_t G_t)}{a} \cdot G_r \cdot \frac{\lambda^2}{4\pi} \propto \frac{1}{f^2}$$

for et gitt dekningsområde



Iridium World Satellite Coverage

- Satellites in a Near Polar Low Earth (880 km) Orbit (LEO)
- Each satellite footprint is approximately 5200 km in diameter
- All satellite footprints overlap
- Each satellite has 48 spot beams
- Size of each spot beam is approximately 460 km in diameter
- All spot beams overlap

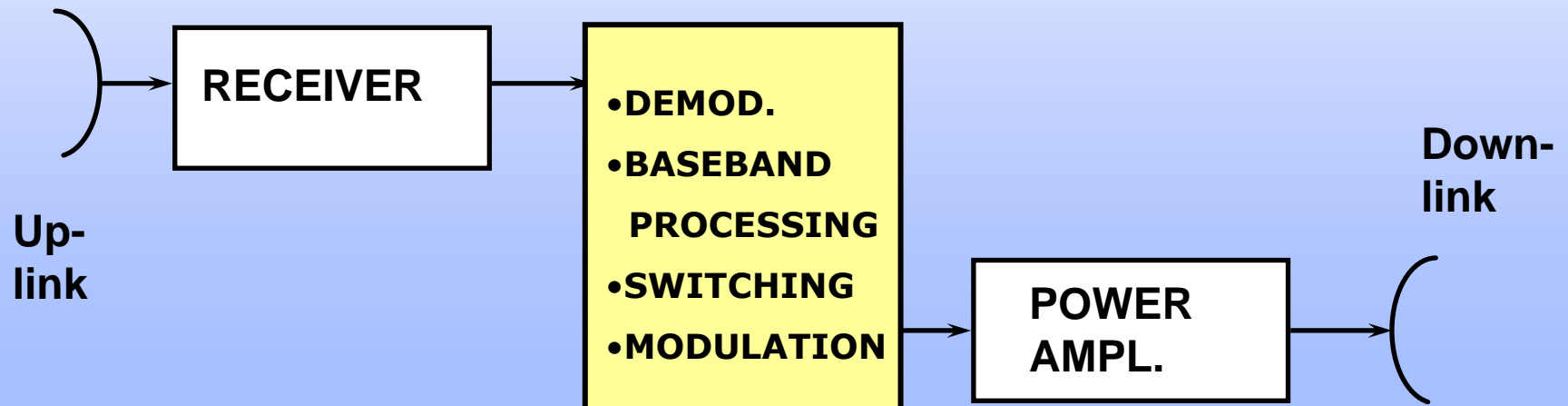


TRANSPONDER TYPES

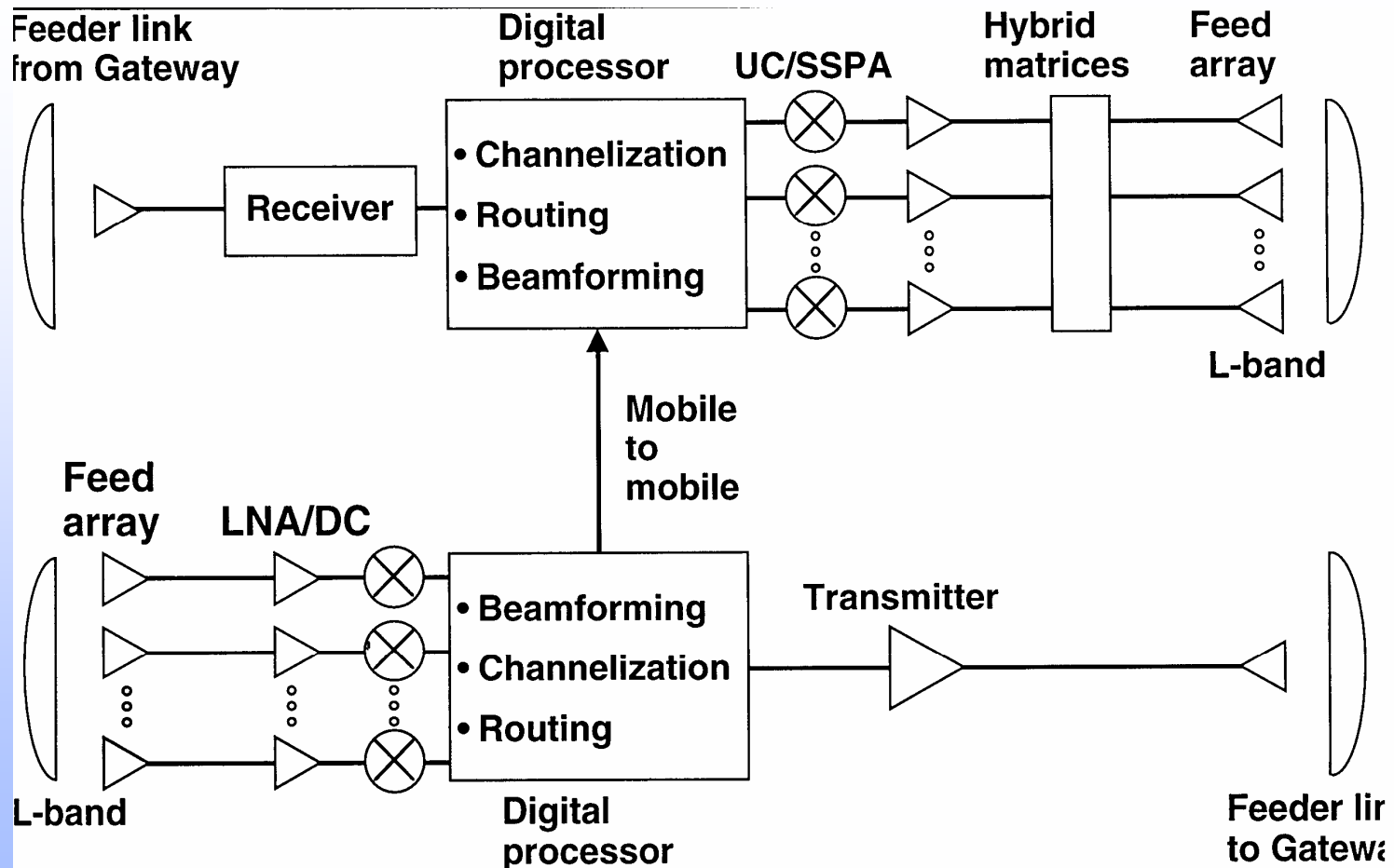
SINGLE CONVERSION TRANSPONDER (“bent pipe”)



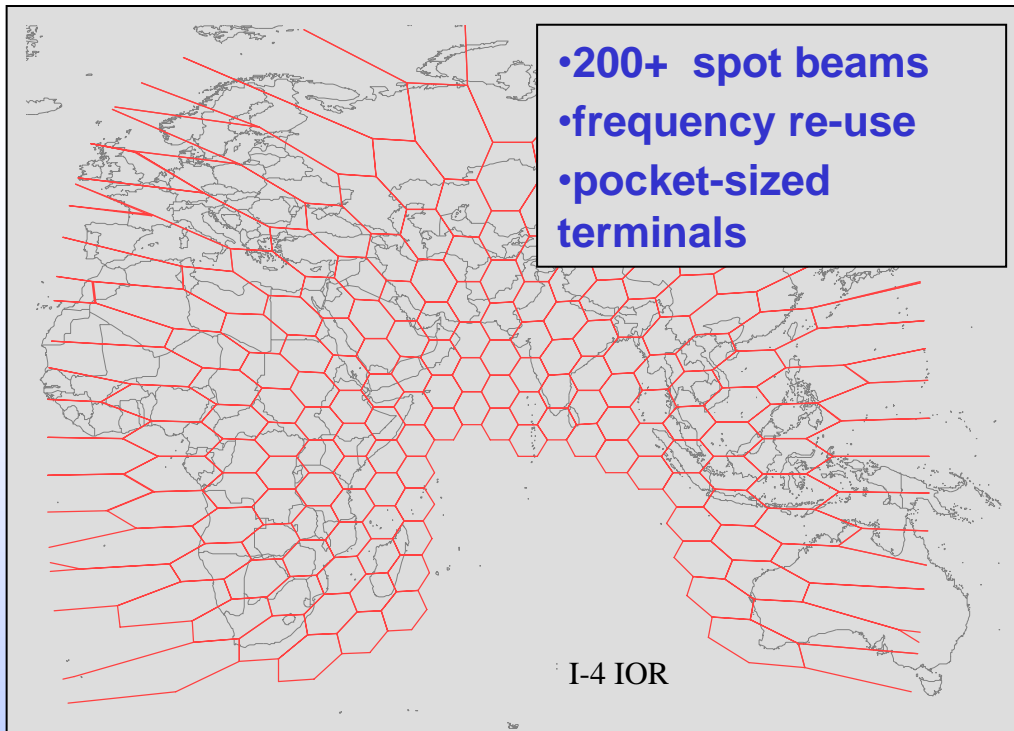
PROCESSING TRANSPONDER



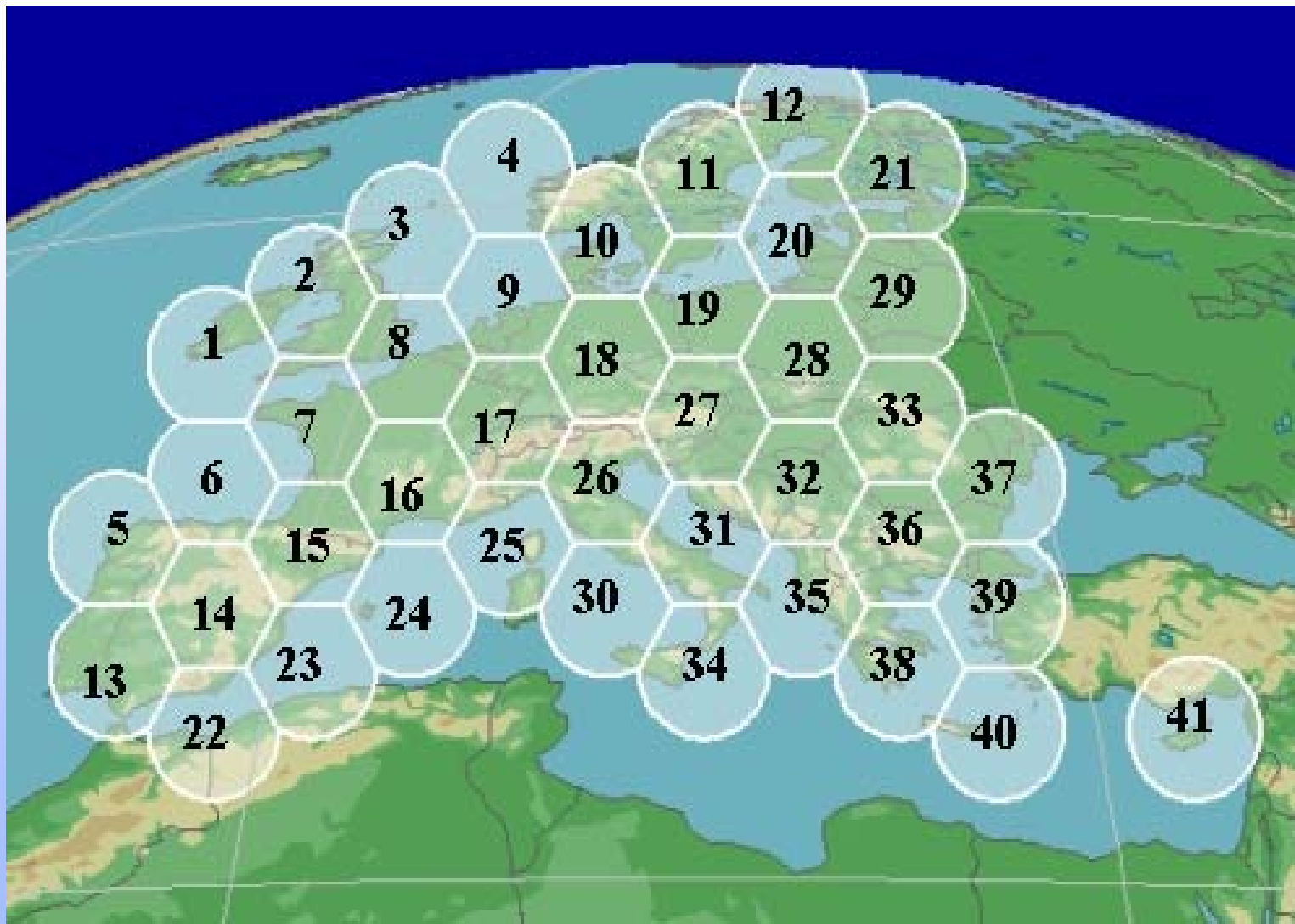
Nyttelasten i Boeing GEM (Thuraya)



A new generation of satellites: INMARSAT-IV



System assumptions – Service areas (@sat)



Spot-Beam Coverages from Two Positions with Inter-Satellite Linking (ISL)

